

AMPLIFICATOARE DE ÎNALTA FIDELITATE

Ing. ION PRESURĂ

AMPLIFICATOARE DE ÎNALTĂ FIDELITATE



**EDITURA TEHNICĂ
Bucureşti — 1964**

INTRODUCERE

Ca urmare a progresului realizat în ultimii ani în domeniul înregistrării pe disc și pe bandă magnetică, precum și a perfecționării tuturor elementelor care compun un ansamblu de reproducere sonoră (doză de redată discuri, amplificator, difuzor), posibilitățile tehnice de reproducere a sunetului au crescut foarte mult.

Grăție acestor realizări, precum și folosirii unor procedee tehnice speciale la reproducerea sunetului, cum sunt: stereofonia, ambiofonia, s-a reușit să se creeze, celui care ascultă o producție muzicală prin intermediul difuzorului, iluzia ascultării directe, naturale.

Aceasta este ceea ce se numește în literatura tehnică de specialitate reproducerea sonoră de înaltă fidelitate.

Pentru realizarea unei reproduceri sonore de înaltă fidelitate, elementele constitutive ale unui ansamblu de reproducere trebuie să fie, în totalitatea lor, de o calitate deosebită, definită, de asemenea, prin noțiunea de înaltă fidelitate.

Obiectivele urmărite în legătură cu perfecționarea ansamblului de reproducere sonoră sunt, în principal: reducerea distorsiunilor, în special la frecvențe înalte și joase; extinderea benzii de frecvență a sunetelor reproduse; crearea unei rezerve mari, în ceea ce privește puterea de ieșire, care să asigure o dinamică mare a gamei de varie a sunetelor reproduce.

Aceste obiective au fost realizate în mare măsură în domeniul amplificatoarelor, care au evoluat foarte mult, ajungînd la un mare grad de perfecționare. Această perfecționare, tradusă prin valori deosebite ale parametrilor fundamentali ai amplificatoarelor, a fost realizată prin ameliorarea sistemelor existente, prin elaborarea altora cu principii noi de funcționare și de asemenea, prin utilizarea unor materiale de fabricație modernă (tuburi electronice, piese de montaj "etc.).

În lucrearea de față se face o scurtă prezentare a amplificatoarelor de înaltă fidelitate, urmărindu-se aceste aspecte în cazul unor scheme uzuale.

În ceea ce privește celelalte elemente ale ansamblului de reproducere sonoră, deși n-au ajuns la nivelul amplificatoarelor, trebuie totuși să se menționeze calitatea înaltă pe care o asigură reproducерii sonore dozele de redat discuri de tip magnetic, precum și sistemele acustice constituite din mai multe difuze și cutiile de difuzor corespunzătoare.

Amplificatoarele utilizate actualmente pentru reproducerea sonoră de înaltă fidelitate sunt de diverse tipuri și au parametri de valoare diferită. Această diversitate de scheme și performanțe se explică prin aceea că nu există încă un criteriu obiectiv, tehnic, pentru aprecierea amplificatoarelor de înaltă fidelitate.

Calitatea audиiei, și implicit a ansamblului de reproducere sonoră utilizat, se apreciază în mod obișnuit pe baza unui criteriu artistic, care nu se poate defini cu precizie și care depinde de gustul ascultătorilor.

Lipsa unui criteriu tehnic este cauzată de dificultatea stabilirii unei corespondențe organice între mărimile care determină acest criteriu (caracteristica de frecvență, distorsiunea neliniară etc.) și efectele psihofiziologice pe care acestea le provoacă ascultătorului. În acest fel este dificil de stabilit ce valoare trebuie să aibă parametrii ansamblului de reproducere sonoră, și în particular amplificatorul, pentru ca reproducerea sonoră să fie de înaltă fidelitate. În afară de aceasta, sunt multe fenomene care, deși se bazează pe procese fizice bine cunoscute, cum este, de exemplu, stereofonia, nu pot fi măsurate tehnic riguros, încit aprecierea lor se face tot prin intermediul ascultării, al impresiei auditive, care este subiectivă.

Cu toate acestea, amplificatoarele de înaltă fidelitate se caracterizează prin parametri de valoare mult superioară celor ai amplificatoarelor obișnuite, încit calitatea reproducării sonore pe care o asigură este deosebită.

Capitolul I

PARAMETRII AMPLIFICATOARELOR DE JOASĂ FRECVENTĂ

1. PARAMETRII FUNDAMENTALI AI AMPLIFICATOARELOR DE JOASĂ FRECVENTĂ

Parametrii fundamentali sunt mărimi care caracterizează funcționarea amplificatoarelor de joasă frecvență. Cunoașterea lor este utilă pentru proiectarea amplificatoarelor și pentru aprecierea justă a posibilităților de exploatare a acestora.

Parametrii fundamentali ai amplificatoarelor sunt următorii: puterea nominală de ieșire, impedanța de ieșire, raportul semnal/zgomot, distorsiunea de frecvență, distorsiunea de fază, distorsiunea neliniară (armonică și de intermodulație), distorsiunea tranzitorie, plaja de reglare a caracteristicii de frecvență, tensiunea nominală de ieșire, amplificarea în tensiune, sensibilitatea, impedanța de intrare, impedanța nominală de sarcină etc.

Puterea nominală de ieșire este puterea pe care o poate furniza amplificatorul în impedanță nominală de sarcină, la o frecvență anumită (sau într-o bandă de frecvențe) pentru o mărime dată a distorsiunii armonice.

Impedanța de ieșire este impedanța internă a amplificatorului, măsurată între bornele sale de ieșire în condiții normale de utilizare a acestuia.

Raportul semnal/zgomot este raportul, exprimat în decibeli, dintre tensiunea nominală de ieșire și tensiunea de zgomot măsurată la bornele impedanței nominale de sarcină.

Distorsiunea de frecvență este variația amplificării cu frecvența semnalului aplicat la intrarea amplificatorului.

Aprecierea distorsiunii de frecvență se face folosind caracteristica de frecvență sau curba de răspuns a amplificatorului. Aceasta reprezintă variația raportului, exprimat în decibeli,

dintre tensiunea de ieșire și tensiunea de intrare, în funcție de frecvență, amplificatorul fiind în condiții normale de utilizare. Mărimea distorsiunii de frecvență se determină cu ajutorul factorului de distorsiune de frecvență, care reprezintă abaterea, în decibeli, a amplificării la o frecvență oarecare față de amplificarea la frecvențe medii.

Distorsiunea de fază este schimbarea formei semnalului complex care trebuie amplificat, provocată de întârzierea diferită a componentelor acestuia la trecerea lor prin amplificator.

Aprecierea distorsiunii de fază se face cu ajutorul caracteristicii de fază. Aceasta este curba care reprezintă dependența de frecvență a defazajului dintre tensiunile de ieșire și intrare ale unui amplificator. Mărimea distorsiunii de fază se exprimă în grade.

Distorsiunea armonică este schimbarea formei semnalului de amplificat, provocată de apariția la ieșirea amplificatorului a unor frecvențe armonice cînd la intrarea acestuia se aplică o tensiune sinusoidală.

Pentru aprecierea distorsiunii armonice se folosește caracteristica de amplitudine a amplificatorului care reprezintă variația tensiunii de ieșire a acestuia în funcție de tensiunea de intrare, la o frecvență specificată, amplificatorul fiind în condiții normale de utilizare.

Distorsiunea de intermodulație este apariția la ieșirea amplificatorului a unor frecvențe de combinație, datorită neliniarității caracteristicii de amplitudine a acestuia, cînd la intrarea lui se aplică două sau mai multe tensiuni sinusoidale de frecvențe și amplitudini date.

Mărimea distorsiunii armonice și a celei de intermodulație se determină cu ajutorul factorului de distorsiune neliniară armonică, respectiv de intermodulație, care se exprimă în procente.

Distorsiunea tranzitorie este schimbarea formei impulsurilor aplicate la intrarea amplificatorului.

Aprecierea distorsiunii tranzitorii se face cu ajutorul caracteristicii de regim tranzitoriu. Aceasta este curba care reprezintă variația tensiunii de ieșire a amplificatorului în funcție de timp, cînd la intrarea acestuia se aplică o tensiune de forma saltului unitate. Ea caracterizează funcționarea amplificatorului în regim de impulsuri.

Distorsiunea tranzitorie se poate aprecia și cu ajutorul impulsurilor dreptunghiulare etc.

Plaja de reglare a caracteristicii de frecvență reprezintă limitele răspunsului în frecvență, corespunzătoare pozițiilor extreme ale comenziilor de reglare considerate și unor frecvențe de valoare dată.

Tensiunea nominală de ieșire este tensiunea pentru care puterea nominală de ieșire se obține în impedanță nominală de sarcină.

Amplificarea în tensiune este raportul dintre tensiunea de la ieșirea amplificatorului și tensiunea de la intrarea acestuia, în condiții de funcționare normală a amplificatorului. Ea poate fi exprimată, în mod convențional, în decibeli.

Sensibilitatea este tensiunea care trebuie aplicată la bornele de intrare ale amplificatorului pentru ca acesta să furnizeze puterea nominală de ieșire în impedanță nominală de sarcină (potențiometrul de volum este reglat corespunzător amplificării maxime).

Impedanța de intrare este impedanța internă a amplificatorului, măsurată între bornele sale de intrare în condiții normale de utilizare a acestuia.

Impedanța nominală de sarcină este impedanța pe care debitează amplificatorul. Fără o specificație contrară, impedanța de sarcină este o rezistență pură, constantă ca valoare.

Impedanța nominală de sarcină pentru amplificatoarele cu sarcini variabile este impedanță optimă corespunzînd puterii maxime de ieșire, pentru o distorsiune armonică dată, într-o bandă de frecvență specificată.

2. PARAMETRII FUNDAMENTALI AI AMPLIFICATOARELOR DE ÎNALTĂ FIDELITATE

În absența unor norme standard pentru parametrii fundamentali ai amplificatoarelor de înaltă fidelitate, valoarea acestora variază în anumite limite, în funcție de fabricant și de unele recomandări făcute de diversi specialiști, pe baza unor date obținute pe cale experimentală.

Astfel, în ceea ce privește *puterea nominală de ieșire* se recomandă o valoare de aproximativ 30 W. Unii autori recomandă chiar valori de 50—60 W, iar alții mult mai puțin, 10—20 W, considerînd această putere suficientă pentru realizarea unei audiiții satisfăcătoare într-o cameră obișnuită.

Motivul principal pentru care se recomandă puteri de asemenea valori constă în aceea, că redarea corectă a regimurilor tranzistorii este posibilă numai în condițiile în care

amplificatorul poate să livreze, fără distorsiuni, vîrfuri de putere mult superioare ca valoare puterii medii la care se face ascultarea. Sînt și alte motive care conduc la o asemenea valoare a puterii nominale de ieșire, și anume: un amplificator cu distorsiuni neliniare de cîteva zecimi de procent la puterea de 30 W va avea distorsiuni mult mai mici (sutimi de procent) la puterea normală de ascultare; o putere mare permite transmiterea unei game dinamice mari și, în consecință, redarea naturală a sunetelor unor instrumente muzicale care determină intensități acustice puternice; o putere apreciabilă oferă posibilitatea unei ascultări normale într-o încăpere mare; în sfîrșit, un alt argument în favoarea adoptării unei valori mari pentru puterea nominală de ieșire este faptul că aceasta este în mod obișnuit mult redusă în practică, ca urmare a uzurii tuburilor electronice, a valorii scăzute a tensiunii rețelei.

Unii autori recomandă folosirea noțiunii de putere de ieșire muzicală pentru caracterizarea amplificatoarelor de înaltă fidelitate. Aceasta se definește ca fiind puterea maximă ce se poate obține la o frecvență dată, fără a depăși distorsiunea armonică impusă, măsurată imediat după aplicarea bruscă a semnalului și într-un timp atât de scurt, încît tensiunea de alimentare a amplificatorului nu se schimbă față de valoarea din repaus.

Impedanța de ieșire este un parametru important al amplificatoarelor, de el depinzînd conservarea unei tensiuni de ieșire constantă în condițiile variației impedanței de sarcină, ameliorarea reproducерii regimurilor tranzitorii, reducerea rezonanțelor difuzorului și micșorarea distorsiunilor în domeniul frecvențelor joase.

Cu cît impedanța de ieșire are o valoare mai mică în comparație cu impedanța nominală de sarcină, cu atît este mai bună comportarea amplificatorului.

Efectul impedanței de ieșire a amplificatorului este apreciat uneori prin raportul, exprimat în decibeli, dintre tensiunea măsurată la bornele impedanței nominale de sarcină și tensiunea măsurată la ieșirea amplificatorului cu sarcina deconectată. La amplificatoarele de înaltă fidelitate acest raport are o valoare mai mică decît 1 dB, ceea ce înseamnă că tensiunea de ieșire rămîne practic constantă cînd impedanța de sarcină variază în limite largi.

De cele mai multe ori, însă, efectul impedanței de ieșire a amplificatorului este apreciat prin acestui factor de

amortizare D , definit ca raportul impedanței nominale de sarcină către impedanța de ieșire a amplificatorului.

Valoarea lui D , întâlnită în amplificatoarele de înaltă fidelitate, variază între 15 și 20, în funcție de difuzorul folosit și de cutia în care se montează acesta, de schema amplificatorului și de particularitățile acustice ale încăperii în care se ascultă, având în fiecare caz o valoare optimă. Valoarea lui D este determinată, în principal, de necesitatea amortizării electromagnetice a mișcărilor bobinei mobile a difuzorului, deci de o bună reproducere a regimurilor tranzitorii. Totuși, trebuie menționat că o valoare foarte mare a factorului de amortizare duce la scăderea randamentului difuzorului în domeniul frecvențelor joase, scădere cu atât mai pronunțată cu cât magnetul difuzorului este de calitate mai bună, încât trebuie să se țină seamă de acest lucru. În general se consideră că valoarea 15 a factorului de amortizare este satisfăcătoare, ea permitînd ameliorarea sensibilă a reproducerii sonore și conservînd, totodată, stabilitatea amplificatorului, în condițiile aplicării reacției negative.

Unele amplificatoare de înaltă fidelitate sunt prevăzute cu posibilitatea de a varia pe D în scopul stabilirii valorii optimă a acestuia.

Valorile *raportului semnal/zgomot* întâlnite în amplificatoarele de înaltă fidelitate sunt, în general, mai mari decît 60 dB și cresc o dată cu tensiunea aplicată la intrarea acestora, ajungînd la 90 dB.

Strîns legată de puterea nominală și de zgomotul amplificatorului este gama dinamică pe care acesta poate să transmită. Gama dinamică este raportul, exprimat în decibeli, dintre tensiunea cea mai mare și tensiunea cea mai mică pe care amplificatorul trebuie să le amplifice fără a le altera calitatea. Gama dinamică este limitată în jos de zgomotul amplificatorului, iar în sus de distorsiunea neliniară introdusă de acesta la semnale mari. În mod obișnuit, amplificatoarele de înaltă fidelitate transmit o gamă dinamică de 60 dB.

Caracteristica de frecvență a amplificatoarelor de înaltă fidelitate este liniară într-un domeniu de frecvență foarte larg. Acest lucru este necesar pentru a se asigura o calitate înaltă reproducerii muzicii (din punct de vedere subiectiv aceasta se traduce prin efectul de transparență și strălucire la frecvențe înalte și sonoritate spațială la frecvențe joase). În condițiile existenței unei asemenea caracteristici de frecvență, caracteristica de fază este de așa natură, încît permite

aplicarea unei reacții negative puternice și obținerea, între altele, a unui factor de amortizare de valoare mare. De exemplu, dacă pentru realizarea unui $D = 50$ este necesară o reacție negativă de 30 dB în gama 40 Hz — 20 kHz, defazajul trebuie să fie de 10 grade la 10 Hz și 20 grade la 20 kHz; unei asemenea caracteristici de fază îi corespunde o caracteristică de frecvență în domeniul 2 Hz—100 kHz (cu o abatere de 1 dB), adică mult mai întinsă decât gama frecvențelor audibile.

Tinându-se seamă de faptul că valoarea limitei inferioare a factorului distorsiunii de frecvență nesesizabilă la ureche este 1 dB, caracteristica de frecvență recomandată în cazul amplificatoarelor de înaltă fidelitate este extinsă la domeniul 20 Hz—20 kHz cu o abatere mai mică decât 1 dB. În foarte multe cazuri, abaterea admisă este mai mică decât 0,5 dB din necesitatea de a realiza o caracteristică de fază corespunzătoare.

Caracteristica de fază a amplificatoarelor de înaltă fidelitate trebuie să fie liniară în domeniul de frecvențe audibile, cu o abatere mai mică decât ± 10 grade.

În ceea ce privește *distorsiunea armonică*, se consideră acceptabilă o valoare sub 0,5% pentru amplificatoarele de înaltă fidelitate, corespunzător puterii nominale de ieșire și benzii de frecvențe audibile. După unii autori, tinându-se seamă de nivelul distorsiunii armonice sesizabile, aceasta trebuie să aibă o valoare mai mică decât 1% la frecvența de 40 Hz și sub 0,5% la frecvențe medii și înalte, în condițiile în care amplificatorul furnizează puterea nominală de ieșire. Pentru realizarea acestor valori, preamplificatorul trebuie să aibă o distorsiune armonică egală cu 50% din distorsiunea amplificatorului de putere.

Distorsiunea de intermodulație admisibilă pentru amplificatoarele de înaltă fidelitate este de 2—3%, măsurată prin metoda modulării unui semnal de frecvență f_1 cu un altul de frecvență f_2 și mai mică decât 1%, măsurată prin metoda diferenței de ton.

În ceea ce privește *distorsiunea tranzitorie* admisibilă, nu se indică în mod obișnuit valori, aceasta fiind strâns legată de caracteristicile de frecvență și de fază ale amplificatorului, de gradul de amortizare al difuzorului. Pentru reproducerea fără distorsiuni a impulsurilor este necesară o caracteristică de frecvență mult extinsă peste limita superioară

a benzii audio, o distorsiune de fază cît mai redusă, amortizare cît mai mare a difuzorului.

Relativ la *plaja de reglare a curbei de răspuns*, la amplificatoarele de înaltă fidelitate se întâlnesc în mod obișnuit următoarele valori extreme: $\pm 15\text{--}20$ dB la o frecvență din intervalul 20—40 Hz și, de asemenea, la o frecvență din intervalul 15—20 kHz. Filtrele trece-jos utilizate în amplificatoarele de înaltă fidelitate au în mod obișnuit mai multe frecvențe de tăiere, dintre care cea mai mare este egală cu 10—12 kHz și realizează o atenuare de 30—50 dB/octavă. Filtrele trece-sus au, în general, frecvența de tăiere egală cu 30 Hz și introduc o atenuare de 10—20 dB/octavă.

În ceea ce privește parametrii fundamentali ai amplificatoarelor de înaltă fidelitate cu tranzistoare, aceștia au, în general, valori comparabile cu cele întâlnite la amplificatoare cu tuburi electronice.

Capitolul II

PREAMPLIFICATOARE DE ÎNALȚĂ FIDELITATE

Amplificatoarele de joasă frecvență de înaltă fidelitate se compun, în mod obișnuit, din două părți distincte: preamplificatorul și amplificatorul de putere. Preamplificatorul este acea parte care modifică amplitudinea și spectrul de frecvență al semnalelor furnizate de diverse surse de program.

1. ELEMENTE COMPOZITE

Preamplificatoarele de înaltă fidelitate cuprind, în general, următoarele secțiuni:

— etajul de intrare, care amplifică în tensiune semnalele furnizate de diverse surse de program și compensează distorsiunea de frecvență provocată de acestea;

— etajul corector de tonalitate, care realizează modificarea curbei de răspuns a preamplificatorului în domeniul frecvențelor joase și înalte, în limite relativ largi;

— etajul de ieșire, care furnizează tensiunea sursei de program amplificată și corectată, pe o impedanță de sarcină de valoare mică;

— dispozitivul pentru reglajul de volum, care servește pentru reglarea tăriei sonore;

— filtrul trece-sus, care servește la eliminarea zgomotelor de natură mecanică (produse de motor și mecanismul de antrenare) ale picupului;

— filtrul trece-jos cu tăiere bruscă, care servește pentru atenuarea zgomotului de suprafață al discurilor.

Unele preamplificatoare de înaltă fidelitate sunt prevăzute și cu alte secțiuni, care produc efecte speciale. Printre acestea pot fi menționate:

— filtrul de bandă, care servește la eliminarea unor rezonanțe din curba de răspuns a preamplificatorului;

- compresorul de zgomot, care reduce zgomotul preamplificatorului în absență modulației;
- expanderul de dinamică, care folosește pentru compensarea efectului produs de compresorul de dinamică asupra semnalului transmis direct sau prin intermediul înregistrării;
- dispozitivul pentru producerea reverberației artificiale;
- filtrul de prezență, care permite accentuarea frecvențelor medii.

2. ETAJUL DE INTRARE

Acesta este un etaj de amplificare prevăzut cu posibilitatea amplificării separate a tensiunilor furnizate de diverse surse de program.

Conectarea succesivă a surselor de program la etajul de intrare se realizează cu ajutorul unui comutator special (selector). În mod obișnuit, preamplificatoarele au borne de intrare pentru următoarele surse de program: doză de redare, microfon, radio, magnetofon.

Sursele de program care furnizează tensiuni mari se conectează la etajul de intrare prin intermediul unor divizoare rezistive sau potențiometrice, pentru a se evita supraîncărcarea

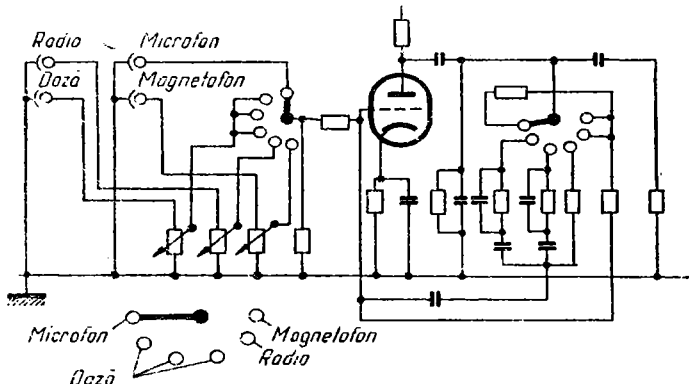


Fig. II.1 Schema de principiu a etajului de intrare.

rea tubului de intrare; din aceleași motive, aceste surse de program se conectează, adesea, la preamplificator, după etajul de intrare.

Pentru realizarea unui reglaj progresiv al sensibilității etajului de intrare, fără modificarea curbei de răspuns (cum

se întimplă în cazul conectării potențiometrelor de reglaj la intrarea etajului), potențiometrul se conectează în circuitul de reacție negativă.

Etajul de intrare este prevăzut cu o reacție negativă selectivă în cazul în care sursa de program este o doză de redare sau capul de redare al unui magnetofon și cu o reacție negativă de valoare fixă, de obicei, corespunzător celorlalte surse de program: microfon, radio, magnetofon, cum se vede în fig. II.1.

Rolul reacției negative selective este, în principal, acela de a corecta curba de răspuns realizată la înregistrarea pe disc sau bandă magnetică, iar al reacției negative de valoare fixă, de a micșora valoarea distorsiunilor tensiunii amplificate.

a. Folosirea microfonului, radio-ului și magnetofonului ca surse de program

Conecțarea microfonului la etajul de intrare al preamplificatorului se face direct sau prin intermediul unui transformator ridicător, în funcție de tipul acestuia.

Astfel, microfonul piezoelectric și microfonul condensator se conectează la etajul de intrare direct, printr-o impedanță de valoare mare.

Microfonul cu bobină mobilă se poate conecta în arabele feluri. Prima soluție, deși este mai simplă, prezintă dezavantajul că înrăutățește raportul semnal/zgomot, tensiunea furnizată de microfon fiind foarte mică.

Cea de-a doua soluție, datorită transformatorului ridicător, permite mărirea semnalului util și deci realizarea unui raport semnal/zgomot de valoare acceptabilă. În afară de aceasta, dacă se conectează la masă mijlocul înfășurării primare a transformatorului de intrare, este posibilă micșorarea paraziților care apar în circuitul de intrare al preamplificatorului, datorită ecranajului insuficient al cablului de legătură dintre microfon și etajul de intrare.

În cazul în care se utilizează un transformator ridicător, în secundarul transformatorului se conectează o rezistență de $100-200\text{ k}\Omega$, în general, care realizează liniarizarea caracteristicii de frecvență a transformatorului.

Utilizarea transformatorului impune măsuri speciale de realizare a acestuia și de ecranare, pentru a-l feri de acțiunea cîmpurilor magnetice parazite.

Radioul și magnetofonul se conectează la etajul de intrare direct prin intermediul unei rezistențe de valoare mare.

b. Folosirea dozei de redare ca sursă de program

Utilizarea dozelor de redare ca surse de program pune probleme deosebite privind conectarea acestora la etajul de intrare și corectarea spectrului semnalului înregistrat pe disc.

În ceea ce privește conectarea dozelor de redare la etajul de intrare, aceasta depinde de tipul lor.

În majoritatea cazurilor, în preamplificatoarele de înaltă iidelitate se folosesc doze de redare magnetice: cu bobină mobilă și cu fier mobil (cu reluctanță variabilă). Acestea au o impedanță proprie de valoare redusă (cuprinsă între 0,2 și cîțiva kilohmi la 1 000 Hz) și furnizează o tensiune proporțională cu viteza de deplasare a acului dozei. Ele pot fi conectate la etajul de intrare prin intermediul unui transformator ridicător sau direct. Prima soluție se utilizează mai rar, din cauza efectelor dăunătoare ale transformatorului asupra curbei de răspuns. În mod obișnuit se folosește conectarea directă, încărcîndu-se doza cu o rezistență de ordinul zecilor de kilohmi, valoare indicată de fabricant, în scopul liniarizării curbei de răspuns a dozei folosite (valorile curente ale acesteia sunt: 10 k Ω , 47 k Ω , 68 k Ω , 100 k Ω ; valorile tipice sunt 27 k Ω și 47 k Ω).

Valoarea rezistenței R de încărcare a dozei magnetice se stabilește în funcție de valoarea inductanței dozei L și capacitatii C prezentată de cablul de legătură între aceasta și preamplificator și de tubul de intrare al acestuia, cu ajutorul

$$\text{expresiei } \sqrt{\frac{L}{C}} \ll R \ll \sqrt{\frac{2L}{C}} \cdot \left(\pm 1 \text{ dB pînă la } f = \frac{1}{1,4 \pi \sqrt{2C}} \right)$$

Corectarea caracteristicii de frecvență, adoptată la înregistrarea pe disc, constituie o problemă mai complexă și de aceea va fi urmărită mai îndeaproape în cele ce urmează.

Înregistrările pe disc necesită modificarea, în mod voit, a spectrului semnalului — în sensul reducerii considerabile a nivelului frecvențelor joase ale acestuia în raport cu frecvențele înalte, încît pentru reproducerea fără distorsiuni de frecvență a semnalului înregistrat pe disc, curba de răspuns a preamplificatorului trebuie să fie simetrică curbei adoptată

la înregistrare (se presupune că, curba de răspuns a dozei de redare este liniară).

Există o mare varietate de caracteristici adoptate la înregistrare — și deci și la reproducere — în funcție de producă-

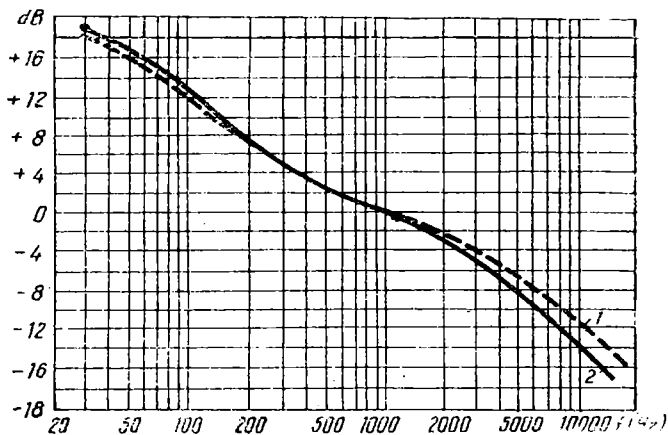


Fig. II.2 Caracteristici de egalizare pentru discurile microșanț:

1 — CCIR; 2 — RIAA (CEI).

torii de discuri. În ultima vremie, însă, înregistrarea discurilor microșanț și de 78 rot/min se realizează conform unor caracteristici standardizate.

Caracteristica de frecvență a etajului de intrare folosită în cazul discurilor microșanț este reprezentată în fig. II.2. Aceasta este caracteristica RIAA sau CEI-3, folosită aproape exclusiv, în cazul discurilor microșanț. Pe aceeași diafragmă este reprezentată și caracteristica CCIR, corespunzătoare acestui caz.

În fig. II.3 este reprezentată curba recomandată de CEI pentru compensarea caracteristicii folosită la înregistrarea discurilor de 78 rot/min. Din cauza zgomotului de suprafață și a altor neajunsuri pe care le prezintă însă, discurile de 78 rot/min sunt folosite tot mai rar, încit preamplificatoarele moderne sunt prevăzute, în mod obișnuit, doar cu circuite de egalizare pentru discurile microșanț.

Compensarea caracteristicii de înregistrare se face în etajul de intrare cu ajutorul unor rețele corectoare, numite și rețele de egalizare, constituite din rezistențe și condensatoare. Aceste rețele pot fi folosite ca elemente de cuplaj între etajul

de intrare și etajul următor al preamplificatorului sau în circuitul de reacție negativă. În preamplificatoarele de înaltă fidelitate se folosește în special cea de-a doua soluție, care permite între altele reducerea distorsionii neliniare introdusă de etajul de intrare, a zgomotelor parazite etc.

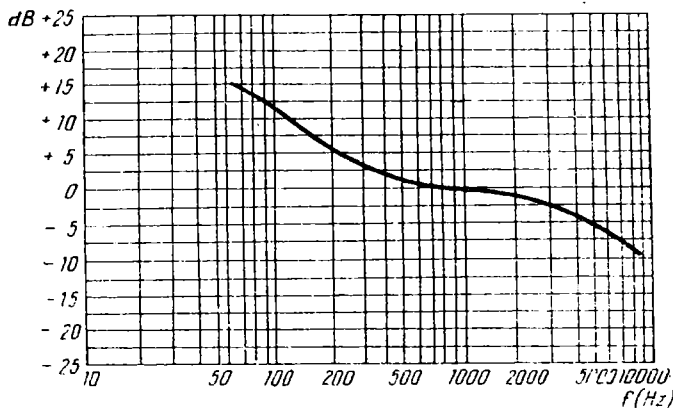


Fig. II.3 Caracteristicile de egalizare (CEI) pentru discurile de 78 rot/min.

În fig. II.4 este reprezentată schema de principiu a etajului de intrare, în care rețeaua de egalizare este conectată între anodul și grila tubului folosit. Tensiunea de reacție apare la bornele rezistenței R .

Structura acestei rețele, notată cu Z în fig. II.4 este determinată de alura curbei de egalizare. Aceasta poate fi aproxiimată prin segmente de dreaptă cu pante diferite de descreștere, cum se vede în fig. II.5.

Porțiunile cu pante diferite ale curbei se realizează în unele cazuri prin guparea elementelor rețelei Z într-unul din modurile prezentate în fig. II.6.

La frecvențe joase, alura curbei de egalizare este determinată de grupul C_1R_2 ; începând de la o frecvență f_1 în sus, rolul capacității C_1 este neglijabil în raport cu R_2 , încât impedanța Z variază foarte puțin cu frecvența.

La frecvențe superioare lui f_2 se face simțit efectul capacității C_2 care provoacă atenuarea frecvențelor înalte.

Limitarea creșterii caracteristicii de egalizare la frecvențe foarte joase (inferioare lui f_3) este asigurată de rezistența R_1 .

În cazul curbei RIAA, elementele R_1R_2 , C_1 și C_2 din figurile de mai sus trebuie să satisfacă următoarele relații:
 $R_1C_1 = 3\ 180\ \mu s$; $R_2C_1 = 318\ \mu s$; $R_2C_2 = 75\ \mu s$.

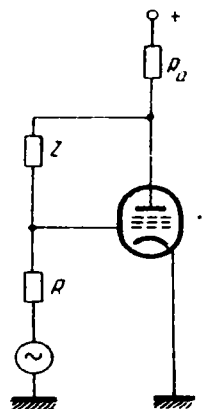


Fig. II.4 Schema de principiu a unui circuit de egalizare.

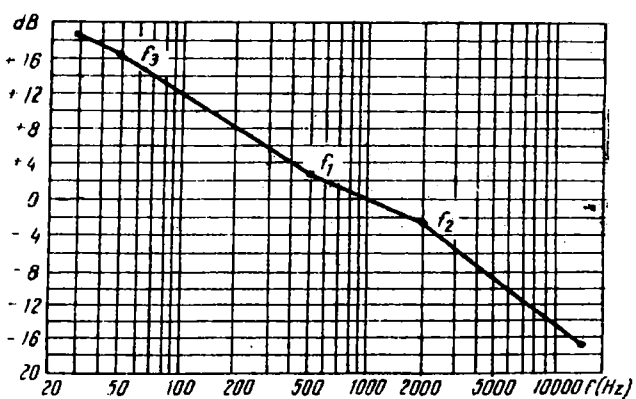


Fig. II.5 Aproximarea caracteristicii de egalizare RIAA prin drepte cu diverse pante.

Valoarea acelorași constante de timp, corespunzătoare caracteristicii de egalizare pentru discurile de 78 rot/min,

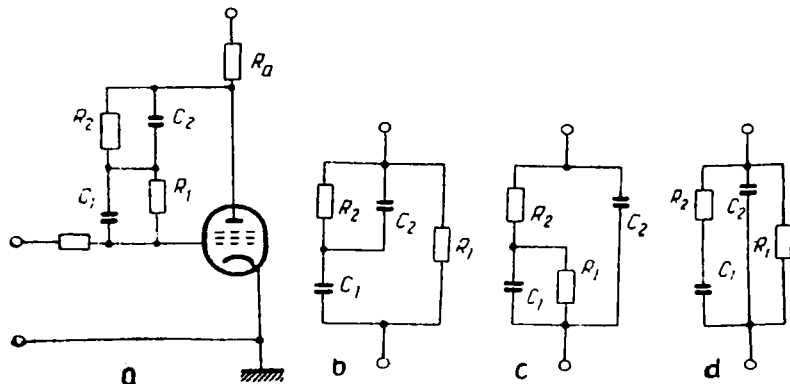


Fig. II.6 Diverse scheme de realizare a rețelei de egalizare:

a — grupurile R_1C_1 și R_2C_2 inseriate; b — rezistența R_1 dispusă în paralel pe ansamblul $C_1R_2C_2$; c — condensatorul C_2 dispus în paralel pe ansamblul $R_1C_1R_2$; d — rezistența R_1 și condensatorul C_2 dispuse în paralel pe grupul C_1R_2 .

sînt următoarele: $R_1C_1 = 3\ 180\ \mu s$; $R_2C_1 = 450\ \mu s$; $R_2C_2 = 50\ \mu s$.

În foarte multe cazuri, cele trei constante menționate au valori diferite de cele standard, dar apropiate de acestea, încât se obțin curbe medii de egalizare.

În eventualitatea folosirii a două tuburi electronice în etajul de intrare, rețea de egalizare poate fi introdusă între catodul primului și anodul celui de-al doilea tub, ceea ce are ca urmare faptul că se elimină influența impedanței de intrare asupra corecției (în mod normal aceasta variază sub influența reacției variabilelor) și se îmbunătățește raportul semnal/zgomot al etajului.

În cazul dozelor cu cristal sau ceramice (folosite în mică măsură în preamplificatoarele de înaltă fidelitate), care furnizează o tensiune proporțională cu amplitudinea semnalului înregistrat pe disc, circuitele de corecție se schimbă radical în comparație cu cele necesită de dozele magnetice.

Prin încărcarea dozelor piezoelectrice cu o rezistență de valoare mică, tensiunea furnizată de acestea nu va mai fi proporțională cu amplitudinea semnalului înregistrat, ci cu viteza de deplasare a acului dozei, încât doza piezoelectrică se va comporta asemănător cu cea magnetică. În acest fel, ea poate fi folosită în etajul de intrare al preamplificatorului prevăzut cu corecțiile specificate anterior. Valoarea optimă a rezistenței de încărcare a dozei piezoelectrice este rareori indicată de fabrică; în majoritatea cazurilor se folosește o rezistență cuprinsă între 10 și 200 k Ω . Dacă caracteristica de frecvență nu trebuie modificată, impedanța aleasă poate fi cuprinsă între 1 și 5 M Ω .

Problemele care se pun la proiectarea etajului de intrare sunt legate în principal de alegerea tubului electronic și de stabilirea valorilor elementelor rețelei de egalizare.

Pentru a ușura dimensionarea elementelor componente ale rețelei Z se presupune că etajul de intrare are caracteristică de frecvență liniară, capacitațile parazite ale montajului sunt nule, iar capacitatea de cuplaj C este infinită.

În aceste condiții, dacă impedanța Z are o valoare mult mai mare decât rezistența de sarcină a tubului electronic, astfel ales, încât să permită o amplificare foarte mare, iar rezistența internă a dozei folosite este neglijabilă față de rezistență R (fig. II.4), amplificarea cu reacție a etajului de intrare are expresia: $A = \frac{Z}{R}$. Alegând pe R corespunzător dozei de reproducere utilizată și impunând pe A în funcție de sensibilitatea etajului corector de tonalitate, rezultă valoarea lui Z .

Astfel pentru $R = 47 \text{ k}\Omega$ și $A = 10$ la frecvența de 1 000 Hz, rezultă $Z = 470 \text{ k}\Omega$. Aceasta este valoarea care se adoptă pentru rezistența R_2 . Pentru determinarea celorlalte elemente ale rețelei de egalizare, R_1 , C_1 și C_2 , se folosesc relațiile dintre acestea și frecvențele f_1 , f_2 , f_3 , care delimită pantele curbei de egalizare, puse în evidență în fig. II.5. Acestea sunt următoarele:

$$f_1 = \frac{1}{6,28 R_2 C_1}; f_2 = \frac{1}{6,28 R_2 C_2}; f_3 = \frac{1}{6,28 R_1 C_1}.$$

În cazul discurilor microșanț ($f_3 = 50 \text{ Hz}$, $f_1 = 500 \text{ Hz}$), se poate scrie:

$$C_1 = \frac{159 \cdot 10^3}{500 \cdot 0,47} = 680 \text{ pF}; R_1 = \frac{159 \cdot 10^3}{50 \cdot 680} = 4,7 \text{ M}\Omega.$$

Pentru determinarea capacității C_2 se folosește, de obicei, valoarea impusă constantei $C_2 R_2$. Pentru $R_2 C_2 = 75 \mu\text{s}$ și $R_2 = 470 \text{ k}\Omega$ rezultă:

$$C_2 = \frac{75 \cdot 10^6}{470 \cdot 10^3} = 160 \text{ pF}.$$

În condiții reale de funcționare a etajului de intrare (caracteristică de frecvență neliniară, C de valoare finită) este necesară corectarea unora dintre valorile determinate mai sus. Astfel, pentru rezistența R_1 se adoptă o valoare mai mare decât cea rezultată din calcul, spre a compensa scăderea amplificării în domeniul frecvențelor joase cauzată de circuitele folosite pentru decuplarea ecranului și catodului tubului folosit în etajul de intrare (această scădere este cu atît mai mare, cu cît amplificarea la 1 000 Hz este mai mică) și a asigura astfel ridicarea de 18,6 dB la 30Hz, corespunzătoare caracteristicii RIAA. În unele rețele de egalizare R_1 poate chiar să lipsească din această cauză.

În mod asemănător se dimensionează și rețelele pentru discurile de 78 rot/min.

Alegerea tubului electronic folosit în etajul de intrare este condiționată de mărimea amplificării pe care trebuie să o realizeze acesta și de valoarea impusă pentru raportul semnal/zgomot.

Condițiile amintite anterior în legătură cu funcționarea etajului de intrare conduc la alegerea unui tub electronic cu pantă mare, capabil să realizeze o amplificare importantă pe o sarcină mică. În mod obișnuit se utilizează pentode de tip special sau triode în montaj cascădă sau în montaj obiș-

nuit (utilizîndu-se două etaje în cascadă). Printre tuburile folosite se numără pentodele EF80, EF804, EF86; se preferă cele din urmă, deoarece sînt antimicrofonice și antibrum, încît asigură o valoare corespunzătoare pentru raportul semnal/zgomot.

Montajul prezentat în fig. II.4, care funcționează cu tub pentodă în condițiile precizate în acest paragraf, cunoscut sub numele de repetor anodic, are avantajul că prezintă o impedanță de ieșire de valoare scăzută, fapt care permite funcționarea normală a etajului corector de tonalitate care urmează.

Montajul cascodă, utilizînd, de obicei, dubla triodă ECC83, oferă avantaje deosebite prin aceea că realizează o amplificare foarte mare, are zgomot propriu mic și prezintă o capacitate de intrare foarte mică în comparație cu cea prezentată de aceeași triodă conectată în montaj obișnuit. Ca dezavantaj trebuie semnalat acela al necesității alimentării filamentelor în curent continuu (trioda ECC83 avînd un curent de fugă filament-catod de valoare ridicată).

În cazul folosirii a două triode în cascadă, trioda de ieșire se montează ca repetor catodic pentru a asigura o impedanță mică de ieșire.

c. Folosirea capului de redare al magnetofonului ca sursă de program

Folosirea capului de redare ai magnetofonului ca sursă de program impune adoptarea unor măsuri speciale privind conectarea acestuia la etajul de intrare și corectarea spectrului semnalului înregistrat pe bandă magnetică.

Conectarea capetelor de redare ale magnetofonului la etajul de intrare se realizează direct sau prin intermediul unui transformator ridicător, după cum impedanța acestora este mare, respectiv de valoare redusă. În cazul conectării acestora prin intermediul unui transformator ridicător se recomandă adoptarea acelorași măsuri privind realizarea și ecranarea transformatorului ca și în cazul microfoanelor.

Pentru a se obține o caracteristică de frecvență liniară la reproducerea semnalului înregistrat pe bandă magnetică, este necesar să se realizeze corectarea în etajul de intrare al preamplificatorului a curbei realizate la înregistrare. Această corecție se face conform unor curbe normate dependente de viteza de antrenare a benzii magnetice prin fața capului de redare.

Corespunzător normelor adoptate, caracteristica de frecvență a etajului de intrare al preamplificatorului de magnetofon are aspectul curbelor din fig. II.7.

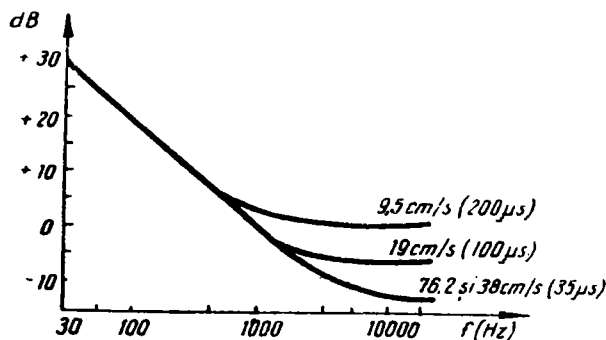


Fig.II.7 Caracteristicile de frecvență normate ale preamplificatorului de magnetofon, pentru patru viteze ale benzii magnetice.

Corectarea curbei de răspuns a semnalului înregistrat pe bandă magnetică se poate realiza în mai multe feluri: prin sătarea capului de redare cu o rezistență de valoare redusă (în comparație cu impedanța capului), prin utilizarea unui divizor de tensiune dependent de frecvență între etajul de intrare și etajul următor și în sfîrșit, prin realizarea unei reacții negative dependente de frecvență în etajul de intrare sau între etajul de intrare și etajul următor.

Dintre acestea, foarte des utilizată este ultima soluție.

Rețeaua de corecție utilizată în circuitul de reacție negativă, care realizează caracteristica de frecvență a etajului de intrare reprezentată mai sus, este constituită dintr-o rezistență și dintr-o capacitate legate în serie.

Valorile rezistenței și capacitatii se aleg în aşa fel, încât produsul lor să corespundă normelor impuse. În figura II.7 sunt indicate constantele de timp RC corespunzătoare diverselor viteze de antrenare a benzii magnetice.

3. ETAJUL CORECTOR DE TONALITATE

Preamplificatoarele de înaltă fidelitate sunt prevăzute cu reglaje separate ale curbei de răspuns în domeniul frecvențelor înalte și joase.

Circuitele folosite în acest scop sînt de tipul divizoarelor dependente de frecvență sau al schemelor cu reacție negativă selectivă.

Un circuit de primul tip este cel reprezentat în fig. II.8.

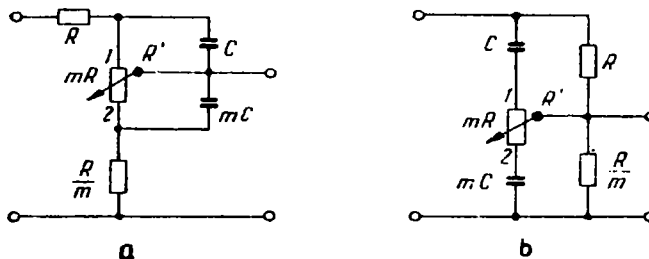


Fig. II.8 Circuite corectoare de tonalitate, pasive:
a — pentru frecvențe joase; b — pentru frecvențe înalte.

De cele mai multe ori, cele două secțiuni reprezentate în fig. II.8 apar reunite într-un singur circuit, ca în fig. II.9.

Secțiunea din fig. II.8, a servește pentru reglajul de tonalitate în domeniul frecvențelor joase, iar cea din fig. II.8,b în domeniul frecvențelor înalte. Accentuarea maximă a frecvențelor joase corespunde poziției 1 a cursorului potențiometrului, iar atenuarea maximă poziției 2 a acestuia. În ceea ce privește frecvențele înalte, acestea sunt cel mai puțin atenuate cînd cursorul potențiometrului este în poziția 1 și maxim atenuate cînd acesta este în poziția 2. La frecvențe medii, caracteristica de frecvență este liniară și depinde puțin de poziția cursorului potențiometrelor.

Pentru compensarea atenuării introduse de circuitele corectoare de tonalitate, acestea se folosesc în scheme cu tuburi electronice.

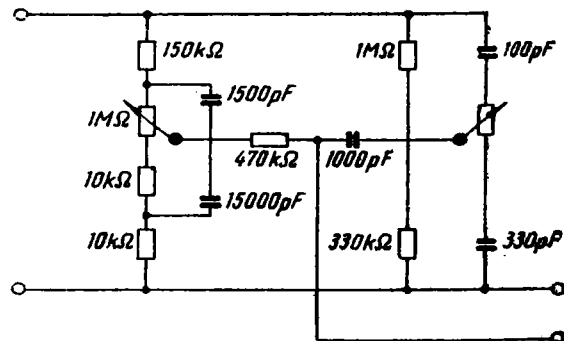


Fig. II.9 Circuit pasiv utilizat pentru corecția de tonalitate, în domeniul frecvențelor joase și înalte.

În fig. II.10, *a* este indicat modul în care se conectează circuitul din fig. II.8 în etajul corector de tonalitate, iar în fig. II.10, *b*, *c*, circuitul din fig. II.9.

În fig. II.11 sunt reprezentate curbele limită de reglare a caracteristicii de frecvență, realizată cu aceste circuite.

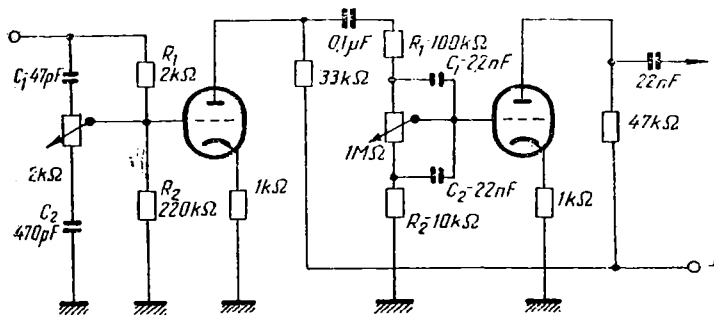
Cea mai răspîndită schemă de tipul al doilea, cunoscută sub numele de circuit Baxandall, este reprezentată în fig. II.12 *a*.

Semnalele de frecvență joasă ajung la tubul T_2 prin rețeaua $R_1 P_1 R_2 C_1 C_2 R_3$. Atenuarea maximă a frecvențelor joase corespunde poziției 2 a cursorului potențiometrului P_1 , pentru care semnalul care ajunge la grila tubului T_2 este minim, iar reacția negativă de valoarea cea mai mare. În această situație elementul principal este condensatorul C_2 , a cărui reactanță crește cu scăderea frecvenței. Poziției 1 a cursorului îi corespunde accentuarea maximă a frecvențelor joase, semnalul la grila lui T_2 fiind maxim, iar reacția negativă minimă. Între aceste poziții limită sunt o serie de curbe simetrice față de situația corespunzătoare poziției mediane a cursorului potențiometrului P_1 . Datorită simetriei, P_1 se alege liniar pentru a avea 0 dB la jumătatea cursei.

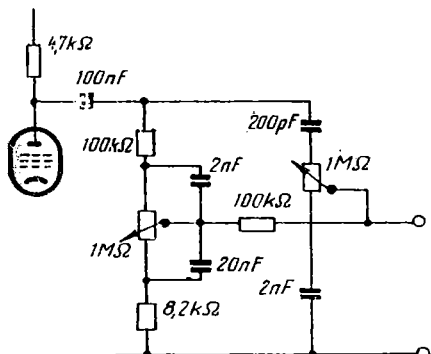
Semnalele de frecvență înaltă ajung la grila lui T_2 , în principal, prin P_2 și C_3 . Când cursorul potențiometrului P_2 este în poziția 1, semnalul care ajunge la T_2 este mare, iar reacția negativă minimă, încât frecvențele înalte sunt accentuate la maxim. Când cursorul este în poziția 2, semnalul transmis este minim, iar reacția negativă maximă încât frecvențele înalte sunt atenuate în cea mai mare măsură. Potențiometrul P_2 este liniar din aceleași motive ca și P_1 . Pentru a obține limite mari de reglaj la frecvențe înalte, potențiometrul P_2 are priză mediană la masă; în lipsa acestia, accentuarea frecvențelor înalte este de aproximativ două ori mai mică.

Conectarea circuitului Baxandall în etajul corector de tonalitate ca în fig. II.12, *a* oferă avantajul unei reacții negative globale; cu toate acestea, de multe ori se preferă o conectare mai simplă, ca în fig. II.12, *b*.

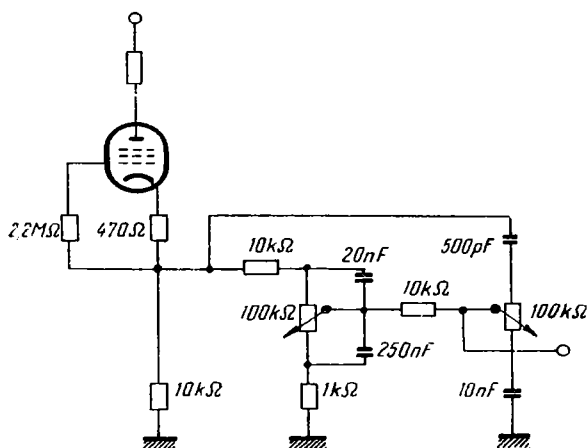
În unele circuite Baxandall se folosesc potențiometre obișnuite, în locul potențiometrului special P_2 , punctul me-



a



b



c

Fig.II.10 Etaj corector de tonalitate:

a — utilizând circuitele din fig. II. 8, a, b; b, c — utilizând circuitul din fig. II. 9

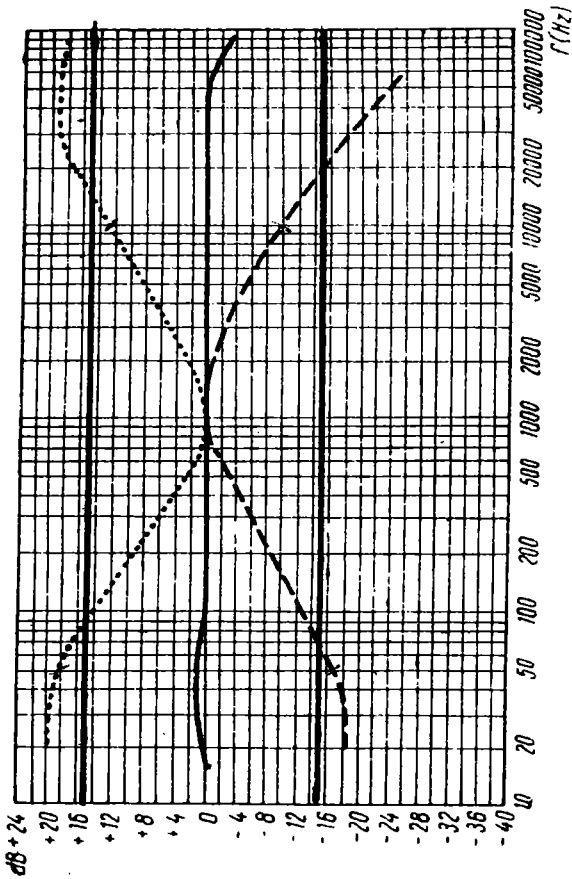


Fig.II.11 Curburile limită de reglare a caracteristicii de frecvență ale etajului din fig.II.10, *b*, *c*.

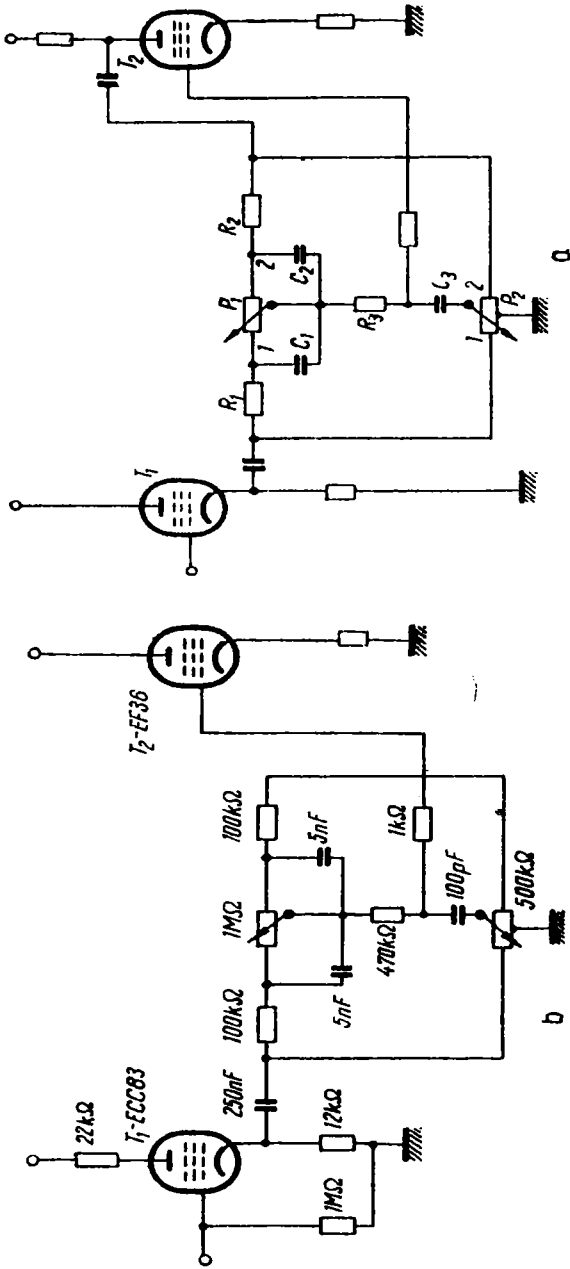


Fig.II.12 Etajul corector de tonalitate folosind un circuit Baxandall:
a — varianta de conectare a circuitului Baxandall; b — alta varianta.

dian realizîndu-se prin intermediul unor elemente auxiliare, cum se vede în fig. II.13.

În fig. II.14 sînt reprezentate curbele de corecție obținute cu un circuit Baxandall.

Unele scheme de etaje corectoare sînt prevăzute cu posibilitatea de a varia frecvența la care începe corecția. Acest lucru se folosește rar, deoarece schemele devin mult prea complexe, iar efectele nu sunt deosebite.

Pentru a ușura determinarea elementelor circuitului reprezentat în fig. II.8 se presupune că acesta nu este încărcat cu rezistența de grilă a tubului T_2 și nu influențează funcționarea circuitului precedent.

În mod obișnuit se impun frecvențele limită ale benzii de corectat f_l și f_h și atenuările a_l și a_h care trebuie realizate la aceste frecvențe. Pornind de la acestea, se determină valoarea rezistențelor și condensatoarelor folosind expresii analitice sau curbe. Curbele folosite în acest scop îl reprezintă variația atenuării în funcție de mărimea x , pentru diverse

Fig.II.13 Varianta a circuitului Baxandall folosind un potențiometru obișnuit pentru corectarea frecvențelor înalte.

litice sau curbe. Curbele folosite în acest scop îl reprezintă variația atenuării în funcție de mărimea x , pentru diverse

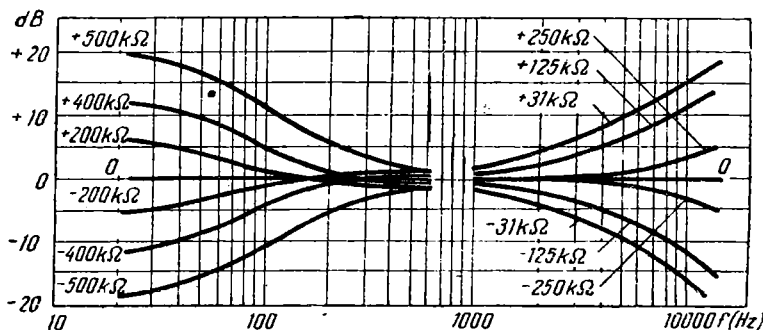


Fig.II.14 Curbele limită de reglare a caracteristicii de frecvență ale etajului corector de tonalitate cu circuit Baxandall.

valori ale lui b și m ; b este raportul dintre porțiunea variabilă a potențiometrelor și valoarea lor totală:

$$b = \frac{B'}{mR} \text{ pentru frecvențe joase; } b = \frac{R'}{R} \text{ pentru frecvențe}$$

înalte ($b = 1$ corespunde la accentuarea maximă, iar $b = 0$ la atenuarea maximă), iar $x = CR$. Mărurile m, C, R sunt cele notate pe figură.

Pentru b, a_i, a_s, f, m date, din curbele menționate se determină x . Alegând o valoare potrivită pentru R , în conformitate cu ipoteza făcută mai sus (în mod obișnuit de ordinul zecilor sau sutelor de kilohmăi), se determină valoarea lui C .

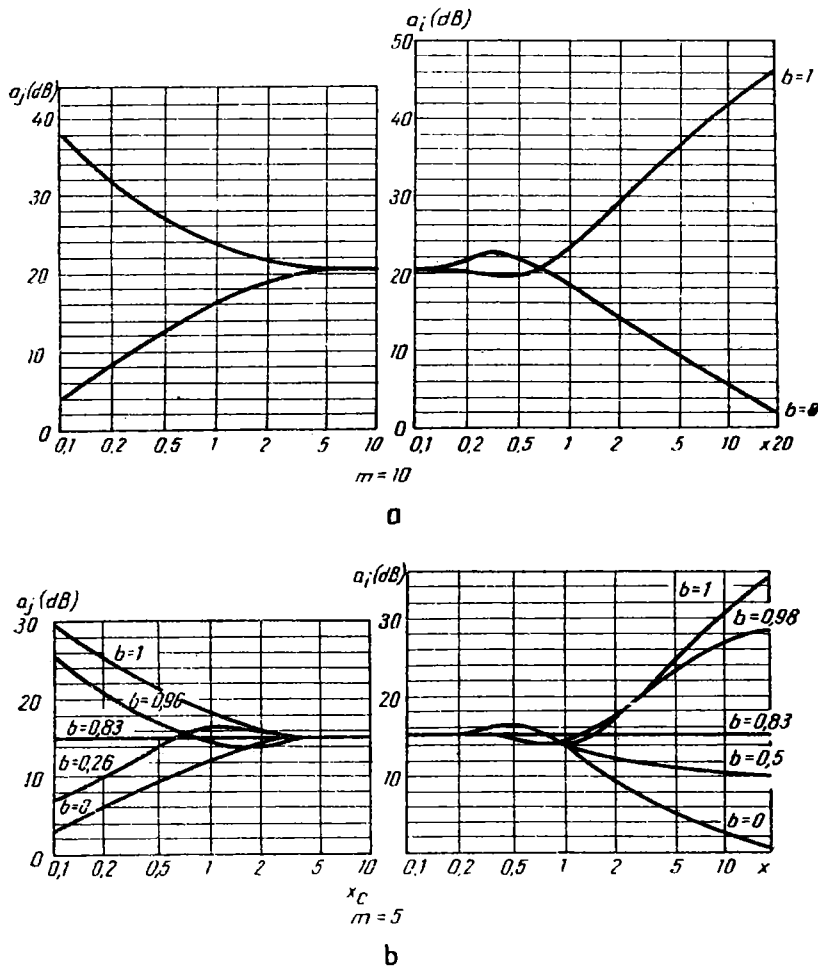


Fig.II.15 Curbele de atenuare ale circuitului corector de tonalitate pasiv (fig. II.8):
 a — pentru $m = 10$; b — pentru $m = 5$.

Rezistența de separație dintre cele două secțiuni ale circuitului din fig. II.9 se alege în aşa fel, încât acestea să nu se influențeze reciproc. Obișnuit, rezistența de separație se alege impunând condiția: $R_3 \approx 10 R_2$.

În fig. II.15 sunt reprezentate curbele de atenuare pentru $m = 5$ și $m = 10$, două valori utilizate curent în practică; o valoare mai mare a lui m permite obținerea unor limite de reglaj mai mari, dar atrage după sine necesitatea unei amplificări sporite a etajului, greu de realizat în practică.

În ceea ce privește tuburile electronice, se utilizează, de obicei, pentoda EF86, montată ca repetor anodic, trioda ECC83 etc.

Dimensionarea elementelor unui circuit de tipul celui reprezentat în fig. II.12 este mai dificilă, funcționarea schemei fiind mai complexă. În general, rezistențele R_1 și R_2 sunt egale (având o valoare de 10 ori mai mică decât P_1), capacitățile C_1 și C_2 de asemenea, având valori cuprinse între 2,5 și 5 nF. Potențiometrul P_2 are valoare de două ori mai mică decât P_1 , în mod obișnuit. Rezistența R_3 se ia de valoare mare pentru buna funcționare a circuitului.

Funcționarea optimă a circuitului are loc în cazul în care etajul precedent are impedanță mică de ieșire.

4. ETAJUL DE IEȘIRE

Etajul de ieșire este în mod obișnuit un repetor catodic. Impedanța de ieșire de valoare scăzută a acestuia permite folosirea unui cablu lung pentru legătura cu amplificatorul de putere, fără a modifica curba de răspuns a preamplificatorului.

În vederea conectării la ieșirea repetorului catodic a unor filtre separatoare de canale, care reprezintă o impedanță mică de sarcină (sub 5 k Ω), se iau unele precauții, pentru a limita creșterea distorsiunii de intermodulație a etajului; printre acestea pot fi menționate: utilizarea unui tub cu pantă mare, folosirea unei rezistențe catodice de valoare cât mai mare posibil etc.

5. FILTRUL TRECE-SUS

Realizat după scheme diverse, filtrul trece-sus asigură o tăiere rapidă a frecvențelor sub 30 Hz, evitîndu-se astfel apariția unei distorsiuni de intermodulație, cauzată de zgâmotele de origină mecanică ale picupului.

Acest efect se obține în modul cel mai simplu prin alegera rezistenței R_1 , din etajul de intrare, de valoare potrivită și prin micșorarea capacității de cuplaj a acestuia cu etajul următor și a capacităților din circuitele de catod și ecran. Pentru ca micșorarea capacității de cuplaj să nu deranjeze funcționarea rețelei de egalizare, se adoptă un montaj de tipul celui reprezentat în fig. II.16.

În unele preamplificatoare de înaltă fidelitate se folosesc un filtru dublu T în acest scop, branșat în circuitul de reacție negativă al unui tub, cum se vede în fig. II.17, a. Circuitul RC din figură, a cărui frecvență de tăiere este de 30 Hz,

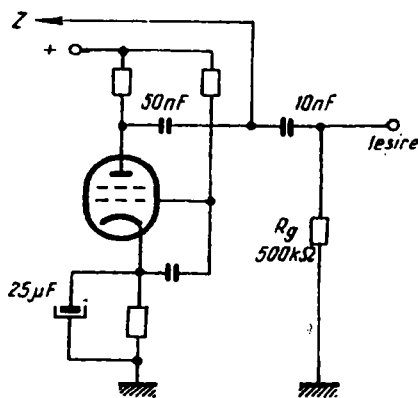


Fig.II.16 Schemă a etajului de intrare care permite atenuarea frecvențelor joase.

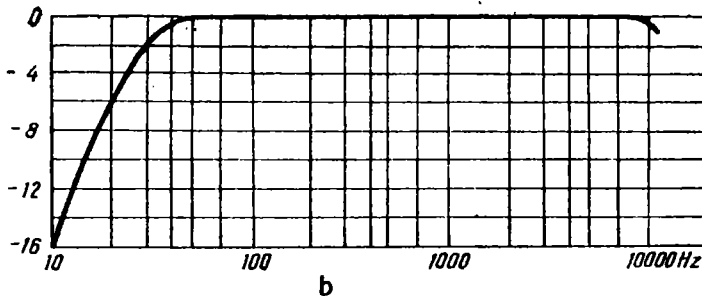
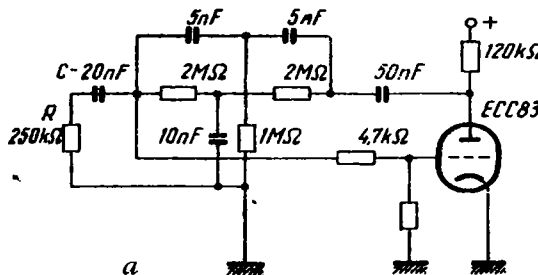


Fig.II.17 Filtru trece-sus:
a — schema filtrului trece-sus; b — curba de atenuare realizată de filtru.

completează acțiunea filtrului dublu T. În fig. II.17, b este reprezentată curba de atenuare a filtrului trece-sus.

Filtrul trece-sus este tot mai puțin utilizat în preamplificatoarele de înaltă fidelitate, ca urmare a creșterii calității picupurilor, care nu mai prezintă zgomote de origină mecanică.

6. FILTRUL TRECE-JOS

În preamplificatoarele de înaltă fidelitate se întâlnesc filtre trece-jos constituite dintr-o celulă în π , realizată cu elemente L , C , ca în fig. II.18.

O ameliorare adusă acestiei constă în dispunerea unei capacitați în paralel pe inductanță, ceea ce permie obținerea unei pante de atenuare de 50 dB/octavă.

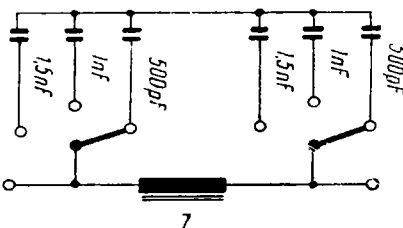


Fig.II.18 Filtru trece-jos de tip LC.

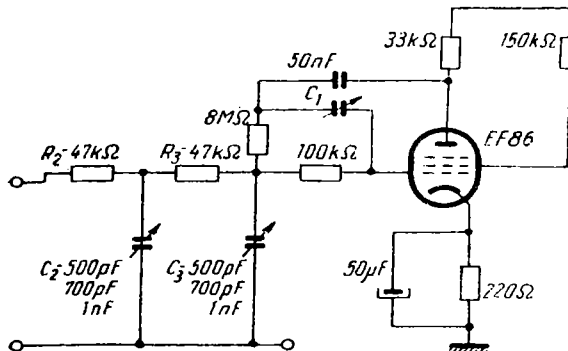


Fig.II.19 Filtru trece-jos activ.

În acestui filtru, încât el apare tot moderne de preamplificatoare de înaltă fidelitate.

Se întâlnește, de asemenea, o schemă cu reacție negativă selectivă, de tipul celei prezentate în fig. II.19.

Reacția negativă selectivă se realizează prin intermediul capacității C_1 . Pentru mărarea pantei de atenuare se folosește circuitul R_2C_2 R_3C_3 .

Utilitatea filtrului trece-jos este legată de calitatea discurilor folosite; în cazul discurilor de calitate mai scăzută el este strict necesar.

Discurile realizate în ultima vreme însă, nu necesită intervenții mai rare în schemele

La înlăturarea filtrului trece-jos contribuie și un factor de natură subiectivă și anume acela că suprimarea frecvențelor înalte produce o impresie sonoră mult mai puțin plăcută decât reproducerea unei benzi largi de frecvență, chiar dacă există și un ușor zgromot de fond.

7. REGLAJUL DE VOLUM

În mod obișnuit, în scopul reglării tăriei sonore se utilizează un potențiometru, de preferință logaritmic, plasat la intrarea etajului de ieșire sau la ieșirea acestuia; se preferă prima soluție, care permite realizarea unei impedanțe de ieșire de valoare mică și constantă. Uneori potențiometrul de volum se conectează la intrarea etajului corector de tonalitate.

Întrucât senzația auditivă depinde de tăria sunetului și de frecvența acestuia, conform curbelor Fletcher-Munson, unii autori recomandă folosirea unui regulator de volum având o acțiune selectivă asupra frecvențelor reproduse (accentuarea frecvențelor joase în cazul nivelerelor mici de ascultare); este vorba de așa-numita comandă de volum cu compensare de ton (cu compensare fiziologică).

Asemenea dispozitiv se întâlnește tot mai rar în preamplificatoarele de înaltă fidelitate, din următoarele considerente: acest dispozitiv presupune că fiecare poziție a potențiometrului de volum corespunde unui nivel sonor bine determinat; ori, acesta este în funcție de: dimensiunile și acustica încăperii în care se ascultă, difuzorul și cutia de difuzor utilizate, nivelul furnizat de sursa de program, care sunt factori variabili și în consecință nu pot fi luați în considerație de către construcțorul preamplificatorului. În afară de aceasta, curbele Fletcher-Munson sunt curbe medii, care pot să difere în măsură importantă de curbele reale de variație a senzației cu excitația ale unui ascultător oarecare; în sfîrșit, din punct de vedere practic, este dificil de a realiza un circuit electric a cărui curbă de răspuns să reproducă riguros curbele urechii.

Din aceste motive se preferă să se lase ascultătorului posibilitatea de a regla tăria sonoră în funcție de frecvență, după dorință, utilizând în acest scop etajul corector de tonalitate.

Celelalte dispozitive menționate se folosesc doar în situații speciale, fiind relativ complexe și costisitoare.

De reținut faptul, că toate acestea, precum și filtrele trece-jos, trece-sus, se introduc în circuitul preamplificatorului doar în caz de necesitate, cu ajutorul unor comutatoare.

8. PREAMPLIFICATOARE

Schemele de preamplificatoare de înaltă fidelitate realizate cu tranzistoare reproduc, în general, pe cele echipate cu tuburi electronice, deosebirea dintre ele constând doar în valoarea diferită a elementelor utilizate. Cu toate acestea și cu tot progresul obținut în construcția tranzistoarelor, performanțele realizate de schemele cu tuburi electronice sunt totuși superioare pînă în prezent. Aceasta se datorează unor particularități ale tranzistoarelor, care provoacă dificultăți în folosirea lor, în ceea ce privește domeniul de utilizare și posibilitățile de exploatare. Printre acestea pot fi menționate următoarele: în primul rînd, imposibilitatea obținerii unor tensiuni de ieșire de valoare ridicată; schemele cu tranzistoare, datorită sarcinilor reduse și tensiunilor de alimentare mici, nu permit amplificarea unor tensiuni la fel de mari cu cele întîlnite în schemele cu tuburi electronice; în al doilea rînd, instabilitatea performanțelor tranzistoarelor în funcție de variația temperaturii și a tensiunilor de alimentare, precum și de diferențele de fabricație existente între parametrii tranzistoarelor de același tip; în al treilea rînd, dificultatea realizării unui raport semnal/zgomot corespunzător cerințelor, datorită zgomotului propriu al tranzistoriului (acesta poate fi redus adoptînd măsuri speciale, printre care selecționarea tranzistoarelor cu factor de zgomot redus, alegera — în măsura posibilităților — a valorii optime pentru rezistență internă a sursei de modulație care se conectează la intrarea preamplificatorului etc.). În ceea ce privește raportul semnal/zgomot, tranzistoarele sunt dintr-un punct de vedere superioare tuburilor electronice, prin aceea că nu au microfonie, nu sunt sensibile la cîmpuri magnetice parazite, nu necesită încălzire și deci nu intervine brumul. Acest ultim fapt a condus la utilizarea, cu rezultate bune, a tranzistoarelor în etajul de intrare al preamplificatoarelor. Din cauza valorii reduse a tensiunilor pe care le pot amplifica tranzistoarele, cu distorsiuni mici, de multe ori acestea se folosesc în scheme mixte împreună cu tuburile electronice; semnalul furnizat de doza de redare este preamplificat în etajele cu tranzistoare plasate în apropierea acesteia, apoi sunt amplificate și corec-

tate în etaje cu tuburi electronice legate prin cablu de primele.

Există însă și scheme de preamplificatoare realizate în întregime cu tranzistoare.

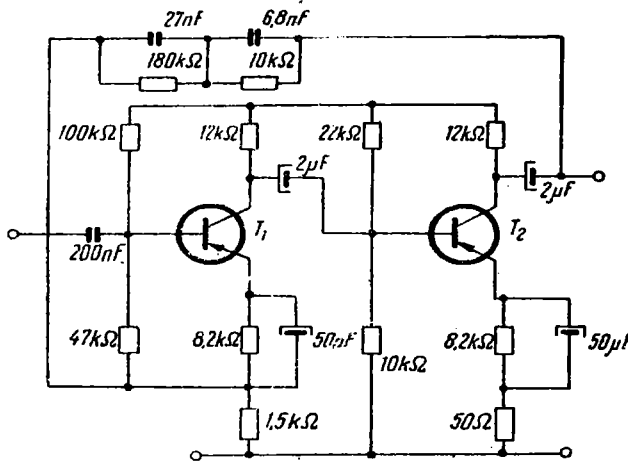


Fig.II.20 Etaj de intrare cu tranzistoare utilizat în preamplificatoare.

În fig. II.20 este reprezentată schema unui etaj de intrare. Se remarcă rețeaua de egalizare, care lucrează pe principiul reacției negative selective, întocmai ca în schemele cu tuburi electronice.

În ceea ce privește alegerea tranzistoarelor și dimensiunea elementelor schemei, se impun anumite precauții necesare pentru funcționarea optimă a acestor tranzistoare. Astfel, a) punctul de funcționare a tranzistorului trebuie să corespundă unei tensiuni mici de colector și unui curent de emitor de valoare redusă (acestea înseamnă factor de zgomot mic); rezistența sursei de program trebuie să fie mică pentru a nu dăuna raportului semnal/zgomot (valoarea optimă a acestor rezistențe este, în general, cuprinsă între 500 și 1 000 Ω); cu cât curentul de emitor este mai mic, cu atât rezistența sursei de program poate fi mai mare; b) tranzistorul utilizat în etajul de intrare trebuie să aibă factor de amplificare în curent mare, fără excepție de cădere ridicată, ceea ce conduce la un factor de zgomot redus; c) pentru o bună stabilitate termică a tranzistorului trebuie ca rezistența introdusă în circuitul de emitor să fie de valoare mare. Uneori, pentru mărirea stabilității în funcție de temperatură și de dispesia de fabricație a tranzistoarelor,

o parte a rezistenței de emitor — de valoare mică în raport cu rezistența internă a sursei de program — nu se decouplează. Aceasta contribuie și la mărirea impedanței de intrare a

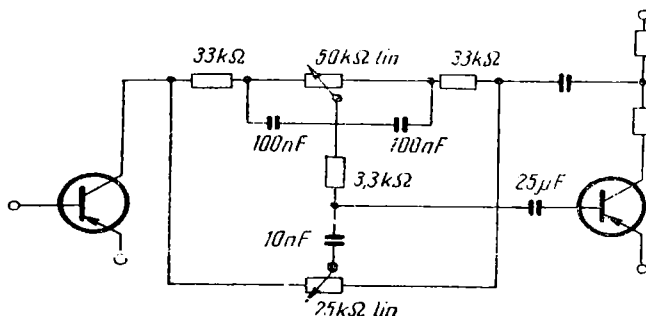


Fig.II.21 Etaj corector de tonalitate Baxandall realizat cu tranzistoare.

etajului, necesară în cazul utilizării unei surse de modulație cu rezistență mare (doză piezoelectrică, de exemplu).

În ceea ce privește schemele etajelor corectoare de tonalitate, acestea sunt asemănătoare celor cu tuburi electronice. Pentru reglajul de tonalitate se folosesc în mod obișnuit cele două tipuri de circuite descrise într-un paragraf anterior.

În fig. II.21 este reprezentată schema unui circuit de tonalitate Baxandall.

Din cauza impedanțelor mici de intrare și mari de ieșire, pe care le prezintă schemele folosind tranzistoare în montaj cu emitorul comun (montajul folosit în mod curent), performanțele circuitului menționat diferă de cele realizate folosind scheme cu tuburi electronice. Astfel, plaja de reglare la frecvențe joase și înalte are limitele — 14 dB și + 12 dB la 50 Hz și respectiv 10 kHz, în cazul schemiei din figura de mai sus.

Celelalte secțiuni ale preamplificatorului se realizează în mod similar celor folosite în preamplificatoarele cu tuburi electronice, datorită stabilității, simplității și posibilității de adaptare a acestora în schemele cu tranzistoare. Performanțele obținute sunt de același ordin de mărime.

O dificultate apare în legătură cu reglajul de volum, din cauza impedanțelor de intrare de valoare mică pe care le prezintă tranzistoarele în montaj cu emitorul comun. O soluție constă în introducerea potențiometrelor de volum în circuitul de colector sau între bază și emitor etc.

Capitolul III

AMPLIFICATOARE DE PUTERE DE ÎNALȚĂ FIDELITATE

1. ELEMENTE COMPO朱ENTE

Amplificatoarele de putere destinate ansamblurilor moderne de reproducere sonoră se compun, în mod obișnuit, din următoarele etaje:

— etajul de intrare, care amplifică în tensiune semnalul furnizat de preamplificator, servind totodată pentru aplicarea reacției negative globale; uneori, în funcție de schema amplificatorului de putere, etajul de intrare funcționează și ca inversor de fază;

— etajul inversor de fază sau defazor, care transformă semnalul de la intrare în două tensiuni egale și în opoziție de fază, necesare pentru excitarea tuburilor etajului final;

— etajul final, care furnizează puterea de audiofrecvență difuzorului, prin intermediul transformatorului de ieșire.

În afara de aceste etaje, amplificatorul de putere mai conține uneori și alte elemente, cum sint:

— etajul prefinal, care amplifică în tensiune semnalele furnizate de etajul inversor de fază pînă la valoarea necesară funcționării normale a etajului final;

— filtre separatoare de canale, conectate la ieșirea etajului final sau la intrarea amplificatorului de putere, în scopul reproducerii corecte a întregii game de frecvență.

2. ETAJUL DE INTRARE

La majoritatea amplificatoarelor, acesta este un etaj de amplificare *RC* obișnuit, realizat cu triodă sau pentodă.

În unele cazuri, etajul de intrare este realizat cu o dublă triodă conectată în montaj simetric, în scopul reducerii zgomotului, cum se vede în fig. III.1.

Din punctul de vedere al tensiunii alternative utile, tubul T_2 este pasiv; el nu este atacat cu semnal și nu furnizează tensiune în circuitul anodic. Din cauza simetriei montajului,

zgomotul tuburilor se anulează. În curent continuu cele două tuburi au același punct de funcționare.

Dimensionarea elementelor etajului se face în ambele cazuri ca la orice etaj de amplificare obișnuit.

Etajul de intrare funcționează și ca inversor de fază, în special în cazul în care acesta din urmă este de tipul defazorului, utilizînd o fracțiune din tensiunea de reacție negativă globală a amplificatorului, sau de tip parafază.

3. ETAJUL INVERSOR DE FAZĂ

Cerințele impuse unui etaj inversor de fază sunt următoarele:

- să furnizeze tensiuni în opozitie de fază și egale ca mărime;

- să realizeze condiția de amplitudine și de fază pentru tensiunile de ieșire, într-o bandă foarte largă de frecvențe;

- să prezinte o mare simetrie în circuitele de ieșire, ceea ce duce la eliminarea unor defecte de filtraj și reduce riscurile de oscilație parazită la frecvențe foarte joase;

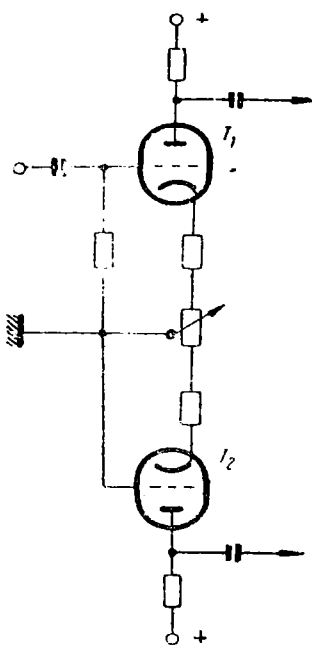
Fig.III.1 Etaj de intrare simetric utilizat în amplificatoare de putere.

sau zgomote parazite și rezistențe foarte joase;

- să furnizeze tensiuni continue, egale, măsurate în circuitul de ieșire al tuburilor inversorului de fază, ceea ce permite eventuala folosire a unui cuplaj direct cu etajul care urmează;

- să realizeze o amplificare mare, fapt care conduce la obținerea puterii nominale cu un număr redus de etaje în amplificatorul de putere, ceea ce permite realizarea unei caracteristici de fază corespunzătoare și deci posibilitatea folosirii unei reacții negative globale puternice;

- să furnizeze tensiuni de ieșire avînd același factor de distorsiune neliniară și de valoare redusă; în mod obișnuit



se urmărește micșorarea în cît mai mare măsură a factorilor de distorsiune neliniară, egalitatea acestora fiind greu de realizat;

— să aibă o funcționare stabilă și să se regleze relativ simplu.

Dintre acestea, primele două caracteristici sunt determinante pentru calitatea etajului inversor de fază.

Trebuie să se precizeze că schemele de inversoare de fază existente nu îndeplinesc cerințele menționate în totalitatea lor. Nici chiar inversoarele de fază utilizate în amplificatoarele de înaltă fidelitate nu realizează acest lucru, totuși, datorită unor scheme deosebite, ele se apropiie în mare măsură de caracteristicile amintite.

În amplificatoarele de putere de înaltă fidelitate se utilizează etaje inversoare de fază de o mare varietate. Printre acestea pot fi menționate: catodina, bicatodul, parafaza, inversorul cu cuplaj catodic, defazorul anodic, inversorul utilizând o fracțiune a tensiunii de reacție negativă etc.

În cele ce urmează, vor fi prezentate, pe scurt, principalele tipuri de etaje inversoare de fază menționate.

a. Inversorul de fază catodină

Schema inversorului de fază catodină, cunoscut și sub numele de inversor de fază cu sarcina repartizată, este reprezentată în fig. III.2.

Tensiunea de intrare aplicată între grilă și masă provoacă apariția unui curent care circulă prin rezistențele R_g și R_c de valoare egală, producând pe acestea căderi de tensiune egale și în opozиie de fază. Tensiunile de ieșire apar între bornele 1, 2 și masă.

Din cauza rezistențelor de ieșire inegale, în circuitul anodic și catodic, precum și a capacităților diferite, catodina prezintă o accentuată asimetrie la frecvențe înalte. Pentru înălțarea acestui neajuns, uneori se utilizează o catodină perfecționată, de tipul celei reprezentate în fig. III.3.

Perfecționarea constă în realizarea unor impedanțe de ieșire egale, prin introducerea în serie cu grila tubului final, cuplat la catodul catodinei, a unei rezistențe potrivit aleasă ca mărime. Soluția este totuși greoaie și se utilizează relativ rar în amplificatoarele de înaltă fidelitate.

Pentru dimensionarea elementelor schemei și stabilirea regimului de funcționare a tubului, se procedează ca la orice

etaj de amplificare obișnuit. Valoarea rezistențelor R_a și R_c depinde de tensiunea filament-catod admisă în cazul tubului folosit și de amplificarea ce trebuie realizată. Pentru o amplificare apropiată de unitate este necesară o valoare cît mai mare

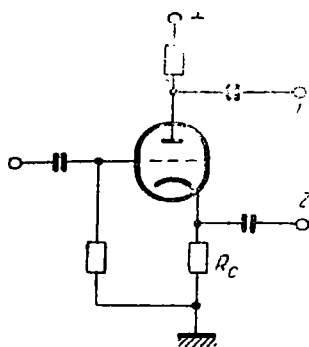


Fig. III.2. Inversor de fază catodină.

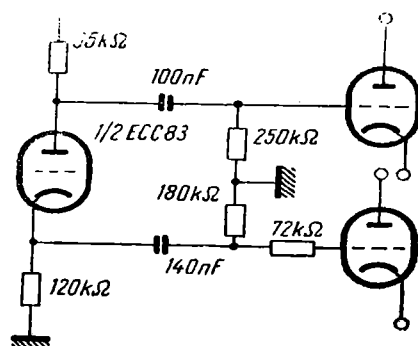


Fig. III.3. Inversor de fază catodină cu rezistențe de ieșire egale.

pentru R_a și R_c , cum rezultă din relația $A = \frac{R_1}{R_i + R_1 + (\mu + 1) R_s}$, unde $R_1 = R_2 = \frac{R_a \cdot R_g}{R_a + R_g}$, R_g fiind rezistența din grila tubului următor.

Cu cît R_a și R_c sînt mai mari însă, cu atît diferă mai mult cele două rezistențe de ieșire, ale căror expresii sînt următoarele: $r_a = R_1$ în circuitul anodic și $r_c = \frac{R_1 + R_i}{\mu + 1}$ în circuitul catodic. În mod obișnuit, R_a și R_c se aleg de ordinul zecilor de kilohmi.

În ceea ce privește tubul folosit, se recomandă utilizarea unei triode cu coeficient mare de amplificare. Deoarece de multe ori se preferă o tensiune de lucru filament-catod de valoare redusă (în scopul evitării efectului supărător al brumului), este de dorit ca tubul folosit să aibă curent mic, pentru a realiza acest deziderat, chiar în condițiile folosirii unei rezistențe mari în catod. Tubul cel mai des folosit este dubla triodă ECC83 (6H2Π) care satisface ambele condiții menționate. În afara acestui tub se folosesc și altele, printre care: ECC81, EC92, 6H1Π.

În fig. III.4. este prezentată schema unui catodine realizată cu tubul ECC83, iar în fig. III.5—variația distorsiunii armonice, în funcție de tensiunea de intrare aplicată tubului.

În tabela III.1 sînt prezentate date ale aceleleași scheme, realizată cu tuburile menționate.

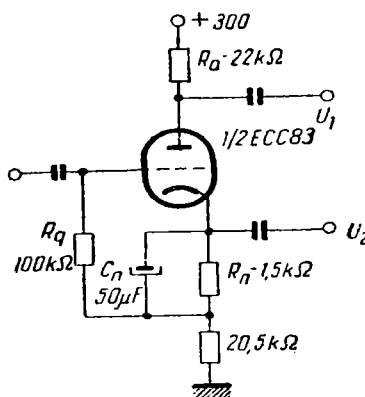


Fig. III.4. Schemă cu valori ale inversorului de fază catodină.

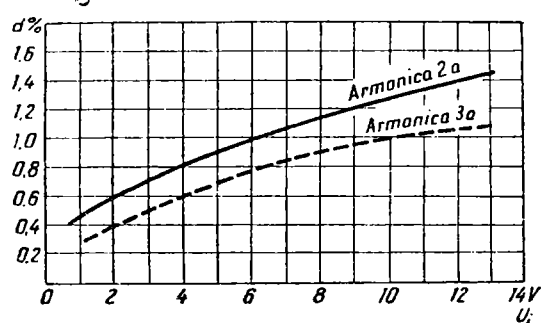


Fig. III.5. Variația cu tensiunea de intrare a distorsiunii armonice a schemei din fig. III.4.

Tabela III.1

	ECC81	EC92	6H2П	6H1П
Rezistență anodică și catodică $R_a = R_c$, kΩ	80	80	100	10
Rezistență de negativare R_n , kΩ	3	3	3	2
Rezistență de grilă R_g , MΩ	1	1	1	0,5
Tensiunile de ieșire U'_1 , U'_2 pentru 0,5% distorsiune armonică	29	26	29	
Amplificarea	0,95	0,95	0,95	0,95
Tensiunea bateriei anodice, V	250	250	250	290

În ceea ce privește rezistența de grilă, aceasta se alege de valoare cât mai mare (în limitele admise pentru tubul respectiv), în scopul păstrării simetriei tensiunilor de ieșire la toate frecvențele.

b. Inversorul de fază bicatod

Bicatodul este o formă perfecționată a inversorului de fază catodină. El se compune dintr-o catodină obișnuită și

un repetor catodic: schema de principiu a inversorului bicatod este prezentată în fig. III.6.

Tensiunea aplicată la grila tubului T_1 se regăsește cu aceeași fază în catedul acesta și în antifază în anod.

Tensiunea din anod se aplică la grila tubului T_2 și se regăsește în fază în catedul acesta. Cele două tensiuni egale și în opozitie de fază se obțin în catozii celor două tuburi. Se remarcă simetria perfectă a celor două ieșiri, ceea ce face

ca acest defazor să aibă performanțe superioare.

La alegerea tuburilor și dimensionarea elementelor schemei se procedează în mod asemănător ca în cazul catodinei. O problemă specială este cea relativă la repartizarea sarcinii totale R în anod și cated.

Se demonstrează ușor că pentru a obține tensiuni de ieșire egale ($U_1 = U_2$), trebuie ca n să satisfacă relația: $n = \frac{A - 1}{2A}$, unde $A = \frac{R}{R_i + R} \mu$. R fiind rezistența totală de sarcină.

Folosind un tub cu μ mare, se poate considera $n = 0,5$, fără mare eroare; în acest caz, cele două rezistențe din anod și cated sunt egale.

Considerind tubul ECC83 cu $R = 100 \text{ k}\Omega$, $R_i = 80 \text{ k}\Omega$ și $\mu = 100$, rezultă $A = 60$ și $n = 0,49$; aceasta înseamnă

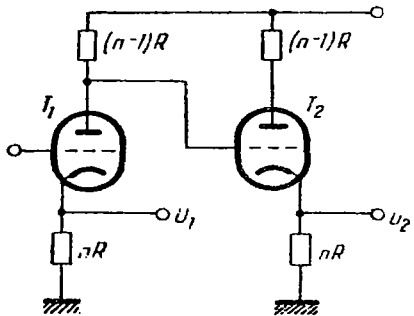


Fig. III.6. Inversor de fază bicatod.

ca acest defazor să aibă performanțe superioare.

La alegerea tuburilor și dimensionarea elementelor schemei se procedează în mod asemănător ca în cazul catodinei. O problemă specială este cea relativă la repartizarea sarcinii totale R în anod și cated.

Se demonstrează ușor că pentru a obține tensiuni de ieșire egale ($U_1 = U_2$), trebuie ca n să satisfacă relația: $n = \frac{A - 1}{2A}$, unde $A = \frac{R}{R_i + R} \mu$. R fiind rezistența totală de sarcină.

Folosind un tub cu μ mare, se poate considera $n = 0,5$, fără mare eroare; în acest caz, cele două rezistențe din anod și cated sunt egale.

Considerind tubul ECC83 cu $R = 100 \text{ k}\Omega$, $R_i = 80 \text{ k}\Omega$ și $\mu = 100$, rezultă $A = 60$ și $n = 0,49$; aceasta înseamnă

că $R_a = 51\text{ k}\Omega$, iar $R_c = 49\text{ k}\Omega$, deci aproximativ de valoare egală. Inegalitatea dintre acestea crește, folosind, de exemplu, tubul ECC82, care are μ mic. În acest caz, pentru $A = 14$ rezultă $n = 0,46$ și în consecință $R_a = 54\text{ k}\Omega$, iar $R_c = 46\text{ k}\Omega$.

c. Inversorul de fază cu cuplaj catodic

Acesta este unul din montajele cel mai des întâlnite în schemele amplificatoarelor de înaltă fidelitate. În fig. III.7 este prezentată schema acestuia.

În fig. III.8 este prezentată schema unei variante foarte mult folosită în cazul cuplajului direct al tubului T_1 cu etajul precedent.

Tensiunea utilă care se aplică la grila tubului T_1 provoacă apariția unei tensiuni în fază U_c , la bornele rezistenței R_c comune. Deoarece tubul T_2 este conectat cu grila la masă, tensiunea de excitație a acestuia este egală cu U_c și de polaritate contrară. În acest fel, în cei doi anodi rezultă tensiuni în opozitie de fază U_1 și U_2 .

Montajul funcționează cu un dezechilibru sistematic, fără de care nu ar fi tensiune alternativă pe catodi și deci tubul

T_2 nu ar fi excitat. Pentru funcționarea normală a schemei trebuie ca, curentul anodic al tubului T_1 să fie mai mare decât acela al tubului T_2 . Pentru a realiza egalitatea riguroasă

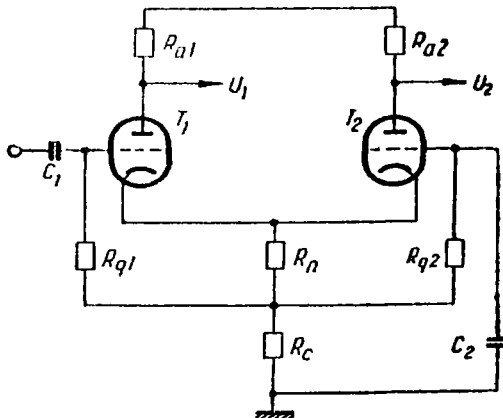


Fig. III.7. Inversor de fază cu cuplaj catodic.

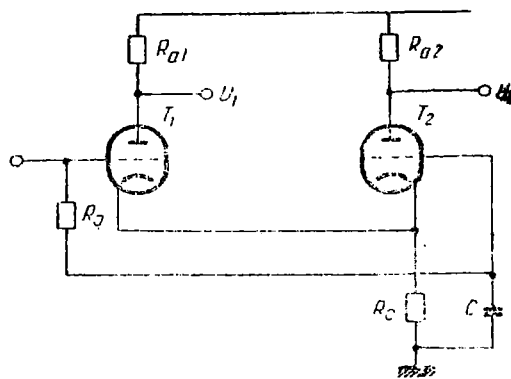


Fig. III.8. Varianta a inversorului de fază cu cuplaj catodic.

a tensiunilor de ieșire, rezistența anodică a tubului T_2 se alege uneori mai mare decât cea a tubului T_1 . Această soluție prezintă o serie de dezavantaje, printre care inegalitatea impedanțelor de ieșire etc. Uneori, egalitatea tensiunilor de ieșire se realizează inclusiv o rezistență în serie cu ieșirea tubului T_1 ; pentru a nu afecta egalitatea fazelor, se șunteează rezistența adăugată cu un trimer, a cărui valoare se determină experimental. În mod obișnuit se adoptă valori egale pentru rezistențele anodice, inegalitatea tensiunilor de ieșire reducindu-se în măsură suficientă prin folosirea unei rezistențe catodice de valoare mare.

Problema principală în proiectarea acestor montaje constă în alegerea unei valori corespunzătoare pentru rezistență din catod. Se demonstrează ușor că valoarea acesteia este dată de relația $R_c = \frac{(R_i + R_1)}{(1 - \alpha)(1 + \mu)}$, în care $\alpha = \frac{U_1}{U_2}$ și

$R_1 = \frac{R_a \cdot R_g}{R_a + R_g}$. Pentru o egalitate perfectă a tensiunilor de ieșire ($\alpha = 1$) rezultă o valoare infinit de mare pentru rezistența catodică; acest lucru fiind imposibil de realizat în practică, se impune o valoare pentru α cît mai apropiată de unitate, pentru care rezultă rezistență catodică necesară. Valoarea acesteia este limitată de tensiunea admisibilă filament-catod (U_{fc}), care variază în general între 100 și 180 V, în funcție de tubul folosit. Alegînd valoarea lui R_c , convenabilă din punctul de vedere al egalității tensiunilor de ieșire, se verifică dacă nu se depășește tensiunea U_{fc} , cu ajutorul relației $U_c = 2 R_c I_{a0} < U_{fc}$, în care I_{a0} este curentul continuu din punctul de funcționare fixat pentru tuburile T_1 și T_2 .

În condițiile unui dezechilibru neînsemnat, amplificarea celor două tuburi este egală și are expresia $A = \frac{R_1 \mu}{2(R_i + R_1)}$.

Aceasta servește pentru dimensionarea rezistențelor anodice, care în mod obișnuit au valori de ordinul zecilor de kilohmi.

Valorile lui R_g și C se aleg cît mai mari, pentru a micșora astfel defazajul între tensiunile de ieșire în domeniul frecvențelor joase. În mod obișnuit se alege o valoare mai mare decât 0,25 s pentru produsul CR_g .

Tuburile recomandabile sunt cele cu μ mare și curent mic. Foarte bine se comportă într-un asemenea montaj dubla triodă ECC83 (6H2Π). În tabela III.2 sunt prezentate datele schemelor reprezentate în fig. III.6, a și III.6,b.

Tabelă III.2

	ECC83	6H2П	6H1П
Rezistențele anodice $R_{a1} = R_{a2}$, kΩ	100	150	100
Rezistențele de grilă $R_{g1} = R_{g2}$, kΩ	100	$R_{g1} = 1\ 000$	$R_{g1} = 1\ 000$
Rezistența de negativare R_n , kΩ	0,75	0	0
Rezistența catodică comună R_c , kΩ	10	82	82
Condensatoarele de cuplaj $C_1 = C_2 \mu F$		0,05	0,1
Tensiunile de ieșire $U_1 = U_2$, V, pentru distorsiune 0,5%	20	10	11
Amplificarea	25		
Tensiunea anodică, V	300	350	280

În fig. III.9 sînt reprezentate curbele de variație a tensiunilor de ieșire și distorsiunii armonice (în funcție de tensiunea de intrare), corespunzător montajului din fig. III.7.

Un alt montaj de inversor de fază cu cuplaj catodic utilizat în amplificatoarele de înaltă fidelitate este cel reprezentat în fig. III.10.

Spre deosebire de montajul precedent, acesta are avantajul că grila tubului T_2 este conectată la masă direct. Echilibrul montajului se apreciază cu ajutorul relației $\alpha = \frac{a - b}{a + b}$, în care:

$$a = R_i + R_a + (\mu + 1)R_g; \quad b = R_i + R_a; \quad R_a = R_{a1} = R_{a2}; \\ R_i = R_{i1} = R_{i2}; \quad \mu = \mu_1 = \mu_2.$$

Folosind tubul ECC83 cu $R_a = 100$ kΩ, $R_g = 2$ kΩ, $\mu = 100$, $R_i = 60$ kΩ se obține $\alpha = 0,9972$, adică un dezechilibru de 0,88%, ceea ce este foarte puțin.

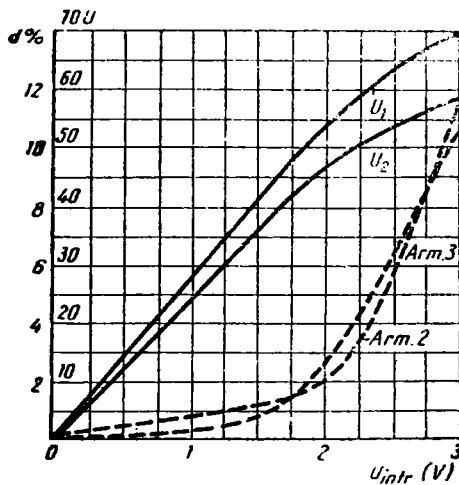


Fig. III.9. Variația cu tensunea de intrare a distorsiunii armonice și a tensiunilor de ieșire pentru schema din fig. III.7.

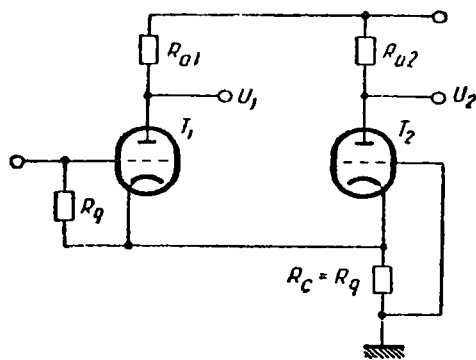


Fig. III.10. Inversor de fază cu cuplaj catodic, fără condensator de grilă.

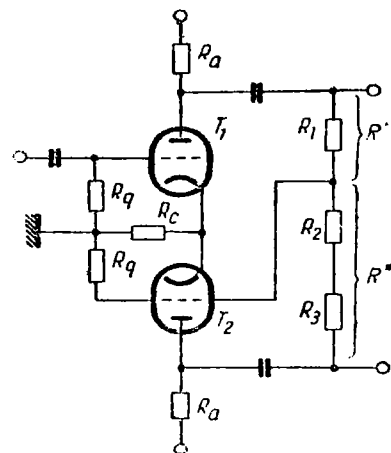


Fig. III.11. Inversor de fază parafază.

d. Inversorul parafază

Realizat în multe variante, acest tip de inversor este folosit adesea în amplificatoarele de înaltă fidelitate. Una dintre schemele întâlnite uneori este cea reprezentată în fig. III.11.

Tensiunea alternativă utilă se aplică la grila tubului T_1 ; tensiunea care excita tubul T_2 se obține pe rezistența R_2 cu ajutorul divizorului constituit din rezistențele R_1 , R_2 și R_3 . Tensiunile de ieșire se obțin în anozii celor două tuburi.

Schela prezintă proprietatea de autoechilibrare; la o variație a unei tensiuni de ieșire provocată de o cauză oarecare, curentul mediu prin rezistența R_2 variază în aşa fel, încit echilibrul se restabilește. Uneori rezistența R_2 lipsește, altori este înlocuită printr-un potențiometru cu care se reglează valoarea rezistențelor R'' și R' necesare pentru obținerea echilibrului. Schela în care R_1 , R_2 , R_3 sunt mult mai mari decât R_a și R_i se întâlnește în literatură sub numele de defazor anodic. În unele variante, jonctiunea dintre R_2 și R_3 se leagă la masă.

Determinarea elementelor R_1 , R_2 și R_3 se face în aşa fel încât cele două tensiuni de ieșire să fie egale. Pentru echilibrarea acestora trebuie îndeplinită condiția:

$$R' = R'' \left(1 + \frac{2}{A - 1} \right), \text{ unde } R' = R_1, \text{ iar } R'' = R_2 + R_3.$$

Între elementele menționate există și alte relații, care pot fi folosite în dimensionare și anume: $R_1 + R_2 = R_3$ și $\frac{R_3}{R_1} = \frac{1}{A_1}$.

Presupunând $A_2 = 50$, $R'' = 1M\Omega$, rezultă: $R' = 960 k\Omega$, $R_3 = 980 k\Omega$, $R_2 = 20 k\Omega$. Amplificările celor două etaje sunt egale și sunt date de relația $A_1 = A_2 = \frac{\mu R_a}{R_i + R_a}$.

Tuburile folosite sunt pentode sau triode în funcție de valoarea necesară a amplificării; ca pentode se utilizează EF86, EF40. Triodele utilizate în mod curent sunt ECC83, ECC82, ECC81, 6H2Π.

În defazorul anodic se folosește, de obicei, tubul ECC82 care are rezistență internă mică și permite folosirea unor rezistențe anodice de asemenea de valoare redusă.

În schela III.3 sunt prezentate date ale unor inversoare parafază.

Tabela III.3

	ECC83	ECC82	ECC81	ECC83
Rezistențele anodice R_a , kΩ	100	200	100	220
Rezistențele de grilă $R_{g1} = R_{g2}$, MΩ	0,5	1	1	1
Rezistența catodică R_c , kΩ	0,75	0,5	1	0,8
Rezistența R_1 , MΩ	0,47	1,02	1,03	1
Rezistența R_2 , kΩ	100	~14,5	~21	0
Rezistența R_s , kΩ	470	~985	~979	1 000
Condensatoarele $C_1 = C_2$, μF	0,1	20 nF	20 nF	47 nF
Tensiunile de ieșire pentru 0,5% distorsion armonică, V		11,5	5,3	9
Amplificarea	40	68	46	
Tensiunea anodică, V	300	250	250	350

e. Inversor de fază utilizând o fracțiune din tensiunea de reacție negativă

Acesta este un inversor de fază mult folosit în ultima vreme în amplificatoarele de înaltă fidelitate, care furnizează tensiuni de ieșire în antifază, de valoare riguros egală.

În fig. III.12 este prezentată schema unui asemenea inversor de fază.

Tensiunea utilă se aplică la grila tubului T_1 . În absența reacției, tubul T_2 este excitat de tensiunea care ia naștere

pe rezistență r provocată de tensiunea U_i . Cum tensiunile care excita tuburile T_1 și T_2 sunt inegale, la fel vor fi și tensiunile de ieșire ale acestora. Prin folosirea reacției, tensiunea aplicată între grila și catodul tubului T_1 ($U_i - U_c$), se micșoară iar tensiunea care excita tubul T_2 (U'_c) crește. Din cele spuse se intrevă posibilitatea obținerii unor tensiuni de excitație egale pentru cele două tuburi, aducind în catodul tubului lui T_1 , prin reacție, o tensiune de valoare potrivită. Dacă tuburile sunt identice, iar celelalte elemente ale schemei egale, tensiunile de ieșire au valori riguros egale.

Egalitatea tensiunilor de excitație se obține pentru o anumită valoare a rezistenței r .

Dimensionarea rezistențelor r și R_c se face în funcție de negativarea stabilită pentru tuburi, corespunzător punctului de funcționare ales și necesitatea asigurării egalității tensiunilor de excitație a celor două tuburi. Ultima condiție conduce la relația: $r = \frac{R}{2A} - \frac{R_c}{2}$, valabilă cînd

$A \gg 1$ și $r + R_c \ll R$, unde R este rezistența din circuitul de reacție negativă, iar A — amplificarea în tensiune a întregului amplificator. Pentru $A = 20$, $R = 12 \text{ k } \Omega$, $R_c = 500 \Omega$ rezultă $r = 50 \Omega$.

Presupunind că se cunoaște mărimea reacției, exprimată în decibeli, rezistența r se poate determina în funcție de aceasta folosind o relație simplă, dar aproximativă: $r = \frac{R_c}{a - 2}$, valabilă pentru $a \gg 1$, unde $a = \frac{\text{amplificarea fără reacție}}{\text{amplificarea cu reacție}}$.

Valoarea obținută este orientativă, urmînd ca mărimea exactă a lui r să se ajusteze pe cale experimentală.

Celelalte elemente ale etajului se determină în mod obișnuit.

Un alt montaj care utilizează tensiunea de reacție pentru a obține tensiuni de ieșire egale este cel reprezentat în fig. III.13.

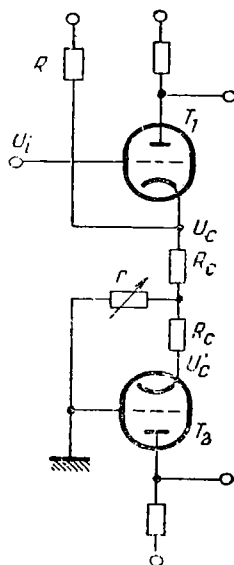


Fig. III.12. Inversor de fază utilizînd o fracțiune din tensiunea de reacție negativă.

Tensiunea de intrare se aplică simultan la grila tubului T_1 și în catodul tubului T_2 . Reacția negativă se aplică la grila tubului lui T_2 prin intermediul lui R și r , iar în catodul lui T_1 prin intermediul rezistențelor R și R_{c1} . Alegând pentru rezistența r valoarea potrivită, tensiunile de excitație a celor două tuburi sunt egale și ca urmare și tensiunile de ieșire.

Rezistența r are o valoare optimă din punctul de vedere al distorsiunii armonice a amplificatorului, care corespunde echilibrului optim de funcționare.

Problema specială care se pune la dimensionarea acestui montaj este aceea a determinării rezistenței r . Se poate demonstra că legătura dintre aceasta și celelalte elemente ale schemelui, corespunzătoare echilibrului optim, este dată de expresia:

$$r = \frac{KR + 2AR_c}{A(K + 1)},$$

unde

$$K = \frac{R_c}{R_i + R_a + \mu R_c},$$

Fig. III.13. Inversor de fază folosind tensiunea de reacție negativă.

iar A este amplificarea în tensiune a amplificatorului în care funcționează defazorul. Pentru $R = R_a = 200 \text{ k}\Omega$, $R_i = 10 \text{ k}\Omega$, $R_c = 2\text{k}\Omega$, $A = 20$ și $\mu = 50$, rezultă $r = 5,45 \text{ k}\Omega$.

f. Comparație între diferite tipuri de inversoare de fază utilizate în amplificatoarele de înaltă fidelitate

Pentru a ușura compararea între diferitele tipuri de inversoare de fază, în tabela III.4 sînt prezentate principalele caracteristici ale montajelor descrise anterior.

Tabela III.4

Tipul	Avantaje	Dezavantaje
Catodină fig.III.2	<ul style="list-style-type: none"> — Tensiuni egale în antifază depinzînd de egalitatea $R_a = R_c$; — Distorsiuni neliniare foarte mici din cauza reacției negative puternice (cele mai mici) — Simplitate, ușurință de reglaj, stabilitate în funcționare — Schimbarea parametrilor tubului influențează la fel cele două ieșiri 	<ul style="list-style-type: none"> — Amplificare subunitară — Inegalitatea impedanțelor de ieșire, deci asimetria tensiunilor de ieșire în special la frecvențe înalte — Inegalitatea tensiunilor continue din circuitele de ieșire — Asimetria la frecvențe înalte, provocată de capacitatea filament-catod
Bicatod fig.III.6	<ul style="list-style-type: none"> — Tensiuni de ieșire egale și în antifază depinzînd de valoarea lui n — Impedanțe de ieșire egale și de valoare scăzută — Simetrie perfectă într-o bandă largă de frecvențe — Distorziune neliniară redusă (a la catodină) — Tensiuni continue de ieșire egală și de valoare mică 	<ul style="list-style-type: none"> — Amplificare subunitară
Inversor de fază cu cuplaj ca- todic fig. III.7	<ul style="list-style-type: none"> — Impedanțe de ieșire egale pentru $R_{a1} = R_{a2}$ — Tensiuni continue egale — Simetrie perfectă în circuitele de ieșire, dacă $R_{a1} = R_{a2}$ — Distorsiuni neliniare mici datorită reacției din catod — Proprietate de autoechilibrare, dacă R_c este foarte mare, schimbarea parametrilor tubului T_a fiind puțin importantă 	<ul style="list-style-type: none"> — Inegalitatea sistematică a tensiunilor de ieșire (pentru R_c mare aceasta este neglijabilă) — Necesitatea unei tensiuni anodice mari (din cauza lui R_c mare) — Prezența unei rezistențe mari în catod creează o tensiune mare între filament și catod și, de asemenea, riscul unui țârm puternic la întârnirea tuburilor

Tabela III.4 (continuare)

Tipul	Avantaje	Desavantaje
fig.III.10	<ul style="list-style-type: none"> — Amplificare mare — Are toate avantajele și dezavantajele menționate în cazul inversorului de fază din fig.III.7 — Asigură funcționarea independentă de frecvență într-o gamă foarte largă (lipsește C_g) 	<ul style="list-style-type: none"> — Manifestarea unor tendințe de acroșaj ca un multivibrator — Impedanțe de ieșire de valoare mare — Asimetrie la frecvențe înalte din cauza capacitatii filament-catod — Necesită o polarizare de valoare critică — Impedanță mică de intrare
Parafază fig.III.11	<ul style="list-style-type: none"> — Tensiuni de ieșire riguroș egale — Impedanțe de ieșire egale — Simetrie în circuitele de ieșire — Amplificare mare — Tendință de autoechilibrare (deci independență de tuburi) 	<ul style="list-style-type: none"> — Asimetrie la frecvențe joase și înalte — Impedanțe de ieșire de valoare mare
Inversor de fază folosind o parte din ten- siunea de reacție negativă fig.III.12	<ul style="list-style-type: none"> — Tensiuni de ieșire riguroș egale într-o bandă largă de frecvență — Impedanțe de ieșire egale — Tensiuni continue egale — Simetrie în circuitele de ieșire — Amplificare mare — Distorsiuni mici, datorită principiului defuncționare și reacției din catod — Lucrează cu tensiuni anodice mici 	<ul style="list-style-type: none"> — Impedanță de ieșire mare

Tabela III.4 (continuare)

Tipul	Avantaje	Desavantaje
fig.III.13	— Aceleași avantaje ca în cazul inversorului din fig. III.12	— Impedanță mică de intrare: aceasta este dată practic de R_{c2} . Înțit este necesar un etaj repetor catodic la intrare

4. ETAJUL PREFINAL

Utilizarea etajului presfinal este necesară în cazul folosirii în amplificator a unui inversor de fază cu amplificare redusă (catodină, bicatod etc.) și de asemenea în cazul conectării sarcinii în circuitul catodic al tuburilor finale.

Etajul presfinal se caracterizează, în general, printr-o amplificare mare, simetrie perfectă în gama frecvențelor transmise, distorsionă neliniară de valoare redusă.

În amplificatoarele de înaltă fidelitate se folosesc în mod obișnuit două tipuri de scheme pentru realizarea etajului presfinal, și anume: montajul diferențial și montajul utilizând două etaje de amplificare obișnuite conectate la cele două ieșiri ale inversorului de fază.

În cazul etajelor finale cu ieșire pe catod se utilizează uneori un etaj presfinal de tip special folosind o legătură de reacție pozitivă.

Foarte des întâlnit este montajul diferențial reprezentat în fig. III.14.

Tensiunile în antifază furnizate de defazor se aplică la grilele tuburilor T_1 și T_2 și apar amplificate în anozii acestora. Rezistența R_c servește pentru negativarea triodelor, iar R pentru reducerea dezechilibrului accidental al celor două tuburi. Uneori, rezistența R lipsește. De asemenea, în majoritatea cazurilor, lipsesc și condensatoarele C_1 și C_2 , cuplajul etajului presfinal cu inversorul de fază făcîndu-se direct. În această situație, pentru a evita efectele variației curentilor defazorului asupra simetriei tensiunilor de la ieșirea etajului presfinal, se folosește polarizarea separată a tuburilor etajului presfinal (fig. III.15).

Rezistențele R_c și R se aleg în funcție de polarizarea impusă tuburilor. Rezistența R are o valoare de ordinul zecilor de kiloohmi, pentru a asigura un mare grad de stabilitate a schemei. Capacitățile din catod se aleg de valoare mare,

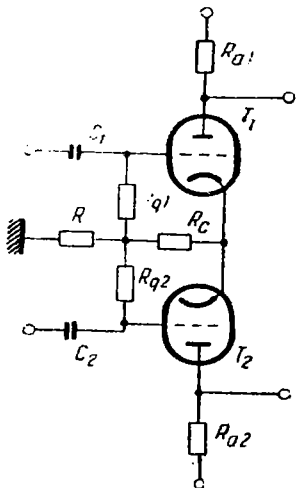


Fig. III.14. Etaj prefinal realizat în montaj diferențial.

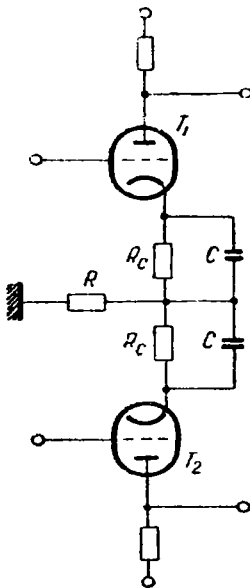


Fig. III.15. Variantă a etajului prefinal realizat în montaj diferențial.

pentru a asigura un cuplaj bun al catozilor în curent alternativ pînă la frecvențe joase. Rezistențele anodice se aleg în funcție de amplificarea impusă etajului, care se determină folosind relația $A = \frac{\mu R_a}{R_i + R_a}$. În tabela III.5 sînt prezentate date ale unor etaje prefinale.

Celălalt tip de montaj menționat este reprezentat în fig. III.16. După cum se vede, este vorba de două etaje de amplificare obișnuite.

Un montaj special, folosit în amplificatoarele fără transformator de ieșire și în unele tipuri de amplificatoare cu sarcină catodică, este cel reprezentat principal în fig. III.17.

Utilizarea acestui montaj este justificată de faptul că el furnizează o tensiune alternativă importantă pentru exci-

tarea etajului final de tip repetor catodic, căruia îi este asociat întotdeauna, fără a recurge la tensiuni de polarizare înalte și la rezistențe de sarcină deosebit de mari ca valcare, cum se obișnuieste adesea în etajul prefinal.

Obținerea rezultatelor menționate se explică prin funcționarea în condiții speciale a tubului prefinal, provocată de întoarcerea tensiunii alternative din catodul tubului final în

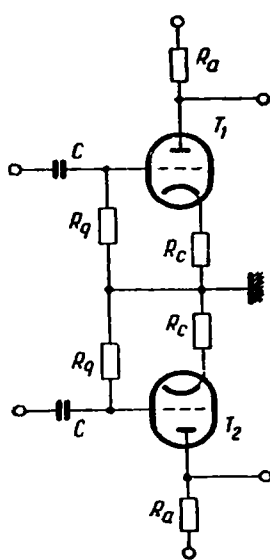


Fig.III.16. Etaj prefinal folosind două etaje de amplificare obișnuite.

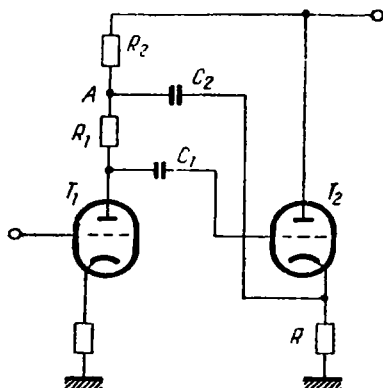


Fig.III.17. Etaj prefinal de tip special, folosind reacția pozitivă.

anodul tubului prefinal. Astfel crește foarte mult rezistența aparentă de sarcină a tubului prefinal în comparație cu rezistența fizică introdusă în circuit, ceea ce are ca urmare faptul că amplificarea acestuia tinde spre valoarea coeficientului de amplificare. De asemenea, tensiunea de alimentare a etajului prefinal, considerată în punctul A, este constituită din superpunerea tensiunii continue produsă de sursa anodică și a tensiunii alternative furnizată de etajul final, ceea ce face posibilă obținerea unei tensiuni alternative în anodul tubului prefinal de amplitudine superioară tensiunii continue de alimentare.

În ceea ce privește elementele schemei, acestea se dimensionează în funcție de mărimea tensiunii alternative necesară la ieșire. Relația dintre tensiunea de intrare și ieșire ale etajului prefinal, adică amplificarea acestuia, este urmă-

toarea: $\frac{U_{ies}}{U_{intr}} = A = \frac{\mu}{1 + R_i/r}$, în care R_i și μ sunt rezistența internă a tubului prefinal, respectiv coeficientul de amplificare al acestuia în punctul de funcționare stabilit inițial, iar r este rezistența de sarcină aparentă a tubului; mărimea lui r depinde de rezistența de sarcină R și de amplificarea etajului final, $a: r = \frac{R_i}{1 - a}$. Alegind un punct de funcționare, deci pe R_i și μ , rezultă pentru un anumit A , valoarea necesară a lui r ; cunoscând amplificarea repetorului catodic, rezultă valoarea rezistenței de sarcină R_1 . Condensatorul C_2 are o capacitate foarte mare, pentru a nu influența funcționarea schemei pînă la frecvențele cele mai joase. În mod obișnuit, valoarea condensatorului C_2 se alege de ordinul microfarazilor și zecilor de microfarazi. Rezistența R_2 , folosită pentru a nu se scurtcircuitea tensiunea de ieșire a repetorului catodic prin condensatorul C_2 , se alege pe baza unui compromis; aceasta trebuie să fie de valoare mică, pentru a nu reduce tensiunea de alimentare a etajului prefinal, dar totodată suficient de mare pentru a nu șunta rezistența de sarcină a etajului final. De obicei se alege de 5—10 ori mai mare decît rezistența de sarcină a repetorului catodic.

5. ETAJUL FINAL

Etajul final al amplificatoarelor de putere de înaltă fidelitate este realizat în montaj contratimp după scheme obișnuite, dar mai ales după scheme speciale, care contribuie la obținerea unor performanțe deosebite. Printre acestea din urmă se numără: montajul cu sarcină catodică totală, montajul cu sarcină distribuită, montajul fără transformator de ieșire s.a.

În general, etajul final al amplificatoarelor de putere de înaltă fidelitate funcționează în clasă AB, iar uneori în clasă A; în clasă B funcționează doar etajele finale studiate special.

a. Montajul cu sarcină catodică totală

Etajul final reprezentat în fig. III. 18, la care impedanța de sarcină apare în circuitul catodic al tuburilor finale, constituie un montaj cu sarcină catodică totală.

Tabela III.5

	ECC83	ECC82	6H2Π	EL84
Rezistență anodică $R_a, k\Omega$	180	100	180	15
Rezistență catodică $R_c, k\Omega$	0	0	33	0
Rezistență $R, k\Omega$	68	1,5	51	0,4
Rezistențele de grilă $R_g, M\Omega$	1	1	1	1
Condensatoarele $C_1 = C_2 = C, \mu F$	0	0,1	0	0,1
Condensatorul $C, \mu F$	0	0	100	0
Tensiunea de intrare, V	0,58	4	0,43	8
Tensiunea de ieșire, V	7,2	100	5	112
Amplificarea	12,5	25	11,5	14
Tensiunea anodică, V	320	550	320	450

Caracteristicile montajului cu sarcină catodică totală, determinate de reacția negativă totală de curent și de proprietățile etajului cu ieșirea pe catod, sînt:

— distorsionă neliniară și de frecvență de valoare foarte mică;

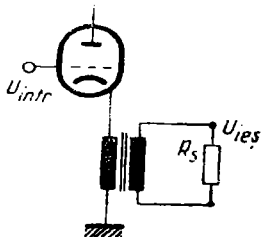


Fig. III.18. Schema de principiu a etajului final în montaj cu sarcină catodică totală.

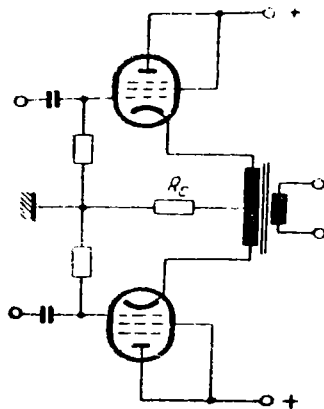


Fig. III.19. Etaj final în montaj cu sarcină catodică totală.

— rezistență de ieșire extrem de mică, realizîndu-se factori de amortizare de ordinul sutelor;

— impedanță de intrare mare;

— defazaj nul între tensiunea de ieșire și cea de intrare.

Prințre inconvenientele montajului trebuie să se menționeze amplificarea subunitară în tensiune și randamentul scăzut. Pentru a realiza puteri de ieșire comparabile cu cele furnizate de montajele cu sarcină anodică, este necesar ca etajul final cu ieșire pe catod să fie excitat cu o tensiune foarte mare. Astfel, pentru obținerea unei puteri de ordinul a 10—20 W este necesară o tensiune de excitație de 100—200 V, lucru în general greu de obținut cu distorsiuni mici. Acesta este de altfel principalul motiv pentru care montajul cu sarcină catodică totală este folosit relativ rar în amplificatoarele de înaltă fidelitate.

Există mai multe tipuri de montaje cu sarcină catodică totală, dintre care mai răspîndit este cel reprezentat în fig. III.19. Aceasta se realizează în diverse forme, în funcție de puterea solicitată montajului. În mod obișnuit, tuburile fi-

nale sint pentode care lucrează în contratimp (de multe ori acestea sint conectate ca triode). Uneori, tuburile finale se conectează în paralel în scopul obținerii unei puteri mari.

În fig. III.20 este reprezentată schema unui montaj realizat cu pentode.

Un alt tip de montaj cu sarcină catodică totală este aşa numitul montaj în contratimp-paralel, a cărui schemă de principiu este reprezentată în fig. III.21.

Se observă că tuburile sint în paralel din punct de vedere al curentului alternativ. În acest fel curentii alternativi ai celor două tuburi, circulă în același sens în rezistență de sarcină R , și efectele lor se adună. Componentele continue ale curentilor anodici ai celor două tuburi trec prin rezistență de sarcină în sens contrar.

Spre deosebire de tipul descris anterior, rezistența de ieșire a acestui montaj este de patru ori mai mică, ceea ce înseamnă condiții mai avantajoase de funcționare. O îmbunătățire adusă schemei constă în înlocuirea transformatorului de ieșire printr-un autotransformator cu priză mediană, ceea ce conduce la micșorarea distorsiunii provocată la frecvențe înalte de inductanță de scăpări și capacitatea transformatorului de ieșire.

Neajunsul acestui tip de montaj constă în necesitatea utilizării a două redresoare anodice izolate unul de altul.

Alegerea tuburilor finale constituie o problemă esențială pentru buna funcționare a montajului. Se recomandă folosirea unor tuburi cu pantă mare și rezistență internă de valoare redusă, care să necesite o impedanță de sarcină cît mai mică posibil. În aceste condiții, amplificarea fără reacție a etajului este foarte mare, încât efectele reacției negative sunt eficace, iar puterea de ieșire este, de asemenea, mare. Valoarea impedanței de sarcină este mai puțin critică decât în montajul cu sarcină anodică, din cauza reacției negative puternice. În consecință, ea ar putea fi aleasă mai mică decât

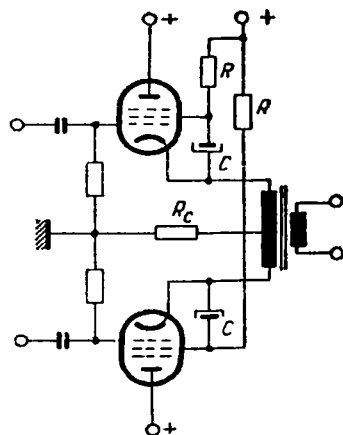


Fig. III.20. Variantă a etajului final în montaj cu sarcină catodică totală.

impedanță optimă de sarcină, fără ca funcționarea montajului să aibă de suferit (puterea de ieșire chiar ar crește pentru aceeași tensiune de excitație, conform relației $P = \frac{U^2}{R}$). Nu se procedează însă în acest fel, deoarece avantajele mon-

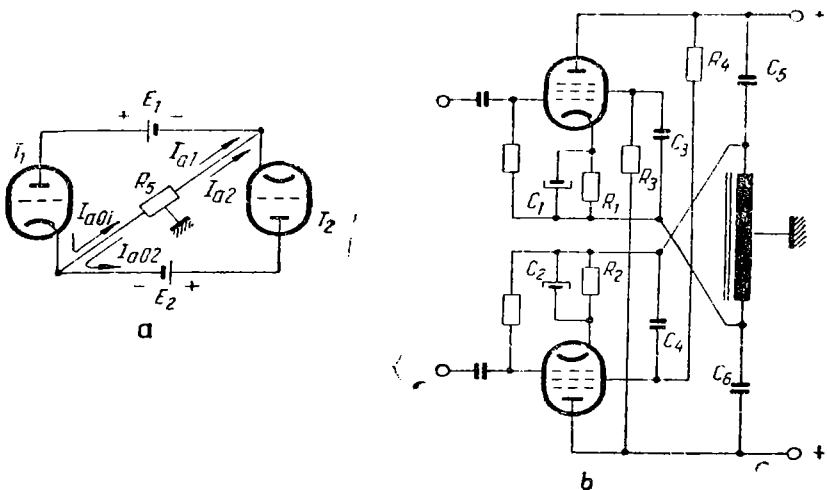


Fig.III.21. Etaj final în montaj cu sarcină catodică totală de tip contrainimp paralel:
a — schema de principiu; b — schema de realizare.

tajului ar fi mai puțin evidente. În mod obișnuit, impedanța de sarcină este de același ordin de mărime cu cea recomandată pentru tuburile respective în montaj cu sarcina anodică.

Pentru evaluarea cantitativă a unora dintre parametrii montajului pot fi folosite următoarele relații: $R = \frac{2R_i}{\mu + 1}$, R_i fiind rezistența internă a tuburilor în montaj. Impedanța de ieșire este rezultatul punerii în paralel a rezistenței R cu impedanța de sarcină Z . Amplificarea în tensiune are expresia: $A = \frac{a}{a+1}$, în care a este amplificarea etajului fără reacție.

Relativ la montajul din fig. III.20, trebuie să se menționeze că rezistența R nu poate avea o valoare oricărt de mică, pentru a nu șunta sarcina. În mod obișnuit, valoarea ei se alege de cel puțin zece ori mai mare decât impedanța de sarcină Z . În ceea ce privește capacitățile C , care au rolul de a menține

ecranele la potențialul alternativ al catozilor, valoarea reacanței lor trebuie să fie mult mai mică decât R la frecvența cea mai joasă a gamei de frecvență. În mod obișnuit se alege $C(\mu F) = \frac{0,05 - 0,1}{R(\Omega)}$.

În ceea ce privește regimul de funcționare a tuburilor, se utilizează clasa A, care permite menținerea tensiunii continue de ecran la o valoare constantă. În clasă AB, care ar permite realizarea unei puteri mai mari de ieșire, currentul anodic variază mult și antrenează variația tensiunii de ecran, care este de valoare mare, deoarece și rezistențele R sunt mari. În scopul eliminării acestui neajuns, pentru izolarea ecranelor de circuitul anodic se folosește uneori o bobină care are o rezistență mică în curent continuu și variațiile tensiunii de ecran sunt neînsemnate.

Printre tuburile folosite în montajul cu sarcină catodică totală se numără pentodele EL34, EL84, UL86, EL84, 6L6, KT66, 6Π14II etc. În tabela III.6 sunt prezentate unele date privind montajul cu sarcină catodică totală.

Tabela III.6

Tub	Regim de funcționare							Mărimi de ieșire	
	E_a	E_{g2} V	E_{g0} V	R KΩ	C μF	R_A KΩ	U_g V	P V	R V
EL86 contratimp de pentode	170	270	— 7	5 -30	8	3,5	2×109 (clasă A)	12	50 (în primar)
EL86 contratimp paralel de pentode	175	175	—18	50C 20H	50	1,75	2×113 (clasă AB)	25	25 (în primar)
EL 34 contratimp paralel de triode	350	350	—25	—	—	1,8	2×180	20	110

b. Montajul ultraliniar

Acesta este cel mai răspândit dintre montajele cu sarcină distribuită.

Este un montaj în contratimp, prevăzut cu o reacție negativă în circuitul de ecran al tuburilor finale, realizată prin legarea ecranelor la prize, dispuse în primarul transformatorului de ieșire (fig. III.22).

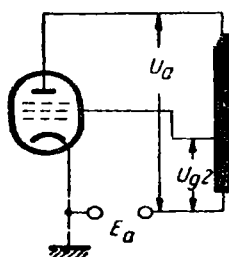


Fig. III.22. Schema de principiu a montajului ultraliniar.

Montajul ultraliniar se mai numește montaj cu sarcină distribuită în anod și ecran.

Datorită reacției în circuitul de ecran, caracteristicile anodice ale tuburilor se modifică în aşa fel, încât ocupă o poziție intermedieră între acele care corespund funcționării tuburilor ca pentode sau ca triode. Se obține astfel posibilitatea de a asocia calitățile triodei cu acele ale pentodei (sau tetrodei cu fascicul dirijat).

Tensiunea de reacție pentru fiecare tub este o fracțiune din tensiunea alternativă existentă între anod și bcrna de plus a bateriei anodice. Mărimea acesteia determină și poziția prizei corespunzătoare.

Factorul de reacție negativă corespunzător prizei se exprimă prin raportul dintre tensiunea alternativă de ecran și tensiunea alternativă anodică: $x = \frac{U_{g2}}{U_a}$.

Valoarea lui x este cuprinsă între zero, corespunzătoare funcționării tubului ca pentodă și unu, corespunzătoare funcționării ca triodă. În fig. III.23 sunt reprezentate caracteristici anodice corespunzătoare celor trei cazuri.

Pentru fiecare tip de tuburi există o valoare anumită a lui x , care determină funcționarea optimă a montajului ultraliniar.

Ca urmare a conectării tuburilor finale în montaj ultraliniar se obțin o serie de îmbunătățiri în funcționarea etajului final, printre care:

— rezistența internă a tuburilor finale prevăzute cu reacție pe ecran se micșorează în raport cu cea corespunzătoare pentodei de mai mult de zece ori, la priza optimă. Micșorarea rezistenței interne este avantajoasă, deoarece ușurează condițiile

impuse transformatorului de ieșire în ceea ce privește curba de răspuns și, bine înțeles, mărește amortismentul difuzorului;

— caracteristicile anodice ale tuburilor finale sunt mult mai apropiate de linia dreaptă decât cele corespunzătoare funcționării ca pentode sau ca triode. Cea mai bună liniaritate a acestora se obține în cazul prizei optime;

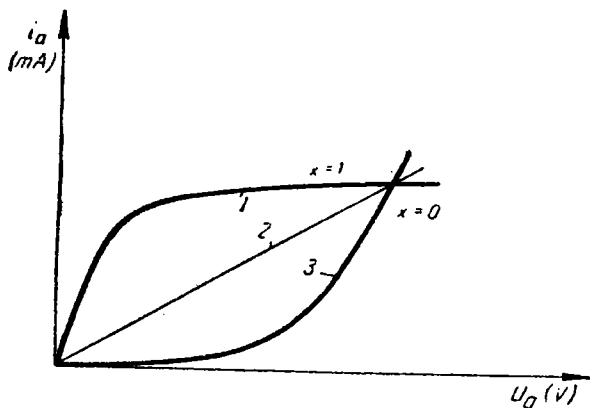


Fig.III.23. Caracteristica $i_a = f(u_a)$ a tubului final:

1 — conectat ca pentodă; 2 — în montaj ultraliniar;
3 — conectat ca triodă.

— distorsionele armonică scade foarte mult față de funcționarea tuburilor ca triode sau pentode. Această scădere este mai accentuată în cazul semnalelor mici aplicate la intrarea tuburilor finale și pentru valori ale lui x apropiate de unitate;

— distorsiunea de intermodulație se micșorează cu aproximativ 50% în cazul prizei optime, față de cea măsurată în montajul cu pentode;

— puterea de ieșire și randamentul montajului ultraliniar sunt mai mici decât cele ale montajului în contracimp cu pentode; pentru tensiuni de excitație egale, puterea furnizată de montajul ultraliniar este aproximativ jumătate din cea dată de montajul cu pentode, dar dublă față de cea dată de aceleași tuburi conectate ca triode.

Din cauza liniarității pe o porțiune mai largă a caracteristicii dinamice a tuburilor este însă posibilă aplicarea unor tensiuni de amplitudine mai mare la grilele acestora, ceea ce are ca urmare obținerea unei puteri mai mari decât cea furnizată de montajul cu pentode, pentru aceeași distorsiune

neliniară. La putere egală, montajul ultraliniar introduce o distorsiune neliniară mai mică decât montajul cu pentode.

Puterea de ieșire și randamentul scad pe măsură ce x crește.

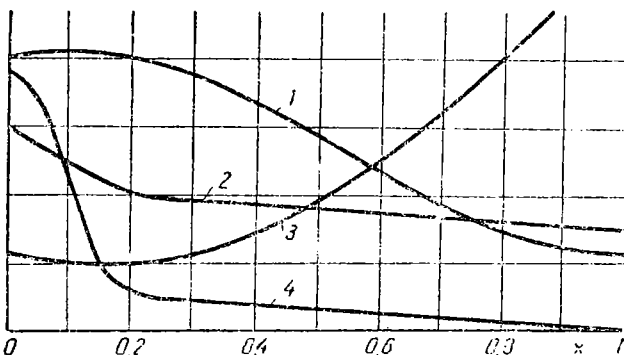


Fig. III.24. Variația parametrilor etajului final realizat cu tubul 6L6 în montaj ultraliniar:

1 — puterea de ieșire maximă; 2 — distorsiunea armonică la puterea de ieșire minimă; 3 — distorsiunea armonică la puterea de ieșire maximă; 4 — rezistență internă.

Din cele menționate mai sus rezultă, că montajul ultraliniar poate să furnizeze o putere de ieșire apropiată ca valoare de cea debitată de montajul cu pentode (90—95 % din aceasta), cu distorsiuni neliniare mult mai mici;

— rezistența de sarcină are o valoare optimă în funcție de mărimea puterii de ieșire și a distorsiunii armonice. Din cauza liniarității caracteristicilor însă, la montajul ultraliniar aceasta poate fi aleasă într-o plajă mai largă de valori. În mod obișnuit ea se alege astfel, încât să se conserve un randament cât mai ridicat. Cu cât x este mai mare, cu atât mărimea rezistenței de sarcină este mai puțin critică.

În ceea ce privește influența deosebirilor dintre caracteristicile anodice ale tuburilor asupra rezultatelor obținute, aceasta este aproximativ aceeași la montajul ultraliniar și la montajul obișnuit cu pentode.

Montajul ultraliniar este foarte mult folosit în amplificatoarele moderne, deoarece permite obținerea unor bune rezultate în condițiile unei reacții negative globale mai mici decât ar fi fost necesară în absența reacției de ecran, ceea ce mărește gradul de stabilitate a montajului.

Curbele din fig. III.24 ilustrează influența lui x asupra citorva din principalele caracteristici ale montajului ultraliniar realizat cu tubul 6L6.

Se remarcă cu ușurință că valoarea optimă a prizei de ecran este în cazul acestor tuburi: 0,2.

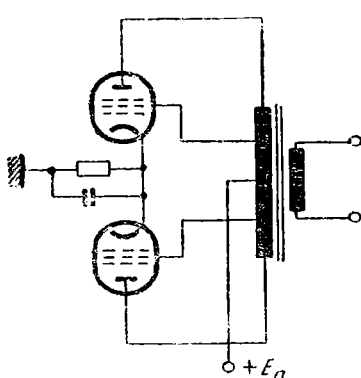


Fig.III.25. Etaj final în con. tratimp în montaj ultraliniar.

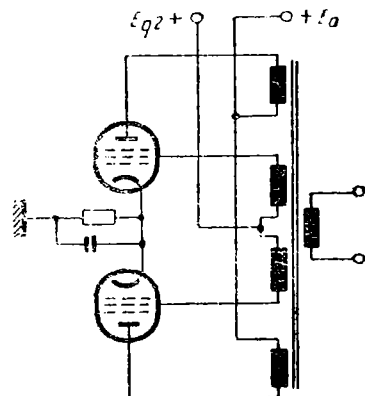


Fig.III.26. Variantă a montajului ultraliniar, folosind înfășurări separate ale transformatorului de ieșire în circuitul anodic și de ecran.

Un dezavantaj al montajului ultraliniar constă în aceea, că este necesar un transformator de ieșire special. Utilizarea unui transformator de ieșire obișnuit conduce la rezultate mai slabe decât cele ce se obțin cu etaje în contratimp obișnuite, iar uneori chiar la instabilitatea montajului.

Dintre tipurile de montaje ultraliniare, cel mai des folosit este cel reprezentat în fig. III.25, în care tensiunea de reacție se ia de pe prize ale înfășurării primare a transformatorului de ieșire. Aceasta folosește în cazul în care se aplică aceeași tensiune continuă pe anod și ecran.

În cazul în care pe ecran este necesar să se aplice o tensiune continuă mai mică decât pe anod, se folosesc alte tipuri de montaj. Unul dintre acestea este cel reprezentat în fig. III.26 în care tensiunea de reacție se aplică pe ecrane prin intermediul unei înfășurări separate a transformatorului de ieșire.

În sfîrșit, un alt tip de montaj ultraliniar care permite aplicarea pe anod a unei tensiuni continue mai mari decât

pe ecran este cel din fig. III. 27. Tensiunea de reacție pentru ecrane se ia în acest caz tot de pe prize ale înfășurării primare.

Se observă modul de polarizare a ecranului. Rezistențele din ecrane și capacitatele de blocare utilizate în circuit

constituie un filtru trece-sus. Pentru ca reacția să fie eficace în toată gama de frecvențe, valorile rezistențelor și capacitaților trebuie astfel alese, încât produsul lor să fie cît mai mare; în mod obișnuit se alege pentru produsul CR o valoare mai mare decât 15 milisecunde.

Calculul etajului final realizat în montajul ultraliniar se face în mod asemănător cu cel folosit în cazul unui montaj obișnuit în contratimp. Stabilirea regimului optim de funcționare a tuburilor se face cu ajutorul caracteristicilor anodice corespunzătoare reacției pe ecran. Aceste curbe sunt rareori prezentate în cataloagele pot fi trasate cu ușurință anodice ale pentodei.

Fig. III.27. Variantă a montajului ultraliniar folosind pentru polarizarea ecranului o tensiune mai mică decât cea anodică.

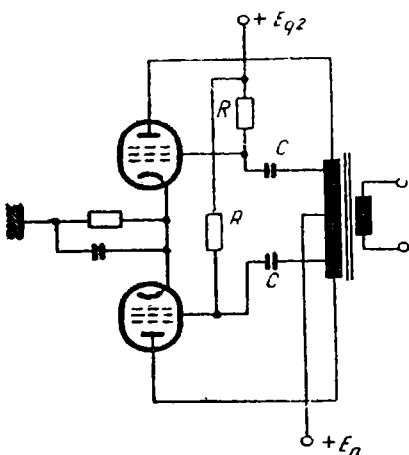
gele de specialitate, deoarece pornind de la caracteristicile

În mod obișnuit, în cataloage se indică punctul de funcționare ales și valoarea optimă a factorului de reacție pe ecran corespunzătoare acestuia și tubului folosit; aceste date sunt suficiente pentru dimensionarea și realizarea montajului.

Dacă este necesar să se utilizeze în montaj ultraliniar tuburi pentru care cataloagele nu prezintă datele necesare, acestea se pot stabili pe cale experimentală sau prin calcul.

Astfel, în ceea ce privește valoarea optimă a factorului de reacție pe ecran, aceasta poate fi determinată cu aproximativ folosind următoarea relație: $x_{optim} = \frac{\mu_{g1g2}}{\mu} \left[\frac{R_i I_{ao}}{E_a} - 1 \right]$,

în care: μ_{g1g2} este coeficientul de amplificare al secțiunii grilă-écran a pentodei, corespunzător punctului de funcționare; μ este coeficientul de amplificare al pentodei în punctul de funcționare; E_a este tensiunea continuă anodică; I_{ao}



este curentul continuu din punctul de funcționare; R_i este rezistența internă a pentodei în punctul de funcționare.

Trebuie să se menționeze că priza optimă se modifică o dată cu negativarea, însă în limite restrînse, încît în aplicații poate fi considerată cu suficientă aproximație valoarea corespunzătoare punctului de funcționare stabilit.

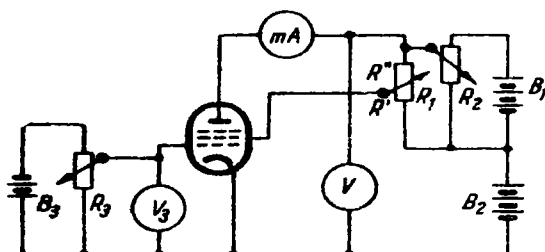


Fig. III.28. Montaj experimental folosit pentru ridicarea caracteristicilor anodice ale unui tub în montaj ultralinier.

Pentru a determina pe cale experimentală valoarea optimă a lui x se poate folosi montajul din fig. III.28.

Deplasînd cursorul reostatului R_1 , se trece de la funcționarea ca triodă la funcționarea ca pentodă. Tensiunea anodică se modifică cu ajutorul reostatului R_2 , iar tensiunea de negativare cu ajutorul lui R_3 . Variind cele trei tensiuni se obțin diferite valori ale curentului anodic în funcție de tensiunea anodică. Poziția cursorului reostatului R_1 , pentru care se obține cea mai liniară caracteristică anodică, corespunde prizei optime.

Pentru a înțelege modul în care se efectuează măsurarea cu ajutorul montajului de mai sus, se exemplifică stabilirea prizei optime pentru tubul 6L6. Se consideră B_1 egal cu 250 V, $B_2 = 130$ V, $U_g = -15$ V. Pe anod se aplică deci o tensiune de 380 V cînd cursorul lui R_2 este deplasat în partea superioară. Cursorul lui R_1 se aşază într-o asemenea poziție, încît pe ecran să se aplice tensiunea de $(250 + x \cdot 130)$ V; dacă se începe măsurarea corespunzător unei prize $x = 0,5$, rezultă că tensiunea aplicată ecranului va trebui să fie 315 V. Se păstrează neschimbată tensiunea de negativare și poziția cursorului lui R_1 și se variază doar cursorul reostatului R_2 care modifică tensiunea anodică (cu cîte 20 V de exemplu) și de ecran în mod corespunzător; în acest fel se ridică carac-

Tabela 111.7

Tub	Conectare	Regim de funcționare				Distorziune armontă			
		E_V^*	$E_{g^2}^*$	R_c Ω	$R_{g^2}^*$ Ω	$R_{g^2}^*$ Ω	$R_{g^2}^*$ Ω	$0,7\%$ la 14W	$0,7\%$ la 10W
EL34	Triodă	400	—	470 pe tub	10	—	0,5% la 10W	$0,7\%$ la 14W	—
	U.L. $x = 0,43$	400	400	470 pe tub	6,6	1 000 pe tub	0,6% la 10W	$0,7\%$ la 14W	$0,8\%$ la 20W
	Pentodă	330	330	130 comun	3,4	470 comun	1,5% la 10W	2% la 14W	$2,5\%$ la 20W
EL84	Triodă	300	—	150 comun	10	—	1% la 5W	—	—
	U.L. $x = 0,2$	300	300	270 pe tub	8	—	0,7% la 5W	$0,9\%$ la 10W	—
	Pentodă	300	300	270 pe tub	8	—	1,5% la 5W	2% la 10W	2% la 15W

6П 14П	U.L. $x = 0,43$	300	300	130	8	-	$0,1\%$ la 5W	$0,5\%$ la 10W	-
6 П6С	U.L. $x = 0,23$	300	300	470	10	-	$0,1\%$ la 5W	$0,5\%$ la 10W	-

Triodă

$\eta = 25\% ; d = 1,5\%$ la 7 W

6П 3C	U.L. $x = 0,2$	385	385	350	6,6	$E_{Sv} =$	$35 V ; \eta = 36\% ; d = 0,7\%$ la 20 W	
-------	-------------------	-----	-----	-----	-----	------------	------------------------------------------	--

Pentodă

$\eta = 38\% ; d = 5\%$ la 16 W

6П 1П	$x = 0,23$ U.L.	250	250	430	10		$d = 0,5\%$ la 8 W	
807 KT66 6L6	U.L. $x = 0,2$	460	460	500 pe tub	6,6		$d = 0,85\%$ la 20 W	

teristica curentului anodic în funcție de tensiunea anodică pentru negativarea de -15 volți și priza $x = 0,5$. Operația continuă în același mod, schimbînd doar priza, căreia î se dă valorile $0,45; 0,4; 0,35$ etc. de exemplu. Se constată că liniaritatea cea mai mare a caracteristicii anodice se

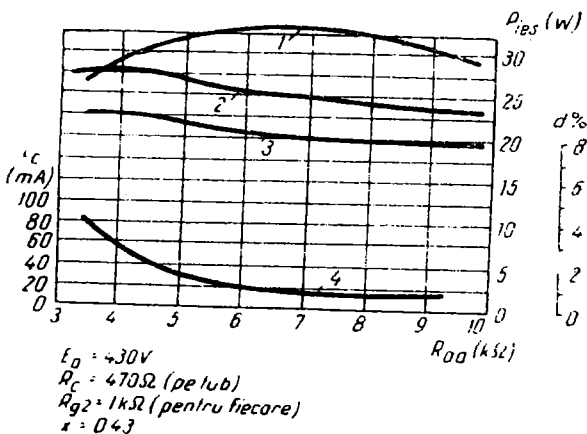


Fig.III.29. Curbe caracteristice pentru funcționarea tubului EL34 în contratimp în montaj ultraliniar;

1 — puterea de ieșire; 2 — tensiunea de intrare;
 3 — curentul catodic; 4 — factorul de distorsie armonică pentru puterea de 20 W .

obține pentru $x = 0,2$, care este deci priza optimă. Reostatul R_1 poate fi gradat direct în valori ale lui x , observînd că se poate scrie $x \approx \frac{R'}{R'+R''}$. dacă acesta este liniar. Montajul și modul de lucru prezentate sunt utile pentru a studia funcționarea în regim ultraliniar a tuburilor folosite și pentru a determina condițiile optime de lucru ale acestora.

În ceea ce privește rezistența de sarcină, valoarea optimă a acesteia este indicată, de obicei, în cataloge. În caz contrar, se determină în mod experimental prin metode obișnuite.

Rezistența internă a tuburilor lucrînd în regim ultraliniar poate fi determinată cu aproximație satisfăcătoare folosind relația: $R_{intL} = \frac{R_i}{1 + x, \mu/\mu g_1 g_2}$,

Dacă polarizarea tuburilor finale se realizează prin rezistență catodică, aceasta trebuie sănătată printr-o capacitate de valoare mare. Absența capacității duce la apariția

unei reacții negative de curent, aplicată în circuitul anodic și de ecran într-un grad diferit, ca urmare a pantelor de ecran și anod diferite ca valoare, ceea ce provoacă dezechilibrarea montajului (la o pentodă lucrând în montaj obișnuit ecranul este decuplat la catod, încât reacția apare doar în circuitul anodic).

În fig. III.29 sunt reprezentate cîteva curbe caracteristice funcționării în montaj ultraliniar a pentodei EL34, unul din tuburile frecvent folosite în acest montaj.

În tabela III.7 sunt prezentate datele principale ale unor tuburi uzuale lucrând în regim ultraliniar.

c. Montajul cu sarcină distribuită în anod și catod

Montajul cu sarcină catodică totală prezintă, după cum s-a arătat, inconveniente legate de obținerea tensiunilor de excitație a tuburilor finale, în condițiile reacției negative totale.

Considerindu-se că sarcina parțială în circuitul de catod produce un grad de reacție negativă suficient pentru ameliorarea considerabilă a performanțelor etajului final, fără a mări totodată exagerat tensiunile de excitație necesare, au fost realizate montaje, avînd sarcina repartizată în anod și catod (fig.III.30).

Montajele cu sarcină distribuită în anod și catod se caracterizează în principal prin rezistență de ieșire foarte redusă și distorsiune neliniară mică, ca urmare a reacției negative introduse în catozii și ecranele tuburilor finale. Acest montaj conservă randamentul pentodelor, asemănîndu-se din acest punct de vedere cu montajul ultraliniar.

Un alt tip de montaj cu sarcină distribuită este cel la care aceasta este repartizată în anod, ecran și catod; acest montaj, după cum se vede în fig.III.31, rezultă din combinarea montajului cu sarcină catodică parțială cu montajul ultraliniar.

Un neajuns al tuturor acestor scheme este acela că tuburile lucrează în clasă A sau AB, încît puterile obținute să sint mici.

Realizarea unor puteri mari este posibilă doar în cazul funcționării tuburilor finale în clasă B. Se știe însă că la funcționarea etajului în clasă B apar procese tranzitorii specifice, cauzate de inductanță de scăpări între cele două

jumătăți ale înfășurării primare a transformatorului de ieșire și între fiecare dintre acestea și întreaga înfășurare secundară. Aceste fenomene tranzitorii provoacă apariția unor distorsiuni neliniare puternice în domeniul frecvențelor

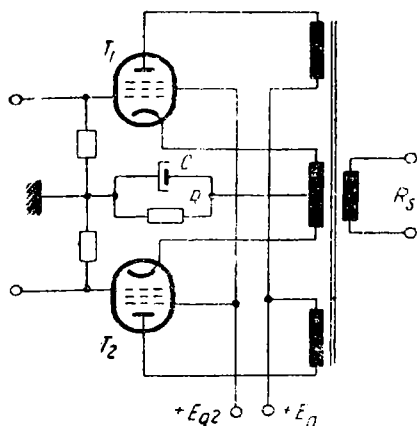


Fig. III.30. Etaj final în montaj, cu sarcină distribuită în anod și catod.

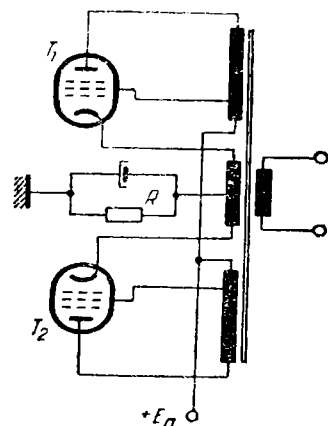


Fig. III.31. Etaj final în montaj, cu sarcină distribuită în anod ecran și catod.

înalte, care nu pot fi reduse prin reacția negativă. Micșorarea acestora se realizează doar pe calea reducerii importante a inductanței de scăpări.

Unul dintre montajele care funcționează în clasă B cu distorsiuni neliniare mici este cel cu sarcina repartizată în anod și catod, reprezentat în fig. III. 32.

Particularitatea montajului o constituie transformatorul de ieșire, care are două înfășurări primare. Fiecare dintre acestea este constituită din cîte două secțiuni, dispuse una în anodul unui tub și alta în catodul celuilalt tub; aceste secțiuni sunt bifilare, încît se realizează un cuplaj foarte strîns, deci o foarte mică inductanță de scăpări între ele. Datorită secțiunilor înfășurării primare, dispuse în catozi, egale ca număr de spire cu cele din anodi, montajul funcționează cu o reacție negativă 50%, ceea ce duce la micșorarea considerabilă a rezistenței de ieșire a montajului.

Pentru polarizarea ecranelor, se leagă ecranul tubului T_1 la anodul tubului T_2 , și invers. În acest fel ecranele primesc tensiuni constante în raport cu catozii și egale cu tensiunile anodice. Din punct de vedere alternativ, legarea

ecranului tubului T_1 la anodul tubului T_2 echivalează cu legarea lui la catodul propriu, încit nu mai este nevoie de condensator pentru decuplare.

Problema principală care se pune la dimensionarea montajelor cu sarcină distribuită în anod și catod, de tipul celor reprezentate în fig. III.30, este aceea a stabilirii gradului de reacție negativă în catod, cu alte cuvinte a determinării raportului între numărul de spire al înfășurării din catod și al înfășurării anodice a transformatorului de ieșire. Aceasta se alege în funcție de mărimea impusă pentru rezistența de ieșire a etajului final și de posibilitatea de a obține tensiunea de excitație necesară pentru realizarea puterii de ieșire solicitată.

Unele dintre amplificatoarele realizate după această schemă au raportul dintre numărul de spire al înfășurărilor din anod și catod de 10:1. Impedanța de sarcină optimă este cea corespunzătoare montajului cu sarcină anodică, pentru regimul de funcționare stabilit.

Transformatorul de ieșire se calculează considerînd întreaga sarcină reflectată în circuitul anodic, dat fiind raportul de reacție menționat mai sus.

Tuburile utilizate în montaj se aleg în funcție de puterea de ieșire care trebuie realizată. În general se folosesc pentode care sunt mult mai sensibile decit triodele.

Aprecierea cantitativă a rezistenței interne a fiecărui tub, în condițiile aplicării reacției, se face folosind relația: $R_i = \frac{R_t}{1+\beta\mu}$, în care β este factorul de reacție, egal cu raportul dintre numărul spirelor din înfășurarea catodică și înfășurarea primară.

Relativ la montajul din fig. III.32 se recomandă utilizarea unor tuburi care furnizează o putere importantă chiar

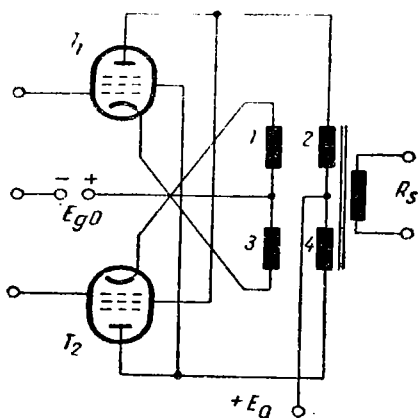


Fig.III.32. Etaj final în montaj, cu sarcină distribuită în anod și catod, lucrînd în clasă B.

în condițiile polarizării anodului și ecranului cu tensiuni relativ mici. Printre acestea sînt pentodele 6П3C, 6V6, KT66 etc.

Relația care permite evaluarea existenței interne a tuburilor conectate în montaj este următoarea: $R_i = \frac{R_t}{2+\mu}$.

Dacă $\mu \gg 2$, aceasta este de două ori mai mică decît rezistența similară a montajului cu sarcină catodică totală. Valoarea optimă a impedanței de sarcină este de 15—20 ori mai mare decît rezistența R_i . La calculul transformatorului de ieșire se ține seamă că sarcina reflectată în fiecare secțiune a înfășurării primare este un sfert din impedanță de sarcină anod-anod.

Tabela III.8

$E_a = E_{ga}$ V	E_{go} V	$U_g \sim$ grillă-grillă V	R_s Ω	R_i V	P W
350—380	—35...40	270	1 350—1 800	90	25

În tabela III.8. sînt prezentate cîteva date privind funcționarea tubului 6П3C în montajul reprezentat în fig.III.32.

d. Montajul fără transformator de ieșire

Pentru adaptarea rezistenței mici a difuzoarelor cu bobină mobilă utilizate în mod curent la etajul final al amplificatoarelor de putere, se folosește, de obicei, un transformator de ieșire. După cum se știe, aceasta prezintă o serie de neajunsuri, dintre care cel mai mare este acela că nu permite aplicarea unei reacții negative puternice în amplificatorul de putere, ca urmare a distorsiunii de fază pe care o introduce, deci limitează posibilitatea de ameliorare a parametrilor acestuia. În plus, el consumă o parte din energia transmisă difuzorului de către amplificator, introduce distorsiuni neliniare, de frecvență, este o piesă complexă și costisitoare.

Pentru evitarea tuturor acestor inconveniente au fost realizate etaje finale fără transformator de ieșire.

Montajul fără transformator de ieșire se caracterizează prin următoarele proprietăți:

— permite reproducerea frecvențelor joase în bune condiții, chiar în absența reacției negative.

— reduce distorsiunea armonică și de intermodulație de aproximativ o dată și jumătate în comparație cu montajul în contratimp, lucrînd în clasă AB;

— provoacă amortizarea puternică a difuzorului: factorul de amortizare poate să atingă valori de 30—50;

— permite aplicarea unei reacții negative puternice, care contribuie la ameliorarea performanțelor amplificatoarelor de putere. Se pot realiza chiar combinații de reacție negativă și pozitivă fără a dăuna stabilității montajului; reacția pozitivă se aplică în etajele care preced pe cel final, în scopul de a obține o tensiune de excitație de valoarea necesară pentru etajul final.

— realizează un randament de 50%.

Tipul de montaj fără transformator de ieșire utilizat în mod obișnuit este cel cunoscut în literatură sub numele de montaj contratimp-serie. Schema de principiu a acestuia este reprezentată în fig. III. 33.

După cum se vede, aceasta conține două tuburi alimentate în serie de la aceeași sursă de tensiune continuă E ; fiecare tub este polarizat cu tensiunea $\frac{E}{2}$.

Tensiunile de excitație se aplică în opozitie de fază la grilele celor două tuburi, ca la un montaj în contratimp obișnuit. Din punct de vedere alternativ, cele două tuburi debitează curent în aceeași rezistență de sarcină R . Dacă tensiunile de excitație sunt egale, prin rezistența R circulă curenți egali și în fază, încît efectul lor se însumează, obținându-se astfel o putere dublă față de aceea furnizată de fiecare tub în parte. În general cele două tuburi au o comportare identică, avînd același punct de funcționare.

Utilizînd tuburi speciale, rezistența de sarcină pentru montajul din fig. III.33 are o valoare foarte mică, încît este posibilă înlocuirea lui R printr-un difuzor de rezistență potrivită, fără a fi necesar un transformator adaptor de impedanță.

Montajul contratimp-serie se prezintă în mai multe variante, în funcție de modul de polarizare a grilei de comandă a tuburilor și a ecranului — în cazul pentodelor (în general se folosesc pentode care furnizează o putere mai mare în comparație cu triodele, în condițiile funcționării cu tensiuni anodice mici), precum și de felul în care se realizează excitația celor două tuburi.

În ceea ce privește polarizarea ecranelor, a căror tensiune trebuie menținută la o valoare constantă în raport cu catot-

zii tuburilor respective, o soluție este cea reprezentată în schema din fig. III. 34.

Dacă reactanțele lui C_1 și C_2 sunt mici, tensiunile aplicate ecranelor se mențin constante în raport cu catozii. Un neajuns al acestei soluții constă în aceea, că tensiunea alternativă

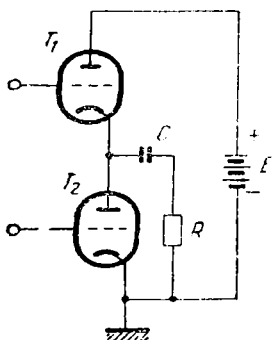


Fig.III.33.Schemă de principiu a etajului final lucrînd în montaj contra timp-serie, fără transformator de ieșire.

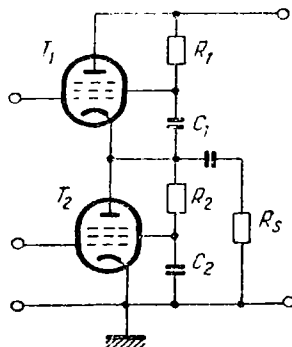


Fig.III.34. Schemă de alimentare a ecranelor tuburilor lucrînd în montaj contratimp-serie.

de ieșire se aplică, în afară de rezistența de sarcină R și pe rezistențele R_1 și R_2 , încit puterea de ieșire a etajului se reduce. Pentru evitarea acestui inconvenient trebuie ca R_1 și R_2 să aibă valori cît mai mari; acest lucru nu este recomandabil însă, deoarece valoarea medie a curentilor de ecran crește cînd tensiunile de excitație cresc, încit ecranele lucrează la o tensiune coborîtă și etajul are o comportare nesatisfăcătoare. De aceea, în unele amplificatoare de înaltă fidelitate rezistențele R_1 și R_2 sunt înlocuite prin bobine de soc, care au o rezistență olimică mică, iar în curent alternativ o impedanță foarte mare (încit nu se consumă putere inutil), iar tensiunile de ecran se mențin constante și de valoare ridicată. Au și ele neajunsul că provoacă defazaje nedorite între tensiunea de ieșire și cea aplicată amplificatorului.

Deoarece tensiunea alternativă se regăsește în întregime la bornele rezistenței R_1 , se poate înlocui aceasta cu difuzorul; în acest fel se consumă putere inutil doar în rezistența R_2 . Dezavantajul care apare datorită faptului că bobina mobilă a difuzorului este parcursă de curentul continuu de ecran al tubului T_1 nu este important. Se apreciază că depla-

sarea membranei difuzorului sub acțiunea curentului continuu care parcurge bobina mobilă a acestuia poate să atingă 2,5 mm fără ca să apară distorsiuni ale tensiunii de ieșire. Aceasta corespunde unui curent de aproximativ 50 mA; în mod obișnuit, curentul de ecran al tuburilor utilizate în montaj nu depășește 10 mA, încât deplasarea membranei trebuie considerată neglijabilă din punctul de vedere al distorsiunilor (exemplul), dat se referă la un anumit tip de difuzor și de tuburi folosite în acest montaj. De altfel, există posibilitatea compensării curentului de ecran care străbate bobina mobilă, printr-un curent de sens contrar furnizat de redresor, cum se vede în fig. III.35. Metoda este rar folosită, deoarece permite compensarea pentru o singură valoare a curentului de ecran. În caz de utilizare, se compensează curentul de ecran corespunzător puterii la care amplificatorul lucrează în mod obișnuit. Pentru alte valori ale puterii de ieșire trece un curent continuu prin difuzor, dar mai mic decât cel existent în absența compensării.

În ceea ce privește polarizarea grilelor de comandă ale tuburilor finale, aceasta se realizează în mod obișnuit pentru tubul T_2 , iar pentru tubul T_1 , care are catodul la potențial pozitiv, prin aplicarea unei tensiuni pozitive și pe grilă. Aceasta se realizează folosind un divizor de tensiune, fie între sursa E și masă, fie între anodul tubului prefinal și masă, soluție folosită de obicei (fig. III. 36).

În fig. III. 37 este indicat un alt mod de a realiza negativarea tubului T_1 . Căderea de tensiune produsă de curentul mediu al etajului pe rezistența R_c servește pentru negativarea tubului T_1 . Are inconvenientul că reduce tensiunea totală.

Soluția cea mai bună, în ceea ce privește schema montajului contratimp-serie, care permite obținerea unei puteri mari cu distorsiuni mici, constă în conectarea difuzorului în circuitul de ecran al tubului T_1 , în locul rezistenței R_1 din fig. III.34, ecranul tubului T_2 fiind polarizat cu tensiunea furnizată de un redresor separat; în mod obișnuit se folosește un montaj redresor în punte; tensiunea la bornele punții servește drept tensiune anodică a tubului T_1 , iar cea de la priza înfășurării secundare a transformatorului de rețea — pentru polarizarea ecranului lui T_2 .

Tuburile folosite în montajul prezentat sunt de construcție specială. Ele trebuie să lucreze cu tensiune anodică redusă

și curent mare, pentru a prezenta o rezistență mică în curent continuu, corespunzătoare puterii maxime disipate a tubului. Acest lucru este important din punctul de vedere al tensiunii de polarizare și al sarcinii optime, care pot fi de valoare

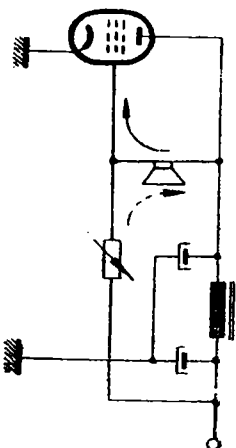


Fig. III.35. Schemă pentru compensarea curentului de ecran care parcurge bobina mobilă a difuzorului în montajul fără transformator de ieșire.

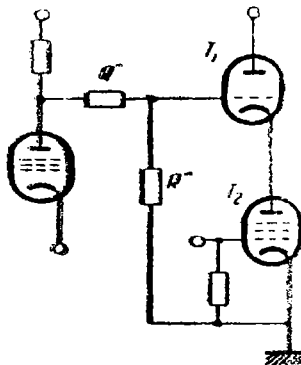


Fig. III.36. Schemă pentru polarizarea grilei tubului T_1 (fig. III.33) lucrând în montajul fără transformator de ieșire.

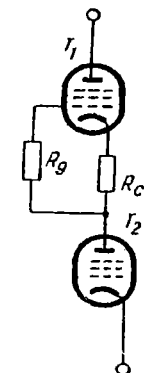


Fig. III.37. Schemă simplă pentru polarizarea grilei tubului T_1 (fig. III.33) lucrând în montajul fără transformator.

redusă. Astfel de tuburi sunt EL86 sau 6II 18II, care au o rezistență în curent continuu de $1600\ \Omega$ (într-un punct de funcționare anumit) și permit, prin urmare, utilizarea unui difuzor având o rezistență de $800\ \Omega$. În cazul folosirii a patru tuburi, cîte două în paralel, se poate întrebuița un difuzor de $400\ \Omega$, iar puterea de ieșire se dublează. Se remarcă faptul că este vorba de un difuzor de tip special.

Tuburile menționate sunt echivalente cu UL84 și PL84, de care diferă doar prin valoarea tensiunii de filament.

O problemă importantă este aceea a tensiunii existente între filamentul (cu un capăt la masă) și catodul tubului lui T_1 . În condițiile în care lucrează T_1 , această tensiune este foarte mare (ea este suma tensiunii continue dintre catod și masă, a tensiunii de negativare a tubului T_1 și a

valorii eficace a tensiunii alternative de ieșire) și trebuie să rămînă mai mică decât U_{fc} admis de tub. Pentru tubul EL86 aceasta are valoarea 300 V.

Considerind cele două tuburi identice și avînd același punct de funcționare, iar rezistența de sarcină R neglijabilă în raport cu rezistența internă (în curent alternativ) a tuburilor — cum se și întîmplă în realitate — se poate scrie o relație simplă între tensiunea de ieșire și tensiunile de excitație ale tuburilor finale, considerate între grile și masă: $U_s \approx p(U_1 + U_2)$, în care U_s este tensiunea de ieșire, U_1 și U_2 tensiunile de excitație ale tubului T_1 și respectiv T_2 , iar p un coeficient, a cărui expresie este:

$$p \approx \frac{R}{R_i + (\mu + 1)R} < 1.$$

În cazul tubului EL86 funcționînd cu $\frac{E}{2} = 148$ V și $E_{g0} = -14$ V ($\mu = 230$; $R_i = 23$ k Ω ; $R = 0,8$ k Ω) rezultă $p \approx 0,89$. Pentru o putere de 10 W în difuzor este necesară o tensiune de ieșire de aproximativ 89 V, deci trebuie ca $U_1 + U_2 \approx 100$ V. În mod obișnuit, $U_2 \approx \frac{U_1}{10}$, încît rezultă că la grila tubului T_1 trebuie să se aplique o tensiune de aproximativ 90 V. O asemenea valoare se poate obține folosind etajul prefinal din fig. III. 17.

Pentru a păstra aceleasi condiții de funcționare ale celor două tuburi, uneori se conectează în paralel cu tubul T_2 o rezistență care preia curentul de ecran al tubului T_1 , încît prin ambele tuburi circulă, în aceste condiții, același curent (curentul anodic al tubului T_1). Această compensare este exactă pentru o anumită valoare a curentului de ecran; se face reglajul pentru punctul de funcționare folosit cel mai des. În mod obișnuit, această rezistență are o valoare de ordinul zecilor de kilohmi.

Pentru funcționarea corectă a schemei, condensatoarele C_1 și C trebuie să aibă o valoare importantă, în caz contrar înrăutățindu-se funcționarea montajului la frecvențe joase.

Tensiunea continuă necesară funcționării corecte a etajului se poate determina în funcție de puterea furnizată de acesta. Astfel, tensiunea continuă care se repartizează pe fiecare tub este de 1,41 ori mai mare decât tensiunea de ieșire. În general, însă, se utilizează tuburile în punctul de funcțio-

nare indicat în cataloge, pentru care corespunde o anumită putere de ieșire.

Tabela III.9 conține unele date privind funcționarea tubului EL86 în montaj fără transformator de ieșire.

Tabelă III.9

Tensiunea de polarizare E , V	370	310
Tensiunea de negativare pentru T_1 și T_2 , V	-14	-14
Tensiunea U_{fk} , V	294	258
Rezistența catodică a lui T_1 , Ω	240	0
Rezistența catodică a lui T_2 , Ω	240	150
Tensiunea de excitație între grilă și catodul lui T_1 , V	10,2	10
Idem, T_2	9,8	10
Putere de ieșire, W	113	10
Distorsiune armonică, %	1,75	0,3 ¹⁾
Conecțare difuzor	Ecran T_1	Catod T_1 și masă
Polarizare ecrane		Prin bobină de soc

¹⁾ În amplificator cu reacție.

6. Filtre separatoare de canale

În compunerea amplificatoarelor de putere intră, după cum s-a menționat la începutul acestui capitol și filtrele separatoare de canale al căror rol este deosebit în asigurarea unei reproduceri sonore de calitate.

După cum se știe, un singur difuzor obișnuit nu poate să reproducă în mod satisfăcător întreaga gamă de frecvențe audibile. De aceea, în practică se recurge la una din următoarele soluții: divizarea spectrului sonor în mai multe domenii, care sunt reproduse de difuze de tipuri diferite, sau folosirea unor difuze complexe moderne, care radiază într-o gamă foarte largă de frecvențe. Din punct de vedere economic este mai avantajoasă soluția utilizării unui ansamblu de difuze de bună calitate, acoperind gama audio în două sau trei domenii, față de aceea a unui difuzor unic cu aceleași rezultate.

Divizarea gamei de frecvențe audibile în mai multe domenii, în vederea reproduscerii acestora de către difuze diverse se face cu ajutorul unor circuite speciale, cunoscute sub numele de filtre separatoare de canale.

Avantajele fracționării spectrului sonor, metodă larg utilizată în instalațiile de înaltă fidelitate, sunt următoarele:

- mărirea gamei de frecvențe corect reproduse;
- evitarea distorsiunii de intermodulație, care se manifestă în cazul cînd același difuzor radiază frecvențe diferite;
- utilizarea rațională a difuzeelor cărora li se aplică doar frecvențele pe care le pot reproduce corect, adică cu un bun randament și cu cît mai puține rezonanțe parazite;
- posibilitatea amplasării optime a difuzeelor folosite pentru reproduscerea diverselor domenii de frecvențe, în scopul de a obține rezultate subiective cît mai apropiate de realitate.

Separarea canalelor se realizează, în general, prin două metode, și anume: utilizarea unui singur amplificator de putere care alimentează diferențiale difuze prin intermediul filtrelor separatoare de canale sau utilizarea unui număr de amplificatoare de putere și difuze egal cu cel al canalelor,filtrele separatoare fiind plasate la intrarea amplificatoarelor de putere. Soluția recomandabilă și des utilizată în amplificatoare de înaltă fidelitate, este cea de-a doua, din mai multe motive. Astfel, conectarea filtrelor la intrarea amplificatoarelor de putere ușurează reglajul tensiunilor aplicate difuzeelor, în vederea obținerii unei puteri acustice constante în toată gama de frecvențe transmise (echilibru sonor). În acest sistem, difuzele sunt conectate direct la amplificatoarele de putere respective, beneficiind de efectul rezistenței de ieșire foarte scăzută a acestora. În cazul filtrelor separatoare conectate între amplificator și difuzor, o dată

cu reglajul echilibrului sonor este influențat factorul de amortizare al amplificatorului și în consecință se înrăutățește reproducerea regimurilor tranzitorii.

În mod obișnuit, spectrul sonor se divide în două sau trei canale, adică se folosesc două, respectiv trei difuzoare, în funcție de puterea amplificatorului și de mărimea camerei în care se ascultă. Cu cât puterea crește și camera are un volum mai mare, cu atât este nevoie de un număr mai mare de canale pentru a beneficia de avantajele oferite de divizarea spectrului sonor, în vederea reproducării sale fracționate.

Frecvențele de separație a acestora, adică frecvențele care separă domeniile reproduse de diverse difuzoare depind de difuzoarele utilizate și de spectrul de frecvență care trebuie transmis. În general, acestea sunt cuprinse între 400 și 1 000 Hz (în jur de 600—760 Hz, de obicei) pentru separarea canalelor 1 și 2 și respectiv între 4 000 și 6 000 Hz pentru separarea canalelor 2 și 3 (de obicei în jur de 5 000 Hz). Filtrele separatoare de canale sunt, în general, de două tipuri (în funcție de elementele care le compun), și anume: *LC* și *RC*.

Filtrele separatoare din prima categorie se utilizează exclusiv în etajul final al amplificatoarelor de putere între transformatorul de ieșire și difuzoare. Ele sunt compuse din inductanțe și capacitațile dispuse în serie sau în derivație cu difuzoarele utilizate și au avantajul că consumă o mică parte a puterii utile. În mod obișnuit se utilizează filtre de tipul cu impedanță de intrare constantă; aceasta înseamnă că inductanțele și capacitațile filtrului au aceeași valori, încât impedanța măsurată la bornele de intrare ale acestuia este independentă de frecvență și egală cu rezistența difuzoarelor utilizate.

În fig. III. 38 sunt reprezentate cîteva scheme de filtre separatoare *LC*.

Filtrele *RC* sunt mai simple, dar au dezavantajul că atenuază semnalul util; din această cauză ele se asociază unor tuburi electronice, pentru a se restabili valoarea necesară a tensiunii corespunzătoare funcționării normale a amplificatorului. Ele sunt compuse dintr-un număr variabil de celule trece-sus și trece-jos, în funcție de panta de atenuare necesară în jurul frecvenței de separație. Celulele utilizate se conectează în cascadă: ele pot fi identice, cu impedanță crescătoare sau separate între ele prin etaje de amplificare. Ultimele soluții permit o bună funcționare a celulelor, influența reciprocă a acestora fiind minimă.

În fig. III.39 sînt reprezentate cîteva filtre separatoare ***RC***. Pentru reglarea nivelelor canalelor se utilizează mai multe metode, în funcție de tipul și schema filtrului folosit. În cazul filtrelor ***LC***, reglajul se efectuează cu ajutorul unor

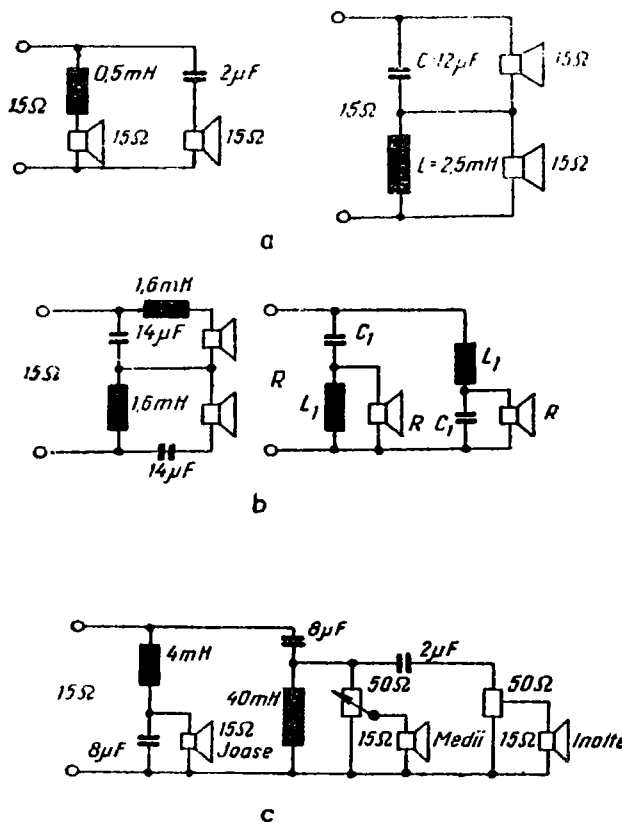


Fig. III.38. Scheme de filtre separatoare ***LC***:
a, b — pentru două canale; c — pentru trei canale.

potențiometre care intră în compoziția filtrului, cum se vede în fig. III. 38. În cazul filtrelor ***RC*** se utilizează una dintre posibilitățile prezentate în fig. III. 40.

Relațiile utilizate pentru dimensionarea filtrelor ***LC*** sunt următoarele: $L = \frac{159 R}{f_s}$, $C = \frac{15\ 900}{R f_s}$ pentru filtrele

din fig. III.38, a și: $L_1 = \frac{225 R}{f_s}$, $C_1 = \frac{112\,000}{R f_s}$, pentru filtrele din fig. III.38, b.

În aceste expresii inductanțele sunt exprimate în milihenry, capacitatele în μF , rezistența difuzorului în ohmi, iar frecvența de separație în herți.

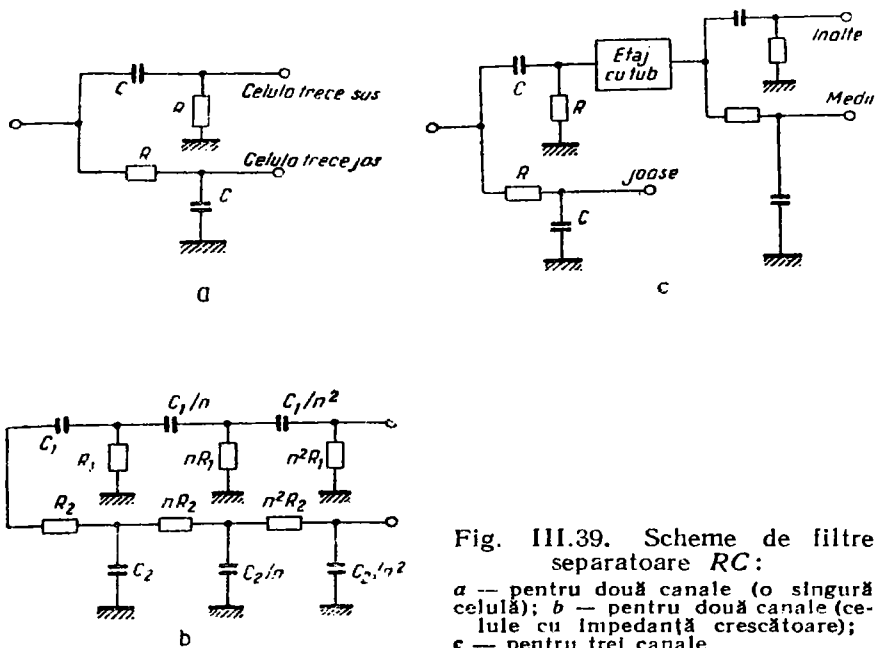


Fig. III.39. Scheme de filtre separatoare RC :
a — pentru două canale (o singură celulă); b — pentru două canale (celule cu impedanță crescătoare);
c — pentru trei canale.

În cazul filtrelor RC , frecvența de separație f_s , rezistența R și capacitatea C sunt legate între ele prin expresia $f_s = \frac{1}{6,28 RC}$.

Valoarea lui R se alege astfel, încât să fie mult mai mare decât rezistența de ieșire a etajului precedent, dar mult mai mică decât rezistența din grila tubului care urmează. Această condiție este mai greu de realizat în cazul filtrelor cu impedanță crescătoare (la care rezistențele cresc de n ori spre sfîrșitul filtrului, în timp ce capacitatele scad de același număr de ori). În general, R are valori de ordinul zecilor sau sutelor de kiloohmi.

În cazul mai multor celule, pentru evitarea neregularităților în curba reprezentând sumă puterilor difuzoarelor care radiază, frecvențele de separație au expresiile: $f_1 = af$, și $f_2 = \frac{f_s}{a}$, în care f_s este frecvența de separație în cazul

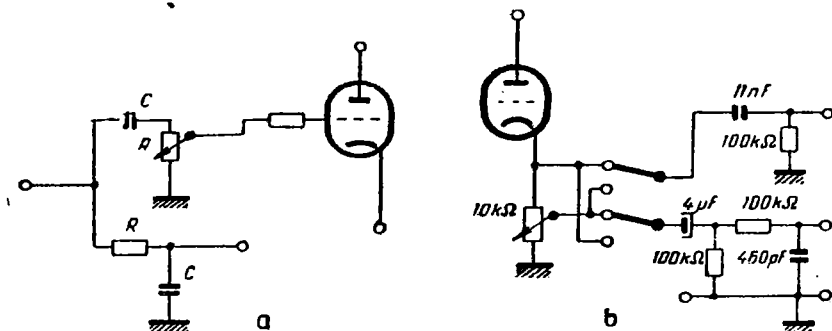


Fig.III.40. Scheme pentru realizarea echilibrului sonor în cazul filtrelor separatoare RC :

a — reglind nivelul frecvențelor înalte; b — reglind nivelul pe oricare dintre canale.

unei singure celule, iar a un coeficient care depinde de numărul celulelor: el are valoarea 1,57 în cazul folosirii a două celule și 1,96 pentru trei celule etc.

7. TRANSFORMATOARE DE IEȘIRE PENTRU AMPLIFICATOARELE DE ÎNALȚĂ FIDELITATE

Transformatorul de ieșire este un accesoriu important al etajului final, determinant pentru calitatea reproducerei sonore. Din această cauză, transformatoarele de ieșire utilizate în amplificatoarele de înaltă fidelitate trebuie să aibă parametri de valoare mult mai ridicată decât cei ai transformatoarelor obișnuite.

Fidelitatea transformatoarelor la frecvențe joase și înalte se realizează prin procedee care permit ameliorarea cuplajului dintre înfășurarea primară și cea secundară (inductanță mică de scăpare), fără diminuarea inductanței primare. Aceste procedee constau în utilizarea unor tole cu permeabilitate mare și în dispunerea judicioasă a înfășurărilor. Cele mai bune rezultate se obțin folosind tole de asemenea formă, încit bobinajul care rezultă să fie mai mult lung decât gros; acesta

este cazul transformatoarelor de ieșire cu miez „dublu C“, mult utilizat în ultimii ani.

Utilizarea unor materiale magnetice cu particule orientate sau a altora cu permeabilitate mare, precum și folosirea unor înfășurări stratificate și alternate au condus la realizarea unor transformatoare de ieșire pentru amplificatoarele de înaltă fidelitate având inducțanță primară de aproximativ 100 H și inducțanță de scăpări mai mică decât 20 mH.

Prin micșorarea inducțanței de scăpări și a capacității proprii a transformatorului, defazajul provocat de acestea în domeniul frecvențelor înalte este foarte redus, încât este posibilă aplicarea unei reacții negative eficace în amplificator.

În general, transformatoarele de ieșire utilizate în amplificatoarele de înaltă fidelitate prezintă exigențe diferite, în funcție de schema etajului final și de parametrii impuși acesteia.

a. Transformatoare de ieșire utilizate în montajul ultraliniar

Acestea trebuie să îndeplinească unele condiții specifice pentru a permite funcționarea optimă a montajului ultraliniar și anume:

- să convină tuburilor folosite în etajul final, din punctul de vedere al prizelor prevăzute în înfășurarea primară (priză optimă);

- prizele efectuate în fiecare jumătate a înfășurării primare să fie simetrice; în caz contrar cresc în mod apreciabil distorsiunile;

- miezul transformatoarelor trebuie să fie realizat din materiale de calitate, spre a obține transmiterea puterii pînă la cea mai joasă frecvență a spectrului audio și pentru a evita distorsiunea neliniară datorită saturăției miezului, în condițiile utilizării unor dimensiuni cît mai reduse ale acestuia;

- inducțanța de scăpări și capacitatea parazită a transformatorului să fie cît mai reduse, pentru a se evita riscul unor oscilații parazite și al distorsiunii de frecvență în domeniul frecvențelor înalte.

Dacă transformatorul de ieșire este necorespunzător, într-un amplificator ultraliniar pot să apară oscilații parazite de frecvență înaltă, din cauze multiple. Sunt două moduri

principale de oscilație în montajul ultraliniar: oscilații în circuitul de ieșire al tuburilor finale, datorită cuplajelor inductive încrucișate și oscilații în unul sau amândouă etajele de ieșire, produse în mod analog celor întâlnite în cazul oscilatoarelor Colpits. Primul mod de oscilații se produce datorită cuplajului inductiv (prin inductanța de scăpare) între ecranul tubului T_1 și anodul tubului T_2 , precum și între ecranul tubului T_2 și anodul tubului T_1 (cu T_1 și T_2 au fost notate în mod convențional cele două tuburi finale); acest mod de oscilație este posibil și datorită capacităților parazite corespunzătoare. Celălalt mod de oscilație se datoră restului inductanței de scăpare dintre anodul și ecranul aceluiasi tub și capacităților parazite dintre anod-masă și ecran-masă.

În consecință, cuplajul inductiv între ecranul și anodul corespunzător trebuie să fie mai strâns decât cu anodul celălalt și cu sarcina; capacitățile parazite de cuplaj între ecranul unui tub și anodul celuilalt tub (C_{a1-e2} , C_{a2-e1}) trebuie să fie cît mai mici; mărimea inductanței de scăpare între anodul și ecranul aceluiasi tub (L_{sa1-e1} , L_{sa2-e2}) și capacitățile anod-masă, ecran-masă să fie cît mai reduse.

Pentru satisfacerea cerințelor specificate mai sus se impun unele măsuri constructive: amplasarea la distanță a înfășurării de ecran a unui tub față de înfășurarea anodică a celuilalt; amplasarea alăturată a înfășurărilor de anod și ecran destinate aceluiasi tub, în cazul secționării primarului; dacă se secționează fiecare jumătate a înfășurării primare, secțiunile trebuie să conțină subsecțiuni de anod și ecran în aceeași proporție ca întreaga jumătate a înfășurării primare; distribuirea într-un mod special a secțiunilor înfășurării primare și secundare.

În fig. III.41 sunt reprezentate două scheme de înfășurare conform condițiilor menționate. În fig. III.41 a, este reprezentat un transformator de ieșire ale cărui înfășurări sunt legate în serie, iar în fig. III. 41, b, în paralel.

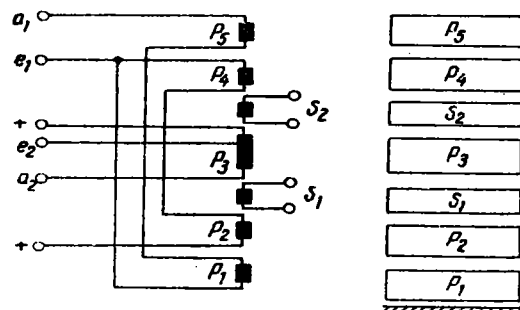
Secțiunile P_1 , P_2 , P_3 și P_4 din prima figură sunt identice ca număr de spire; în figura cealaltă, secțiunile P_1 , P_2 sunt bobinate în sens contrar secțiunilor P_3 , P_4 .

Cele două scheme prezentate sunt foarte complexe și se recomandă, în general, pentru puteri mai mari decât 20 W și în cazul în care inductanța de scăpare trebuie să fie foarte mică.

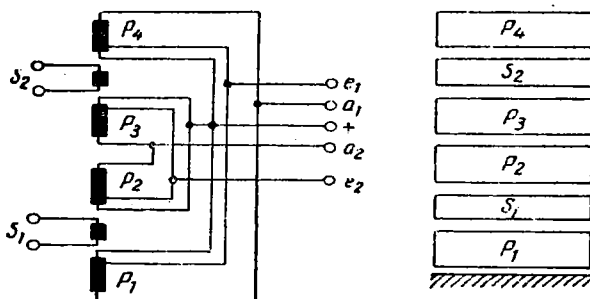
Pentru puteri mai mici și cînd condițiile privind inductanța de scăpare sunt mai largi, prin inversarea poziției

înășurărilor primare și secundare se obține o schemă mai simplă (fig. III.42) care oferă rezultate foarte bune.

Un alt tip de înășurare recomandat pentru transformatoarele utilizate în amplificatoarele ultraliniare este cel



a



b

Fig.III.41. Scheme de înășurare în straturi pentru transformatoarele de ieșire lucrînd în montaj ultraliniar:

a — înășurări legate în serie; b — înășurări legate în paralel.

reprezentat în fig. III. 43. Pentru asigurarea unei mari simetriei se folosește dispunerea înășurărilor în galeți; pentru micșorarea capacității transformatorului, înășurăriile se divizează în mai multe secțiuni, iar pentru reducerea inductanței de scăpări, acestea se alternează, ca la transformatoarele obișnuite.

Fig.III.42. Schemă simplă de înfășurare în strări pentru transformatoarele de ieșire lucrînd în montaj ultraliniar.

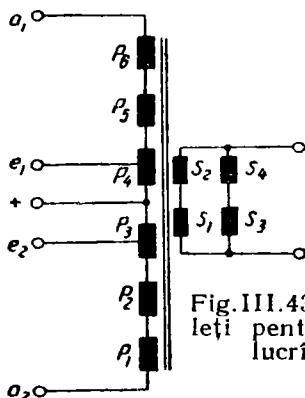
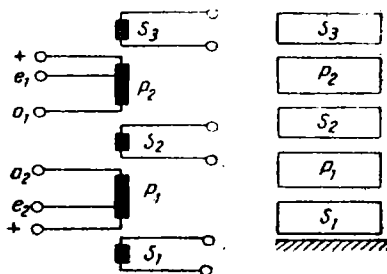


Fig.III.43. Schemă de înfășurare în galeți pentru transformatoarele de ieșire lucrînd în montaj ultraliniar.

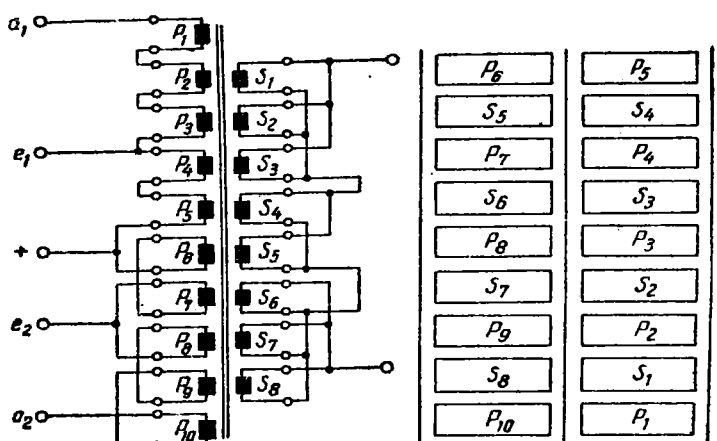
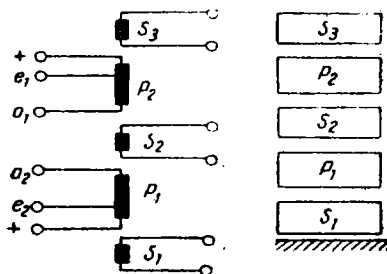


Fig.III.44. Schemă de înfășurare în galeți pentru transformatoarele de ieșire în montaj ultraliniar, cu posibilități multiple de adaptare a sarcinii.

Secțiunile P_3 , P_5 , P_6 se bobinează în sens contrar celorlalte.

În fig. III. 44 este reprezentată o schemă asemănătoare cu cea din fig. III. 43, dar care oferă posibilități multiple de adaptare a unor sarcini diferite la etajul final.

b. Transformatoare de ieșire pentru montajul cu sarcină catodică totală

Acestea nu ridică probleme atât de complexe ca cele descrise anterior. Datorită rezistenței interne mici a etajului final, ele se realizează în condiții relativ ușoare, obținându-se rezultate bune în domeniul frecvențelor joase cu o inductanță a înfășurării primare de valoare redusă.

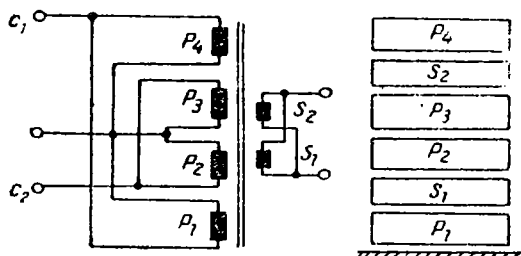


Fig. III.45. Schemă de înfășurare pentru transformatoarele de ieșire lucrînd în montaj cu sarcină catodică totală.

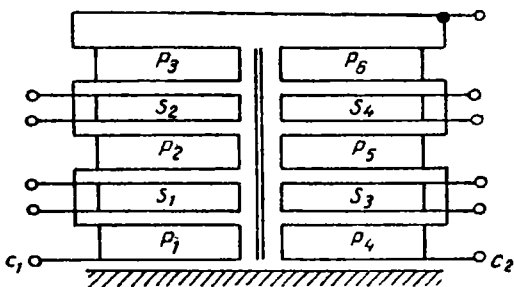


Fig. III.46. Schemă de înfășurare în galeți pentru transformatoarele de ieșire lucrînd în montaj cu sarcină catodică totală.

Utilizat pentru transformatoarele din același montaj este cel reprezentat în fig. III. 46.

În fig. III.47 sunt prezentate cîteva scheme de realizare a înfășurărilor secționate și alternate, indicîndu-se prin

interiere mici a etajului final, ele se realizează în condiții relativ ușoare, obținîndu-se rezultate bune în domeniul frecvențelor joase cu o inductanță a înfășurării primare de valoare redusă.

În ceea ce privește schemele de înfășurare, acestea se realizează în straturi secționate și alternate, uneori folosindu-se disponerea înfășurărilor în galeți.

În fig. III.45 este reprezentată una din schemele de înfășurare posibile, utilizată în montajul cu sarcină catodică totală.

Înfășurările P_3 și P_4 se bobinează în sens contrar celorlalte.

Un alt mod de înfășurare asemănător celui din fig. III.44, utilizându-se prin

mărimea m , de câte ori scade în acest fel inductanța de scăpare față de cazul înfășurărilor nealternate.

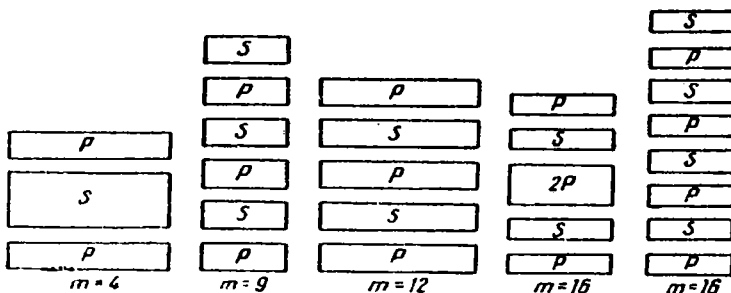


Fig. III.47. Scheme de înfășurare pentru transformatoarele de ieșire cu inductanță mică de scăpare.

c. Transformatoare de ieșire pentru montajul cu sarcină distribuită între anod și catod

În ceea ce privește transformatoarele destinate să lucreze în asemenea montaje, acestea trebuie să fie realizate după scheme care să asigure o bună simetrie și, bine înțeles, să aibă parametrii de valoare corespunzătoare. În acest scop pot fi utilizate tipurile de înfășurare în galeți, asemănătoare celor de mai sus, sau o înfășurare în straturi de tipul celei reprezentate în fig. III.48.

Această înfășurare, recomandabilă pentru etajul final din fig. III. 30, egalizează rezistența înfășurărilor și inductanța de scăpare pentru fiecare jumătate de primar față de întregul secundar și reduce capacitatea proprie a înfășurării primare. Asemenea înfășurare se recomandă și pentru etaje finale obișnuite, lucrînd în clasă AB sau B.

Pentru etajul cu sarcină distribuită, reprezentat în fig. III. 32, secțiunile bifilare ale înfășurării primare, re-

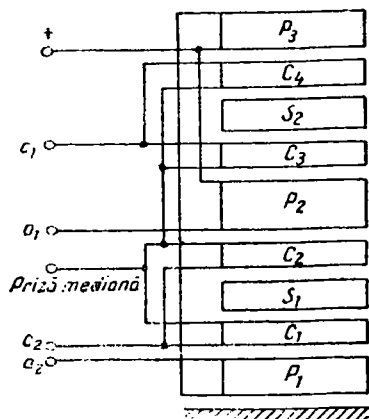


Fig. III.48. Schemă de înfășurare pentru transformatoarele de ieșire lucrînd în montaj cu sarcină distribuită.

partizate în anod și catod, se dispun conform schemei din fig. III.49. Secțiunile 1, a și 2, c sunt bobinate împreună și reprezintă una din înfășurările primare, repartizată în

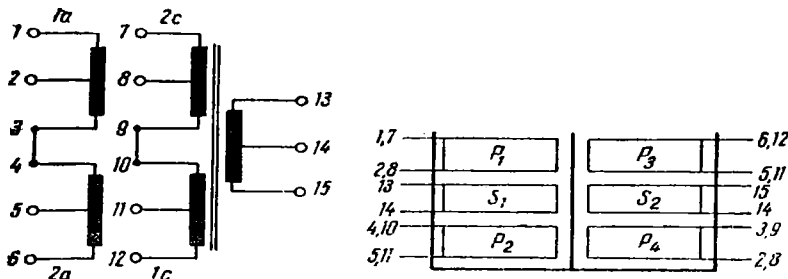


Fig.III.49. Schemă de înfășurare pentru transformatoarele de ieșire lucrînd în montajul cu sarcină distribuită, clasă B.

anodul unui tub și catodul celuilalt; același lucru despre secțiunile 2, a și 1, c. Secțiunile P_3 , P_4 și S_2 se înfășoară în sens contrar celorlalte.

d. Materiale magnetice folosite pentru miezurile transformatoarelor de ieșire de înaltă fidelitate

Cerințele impuse materialelor magnetice folosite pentru miezurile transformatoarelor de ieșire sunt în principal două: o înaltă permeabilitate pentru cîmpul magnetic alternativ și pierderi scăzute prin histerezis și curenți turbionari; de modul în care sunt satisfăcute aceste cerințe depinde în mare măsură calitatea transformatorului de ieșire.

Există o mare varietate de materiale magnetice care se folosesc pentru realizarea miezurilor transformatoarelor de ieșire.

În ultimii ani au fost utilizate, aproape în exclusivitate, oțelurile cu siliciu cu particule orientate pentru realizarea transformatoarelor de înaltă fidelitate. Acestea se caracterizează printr-o permeabilitate relativă ridicată, prin valori mari ale inductanței maxime admisibile, prin distorsiuni neliniare și de frecvență reduse, prin pierderi mici.

În cele ce urmează, vor fi prezentate, pe scurt, câteva date caracteristice ale unui asemenea material, pentru a ușura comparația acestuia cu materialele magnetice obișnuite. Astfel, în ceea ce privește permeabilitatea relativă maximă,

materialul magnetic cu particule orientate are valori peste 10 000, pe cînd oțelurile cu siliciu obișnuite au sub această valoare. Permeabilitatea relativă inițială este aproximativ de aceeași valoare și anume în jur de 600—800 pentru ambele categorii de materiale. Inducția la care permeabilitatea relativă este maximă este cuprinsă între 4 000 și 5 000 Gs pentru oțelurile cu siliciu obișnuite și de 1—2 ori mai mare pentru materialele cu particule orientate. Inducția de saturatie este, de asemenea, foarte ridicată, putînd atinge valori de 15 000 Gs. În ceea ce privește distorsiunea neliniară, miezul din material cu particule orientate este, de asemenea, superior. Astfel, pentru o valoare a inducției de 1 000 Gs, distorsiunea neliniară este mai mică de aproximativ două ori de cît cea produsă de materialele celelalte, iar la 10 000 Gs este de 1—5 ori mai mică. La inducții scăzute însă (sub 20 Gs) distorsiunea neliniară produsă de materialul cu particule orientate o depășește ca valoare pe cea datorită materialelor celorlalte. Din această cauză și ținînd seamă și de faptul că îmbunătățirea permeabilității relative este neglijabilă, materialul cu particule orientate nu se utilizează pentru inducții mici de lucru; el se recomandă doar pentru transformatoarele de putere medie și mare. În ceea ce privește distorsiunea de frecvență, materialul cu particule orientate este, de asemenea, mai bun. La o inducție foarte scăzută (circa 10 Gs) un semnal de frecvență joasă (25 Hz de exemplu) este transmis cu o atenuare de două ori mai mică decît o face miezul din materialul celălalt. Mai mult, începînd de la aproximativ 100 Gs, atenuarea aceleiași frecvențe este practic constantă pînă la inducții de 15 000—20 000 Gs pe cînd materialele obișnuite atenuează brusc după 10 000 Gs.

Aceasta înseamnă că, curba de răspuns a transformatorului de ieșire rămîne aproximativ aceeași, independent de valoarea tensiunilor alternative aplicate acestuia. Pierderile în materialele cu particule orientate sunt de aproximativ 2—3 ori mai mici de cît cele corespunzătoare celorlalte materiale, la inducții superioare valorii de 10 000 Gs.

Un dezavantaj al materialelor cu particule orientate constă în aceea, că ele au proprietăți optime doar în cazul în care direcția de magnetizare coincide cu direcția de laminare, și din această cauză ele nu pot fi utilizate sub forma

Tabelă III. 10

Tipul înălțărilor conform figurilor menționate în coloane	Fig. III.41,b	Fig. III.43	Fig. III.41,a	Fig. III.46	Fig. III.44	Fig. III.42
Tipul tolei	$E-16$	$E-16$	$E\ 16$	$E-16$	$E\ 25$	$E-16$
Grosimea tolei, mm	0,5	0,5	0,5	0,5	0,5	0,5
Secțiunea miezului magnetic, cm^2	18,3	18,3	12,8	18,3	25	12,8
Numărul de spire al secțiunilor transformatorului	$P_1 = 1\ 500$; priză după 855	$P_1 = 375$	$P_1 = 820$	$P_1 = 200$	$P_1 \dots P_{10}$ cte 190	$P_1 = 1\ 950$; priză la 682
$S_1 = 150$	$P_3 = 375$	$P_3 = 205$	$P_3 = 400$	$P_3 = 200$	$P_3 = 1\ 950$; priză la 1 268	$S_1 \dots S_6$, cte 30 spire
$P_3 = 1\ 500$; priză la 645	$P_3 = 750$; priză la 105	$S_1 = 90$	$P_3 = 200$	$S_1 = 50$		

$P_8 = 1\ 500$ priză la 855	$P_4 = 750$ priză la 645	$P_3 = 2\ 050$ priză la 1 640	$C_1 = 70$	$S_4 = 112$
$S_4 = 150$	$P_b = 375$	$S_4 = 90$	$C_4 = 70$	$S_3 = 56$
$P_4 = 1\ 500$ priză la 645	$P_b = 375$	$P_4 = 205$	$C_3 = 70$	—
—	$S_1 = 75$	$P_b = 820$	$C_4 = 70$	—
	$S_3 = 75$	—	$S_1 = 25$	—
—	$S_3 = 75$	—	$S_3 = 25$	—
—	$S_4 = 75$	—	—	—
Tipul sărmei de bobinaj				
Diametru sârmă înfașurărilor, mm	$P: 0,17$ $S: 0,6$	$P: 0,28$ $S: 0,6$	$P: 0,2$ $C: 0,2$ $S: 0,6$	$P: 0,28$ $S: 1$
				$P: 0,2$ $S: 0,7$

Tabelă III.10 (continuare)

Tipul înșurății conform figurilor menționate în coloane	Fig. III. 4, b	Fig. III. 43	Fig. III. 41, a	Fig. III. 48	Fig. III. 44	Fig. III. 42
Izolația transformatorului						
			între straturi		între straturi	
	2×30 μ	2×30 μ	1×30 μ	1×30	3×30	1×30
			între primar și secundar		între primar și secundar	
			2×30 μ 1 strat hîrtie uleiată	2×30 μ	—	1×30 μ + 1 strat de hîrtie uleiată
						2×30 μ
Materialul carcsei			Prepan			
	1,5 mm grosime	1,5 mm grosime	1 mm grosime	1,5 mm grosime	1,5 mm grosime	—
Inductanța primarului, H	47 H la 2,5 V; 80 Hz	42 H la 1,5 V; 80 Hz	80 H la 2,5V; 80 Hz	9 H	23 H la 1,5 V; 80 Hz	50 H la 2,5 V; 80 Hz

Inductanță de scăpări primar secundar, mH	19 mH la 800 Hz	20 mH la 800 Hz	22 mH la 800 Hz	—	3,6 mH la 800 Hz	17 mH la 800 Hz
Rezistență înășurării primare, Ω	275	200	530	84	310	380
Rezistență înășurării secundare, Ω	1,2	1,1	0,9	1	0,45	2
Rezistență optimă a tuburilor, k Ω	6 600	6 600	8 000	6 600	6 600	8 000
Rezistențe de sarcină care se pot adapta	15 Ω , conf. fig. III 41, b 60 Ω : S_1 și S_2 în serie	15 Ω , conf. fig. III 43	13 Ω pentru S_1, S_2 în serie; 3,5 Ω pentru S_1, S_2 în paralel	15 Ω , conf. fig. III 48 63 Ω ; 4 Ω	1,2–16 Ω , conf. fig. III 44 și 6–8 Ω pentru S_1, S_2, S_3, S_4 în paralel, înseriate cu S_5, S_6, S_7, S_8 în paralel	22 Ω , conf. fig. III 42
Puterea nominală, W	25	25	10	15	20	10
Puterea maximă, W	40	40	15–20	20–25	40	15–20
Priză	43%	43%	20%	—	40%	35%

Tabelă III.11

Tipul transformatorului	XH8010B	FH26B	XH6626B	CTB U1458
Tipul miezului	Miez C (particule orientate)	Miez C (particule orientate)	Miez C (particule orientate)	Miez dublu C (particule orientate)
Impedanța de sarcină, Ω	0,6; 2,5; 5; 10; 15; 20;	0,6; 2,5; 5; 10; 15; 20;	0,6; 2,5; 5; 10; 15; 20;	1; 4; 9; 16;
Rezistența primarului, Ω	250	400	140	200
Inductanța primarului, H	145 H la pu- terea nominală	320 H la pu- terea nominală; 58 H la 1,5V, 80 Hz	300 H la pu- terea nominală; 10V, 50 Hz;	100H la 10V, 50 Hz;
Inductanța de scăpări primar-secundar, mH	14	16	12	—
Puterea nominală, W	8	15	30	30
Puterea maximă, W	15	30	50	—
Priză	35%	43%	43%	43%
Banda de frecvențe, Hz	—	—	—	20 Hz-19 kHz la 30 W
Impedanța optimă	8 000	6 600	6 600	6 600

de tole obișnuite, ci sub forme speciale, cunoscute sub numele de miez în C sau dublu C, cum se vede în fig. III. 50. Cu rezultate satisfăcătoare se pot folosi și tolele din oțel siliciu 34AA, utilizat în mod obișnuit în țara noastră

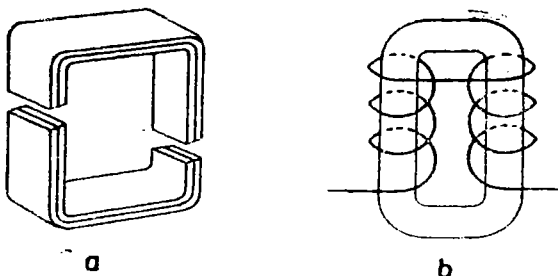


Fig. III.50. Miez pentru transformatoarele de ieșire în C și dublu C:
a — în C; b — în dublu C.

pentru realizarea transformatoarelor de joasă frecvență. Date referitoare la unele transformatoare de ieșire sînt prezentate în tabela III.10 Pentru comparație, în tabela III.11 sînt prezentate și date ale unor transformatoare avînd miez din materiale magnetice cu particule orientate.

8. AMPLIFICATOARE DE PUTERE DE ÎNALȚĂ FIDELITATE CU TRANZISTOARE

Utilizarea tranzistoarelor în amplificatoarele de putere de înaltă fidelitate este legată, în principal, de posibilitatea suprimării transformatorului de ieșire, ceea ce are ca urmare ameliorarea în mare măsură a parametrilor amplificatorului. Alți factori, cum sînt: reducerea greutății amplificatorului, micșorarea disipației calorice etc., proprii utilizării tranzistoarelor, sînt de mai mică importanță pentru amplificatoarele de înaltă fidelitate.

Utilizarea tranzistoarelor în amplificatoarele de putere de înaltă fidelitate conduce, în general, la rezultate inferioare celor care se obțin folosind tuburi electronice, din cauza unor deficiențe proprii tranzistoarelor.

Unul dintre neajunsurile tranzistoarelor constă în dificultatea de a realiza simultan o putere disipată mare și o frecvență de tăiere ridicată. Tranzistoarele actuale oferă

un randament acceptabil doar în montaj, cu emiterul comun în etajul final. Ori, în acest tip de conectare, tranzistoarele curente de germaniu cu joncțiune, fabricate prin aliere, au o frecvență de tăiere redusă, de ordinul a 3—10 kHz. Există însă tranzistoare cu siliciu, realizate prin difuzie, având o frecvență de tăiere de ordinul a cîtorva megaherți, care rezolvă problema în condiții optime, dar sănătatea costisitoare. Există, de asemenea, tranzistoare de germaniu cu joncțiune, fabricate prin difuzie, care au proprietăți similare celor cu siliciu și preț de cost accesibil. Neajunsul acestora, constând în nestabilitatea în funcționare, este pe cale de a fi înălțat, încît în următorii cîțiva ani tranzistoarele de putere mare vor fi de calitate superioară celor actuale, ceea ce va permite să se realizeze amplificatoare cu tranzistoare cu performanțe superioare.

Există și alte neajunsuri care limitează utilizarea tranzistoarelor în amplificatoarele de putere de înaltă fidelitate. Astfel, aceștia prezintă o neliniaritate mai mare decât tuburile electronice, ceea ce cauzează o distorsiune importantă (aceasta poate fi redusă printr-o reacție negativă puternică, dar scad amplificarea și randamentul montajului) necesită tensiuni de polarizare constante, măsuri pentru stabilitatea termică, a dispersiei de fabricație a parametrilor, dispozitive pentru radieră căldurii etc.

În scopul obținerii unor puteri mari la ieșire, tranzistoarele utilizate în etajul final trebuie să lucreze în clasă B, ceea ce are ca urmare mărirea distorsiunii neliniare.

Amplificatoarele de putere de înaltă fidelitate cu tranzistoare se compun, în principiu, din aceleași etaje ca și amplificatoarele cu tuburi electronice. Mai mult, acestea reproduc în mod obișnuit schemele cu tuburi electronice.

În general, acestea sănătate de două categorii: amplificatoare cu sau fără transformator de ieșire și amplificatoare cu sau fără transformator prefinal.

Montajul recomandabil și folosit de altfel în foarte multe amplificatoare de înaltă fidelitate cu tranzistoare este o combinație a celor două tipuri menționate. El se caracterizează prin folosirea unui etaj prefinal constituit dintr-un tranzistor de putere medie și cu frecvență de tăiere ridicată și un transformator de înaltă calitate, precum și dintr-un etaj final în contratimp-serie fără transformator de ieșire.

Adoptarea unei asemenea formule este impusă de o serie de particularități ale schimrelor cu tranzistoare. În general,

transformatoarele sunt contraindicate în amplificatoarele cu tranzistoare deoarece măresc greutatea acestora pe de o parte, iar pe de altă parte provoacă aceleași neajunsuri ca și în montajele cu tuburi electronice (reducerea gamei de frecvență, mărirea gradului de instabilitate etc.) Mai mult, la funcționarea în clasă B apar distorsiuni neliniare specifice, pentru micșorarea cărora este necesară reducerea inducției de scăpări a transformatoarelor, obiectiv mai ușor de realizat în cazul transformatorului prefinal decât în cazul celui de ieșire. Un alt motiv pentru care se adoptă schema cu transformator prefinal constă în faptul că, acesta realizează o bună adaptare a impedanțelor etajului final și etajului prefinal, amplificare în curent, mărirea stabilității montajului ca urmare a posibilității de folosire a unei rezistențe de valoare redusă în circuitul de bază al tranzistoarelor finale; se evită, de asemenea, pericolul ambalării termice, care poate să apară la puteri mari în cazul măririi numărului etajelor de amplificare cuplate direct.

Se înțelege însă, că se folosesc și scheme fără transformator prefinal și cu transformator de ieșire sau alte montaje asemănătoare celor echipate cu tuburi electronice.

În fig. III.51 este reprezentată schema unui etaj final fără transformator de ieșire.

În mod obișnuit, se utilizează tranzistoare *pnp*, polarizate în clasă B, în montaj cu emitorul comun, care asigură o amplificare de putere mare.

Difuzorul se conectează de multe ori direct, fără a se folosi un condensator de cuplaj, care ar trebui să fie de valoare foarte mare pentru a nu produce o atenuare apreciabilă a tensiunii de ieșire în domeniul frecvențelor joase. Acest lucru este posibil folosind polarizarea tranzistoarelor cu două tensiuni egale și de sens contrar, în locul uneia singure de valoare dublă.

Pentru stabilizarea punctului de funcționare ales, în raport cu temperatura și dispersia de fabricație a parametrilor tranzistoarelor, se folosesc metode obișnuite: utili-

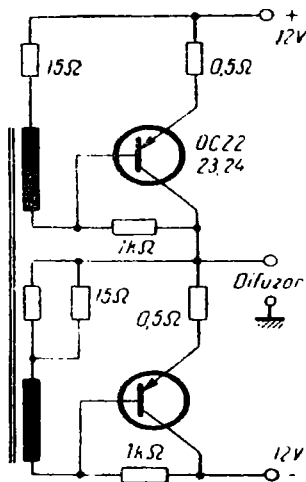


Fig. III.51. Etaj final fără transformator de ieșire echipat cu tranzistoare.

în locul uneia sin-

zarea unei reacții negative folosind rezistențe în circuitul de emitor (reacție serie) sau între colector și bază (reacție derivație) sau utilizarea unor elemente neliniare care compensează variațiile cu temperatura (diode, termistoare).

În cazul de față se folosesc rezistențe de valoare mică în circuitul de emitor și între bază și amitor.

Tranzistoarele de putere propriu-zise ale etajului final

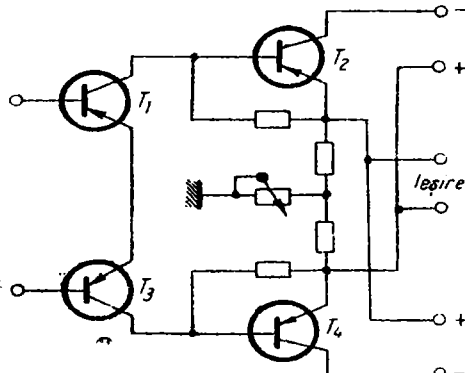


Fig.III.52. Etaj final cu tranzistoare având rezistența de intrare mărită prin adăugarea unor tranzistoare suplimentare.

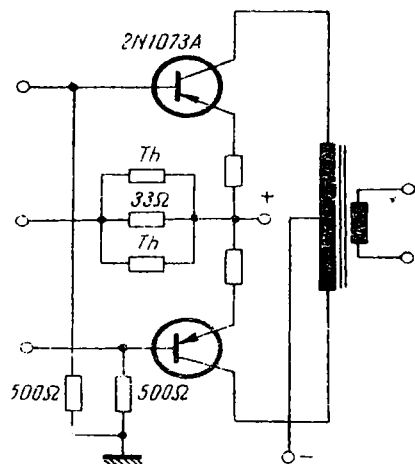


Fig.III.53. Etaj final cu tranzistoare, prevăzut cu transformator de ieșire.

sînt precedate uneori de tranzistoare suplimentare, în scopul măririi impedanței de intrare a schemei și deci al unei mai bune adaptări a etajului final cu cel prefinal, cum se vede în fig. III. 52.

În fig. III.53 este reprezentată schema unui etaj final prevăzut cu transformator de ieșire.

Aici, pentru stabilizarea termică se utilizează termistoare conectate în paralel pe rezistența de polarizare din circuitul de emitor.

Unele montajele folosesc tranzistoare complementare.

În ceea ce privește etajul prefinal, acesta este de regulă și inversor de fază. Numeroasele metode permînd obținerea unei inversări de fază cu tuburi electronice sînt în principiu aplicabile și în cazul tranzistoarelor.

În fig. III. 54 este prezentat un etaj prefinal constituit din două tranzistoare, lucrînd ca inversor de fază analog montajului cu cuplaj catodic, și dintr-un transformator ridicător.

Tranzistoarele folosite sînt de tip *pnp*. Pentru echilibrarea curenților lor de colector se folosește potențiometrul montat în circuitul de emitor. Transformatorul are dimensiuni mici și nu posedă întrefier, întrucît curenții continui ce-l străbat au o acțiune magnetizantă de sens contrar. Pentru micșorarea inductanței de scăpări, înfășurările secundare se bobinează împreună.

Uneori, pentru amortizarea rezonanțelor parazite ale transformatorului se conectează cîte un grup *RC* în paralel pe fiecare jumătate a înfășurării acestuia.

În alte scheme, tensiunile în antifază, necesare pentru excitarea tranzistoarelor finale,

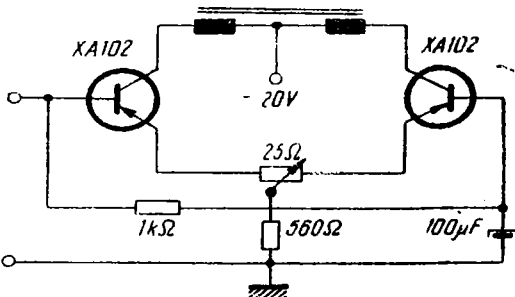


Fig.III.54. Inversor de fază cu cuplaj catodic echipat cu tranzistoare.

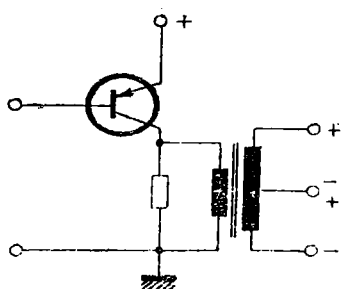


Fig.III.55. Inversor de fază cu tranzistoare utilizînd un transformator de desfazare.

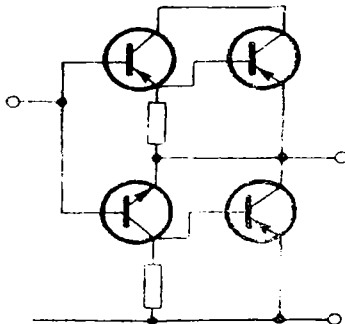


Fig.III.56. Schema pentru inversarea fazelor ajutorul unui tranzistor *npn*.

se obțin în înfășurările secundare ale transformatorului prefinal, cum se vede în fig. III. 55.

Des folosită pentru obținerea tensiunilor de excitare este schema din fig. III. 56, care folosește un tranzistor *npn*, ceea ce simplifică montajul și stabilizarea acestuia.

În schemele mai simple se folosește ca inversor de fază un montaj analog catodinei.

În sfîrșit, etajul de intrare, destinat pentru amplificarea semnalului furnizat de preamplificator și pentru aplicarea unei reacții negative globale, este realizat, în general, cu un tranzistor în montaj cu emitorul comun.

În fig. III. 57 este reprezentată schema de principiu a etajului de intrare.

Cerințele impuse acestuia sunt în principal următoarele: tranzistoarele trebuie să aibă o tensiune emitor-collector de valoare redusă și un curent de emitor, de asemenea, mic, pentru a reduce factorul de zgomot; tranzistoarele trebuie să fie de înaltă frecvență.

Se remarcă elementele C_2 , R_4 din circuitul de emitor, utilizate pentru stabilizarea montajului.

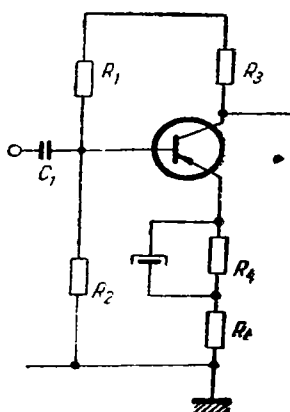


Fig.III.57. Schema de principiu a etajului de intrare al unui amplificator de putere cu tranzistoare.

Capitolul IV

IMBUNĂTĂIREA POSIBILITĂILOR DE EXPLOATARE A AMPLIFICATOARELOR DE ÎNALTA FIDELITATE

Realizarea unor parametri de valoare ridicată ai amplificatoarelor de înaltă fidelitate se asigură, în afara particularităților de montaj subliniate în capitolele precedente, prin aplicarea unei reacții eficace, prin respectarea anumitor detalii constructive și printr-un reglaj corespunzător.

1. REACȚIA ÎN AMPLIFICATOARELE DE ÎNALTĂ FIDELITATE

În amplificatoarele de înaltă fidelitate se folosesc de o potrivă reacția negativă și cea pozitivă de tensiune și curent.

Reacția negativă de tensiune este cel mai des utilizată datorită avantajelor considerabile pe care le oferă. Ea se folosește sub forma unei bucle globale și sub forma unor bucle de reacție locală; aceasta din urmă are ca scop stabilizarea în mai mare măsură a funcționării etajului respectiv, mărirea gradului de simetrie a tensiunilor de la ieșirea inversoarelor de fază etc.

Reacția pozitivă de tensiune și de curent se utilizează doar în unele scheme, în scopul măririi tensiunii alternative în anumite puncte ale montajului (acest tip de reacție provoacă mărirea distorsiunii neliniare, dar aplicând o reacție negativă de tensiune, aceasta poate fi redusă la valoarea admisă). Reacția de curent este folosită și pentru micșorarea impedanței de ieșire a amplificatorului.

Reacția negativă de curent (realizată, de obicei, prin folosirea unor rezistențe nedecuplate în catozii tuburilor) permite — cu unele excepții — obținerea acelorași avantajelor ca cele pe care le oferă reacția negativă de tensiune. Ea se folosește, în combinație cu reacția negativă de tensiune, pentru modificarea valorii factorului de amortizare.

In afara reacției de tensiune și curent utilizate în mod frecvent în amplificatoare, trebuie să se menționeze faptul că, în ultimii ani au fost folosite reacția proporțională cu viteza bobinei mobile a difuzorului sau cu presiunea acustică furnizată de difuzor, în scopul ameliorării calității reproducerii sonore. Foarte interesantă este ultima, ținând seamă de faptul că presiunea acustică este mărimea care impresionează urechea ascultătorului. Printre avatajele oferite de aceasta pot fi enumerate: obținerea unei presiuni acustice a cărei amplitudine este proporțională cu cea a tensiunii de la intrarea amplificatorului de putere și în fază cu aceasta, realizarea unui amortisment mare al difuzorului chiar cînd inducția în întrefier a acestuia este de valoare scăzută, suprimarea rezonanțelor difuzorului și cutiei de difuzor, existente în regiunea frecvențelor joase și micșorarea în măsură apreciabilă a distorsiunii neliniare în domeniul acestor frecvențe, posibilitatea folosirii unei cutii de difuzor de dimensiuni reduse cu rezultate asemănătoare celor ce se obțin folosind cutii de difuzor de dimensiuni mari și special studiate în ceea ce privește producerea frecvențelor joase etc.

a. Circuite de reacție

În preamplificatoare se utilizează, în general, reacția negativă de tensiune sub forma unor bucle locale și în același mod reacția negativă de curent.

În amplificatoarele de putere, circuitul de reacție utilizat în mod curent este cel reprezentat în fig. IV.1 prin care se realizează o reacție negativă de tensiune.

Tensiunea de reacție se aplică în catodul primului tub al amplificatorului de putere prin intermediul divizorului rezistiv R_1R_2 , conectat în derivație pe secundarul transformatorului de ieșire. Pentru ca rezistențele R_1 și R_2 să nu consume o parte importantă din puterea de ieșire, trebuie ca suma acestora să fie de cel puțin 20 ori mai mare decît rezistența de sarcină a amplificatorului.

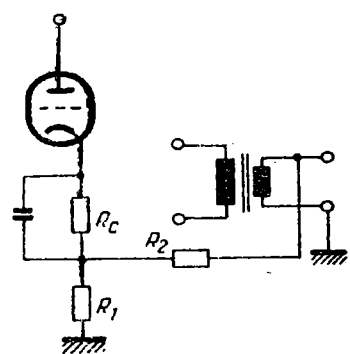


Fig. IV.1. Circuit de reacție negativă globală.

În mod obișnuit acest lucru se realizează folosind o rezis-

tență R_2 de valoare foarte mare; rezistența R_1 are o valoare redusă pentru ca reacția de curent pe care o provoacă în etajul de intrare să nu reducă prea mult amplificarea acestuia. Deoarece R_1 are o valoare mică, negativarea tubului din primul etaj se obține prin rezistența R_c de valoarea necesară. Uneori R_c lipsește, rezistența R_1 servind și pentru negativarea tubului.

Dimensionarea rezistențelor R_1 și R_2 se face în funcție de gradul de reacție negativă impus de valoarea parametrilor care trebuie realizati. Se determină mai întâi rezistența R_1 din considerente de negativare, apoi se determină rezistența R_2 , folosind relația:

$$R_2 \approx \frac{R_1}{m-1} A \sqrt{\frac{R_s}{\eta \cdot R_{aa}}},$$

în care: A este amplificarea fără reacție a amplificatorului de putere (raportul dintre tensiunea măsurată în primarul transformatorului de ieșire și tensiunea aplicată la grila primului tub); R_s este rezistența de sarcină; η este randamentul transformatorului de ieșire; R_{aa} este impedanța optimă de sarcină a etajului final, iar m este numărul care exprimă mărimea gradului de reacție.

Relația de mai sus scoate în evidență dependența rezistenței de reacție R_2 de rezistența de sarcină R_s . Aceasta face ca la schimbarea difuzorului conectat în secundarul transformatorului de ieșire să fie modificată și rezistența R_2 , pentru ca mărimea gradului de reacție negativă să rămână neschimbată. De exemplu, dacă pentru o rezistență de sarcină de 9Ω este necesară o rezistență de reacție de $3 \text{ k } \Omega$, pentru o valoare a rezistenței de sarcină de 16Ω este necesară o rezistență de reacție de $4 \text{ k } \Omega$.

Uneori, tensiunea de reacție negativă globală se obține la bornele unei înfășurări diferite de înfășurarea secundară a transformatorului de ieșire, aplicându-se apoi la catedul primului tub, la fel ca în schema din fig. IV.1. Adoptarea acestei soluții permite să se micșoreze riscul amorsării unor oscilații parazite de frecvențe foarte înalte, inductanța de scăpări dintre înfășurarea primară și cea de reacție fiind mai mică decât cea dintre înfășurarea primară și cea secundară.

Ea are dezavantajul că nu compensează toate distorsiunile care apar în transformatorul de ieșire.

Pentru realizarea reacției negative de tensiune locale se folosesc rezistențe comune între anozii a două tuburi succesive.

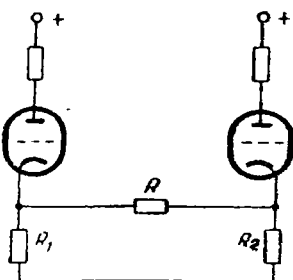


Fig. IV.2. Schemă cu reacție pozitivă de curent.

Reacția pozitivă de tensiune se folosește, după cum s-a menționat, în anumite scheme; asemenea situație se întâlnește la amplificatorul fără transformator de ieșire în etajul prefinal. În același amplificator se utilizează în unele scheme o reacție pozitivă de curent între primul etaj și etajul inversor de fază. Aceasta se obține conectând o rezistență de valoare potrivită între catozii tuburilor care lucrează în etajele menționate, cum se vede în fig. IV.2.

b. Stabilitatea amplificatoarelor de putere de înaltă fidelitate

Un amplificator de putere supus la o reacție negativă puternică prezintă întotdeauna riscuri de instabilitate, cu atât mai mari cu cât defazajul între tensiunea de ieșire și cea de intrare este mai mare. În domeniul frecvențelor înalte defazajul este produs de inductanța de scăpări a transformatorului de ieșire și de capacitatele parazite ale montajului, iar în domeniul frecvențelor joase de grupurile RC de cuplaj între etaje și de inductanța înfășurării primare a transformatorului de ieșire. Pentru a fi posibilă aplicarea unei reacții puternice este necesar ca aceste defazaje să fie cât mai mici.

În amplificatoarele de putere de înaltă fidelitate, în care reacția negativă este foarte puternică (20—30 dB), iar numărul etajelor cuprinse în buclă de reacție este mai mare decât trei, pericolul de oscilație parazită este deosebit de mare, condițiile de instabilitate fiind ușor de îndeplinit.

Pentru ca amplificatorul să nu oscileze sau să nu manifeste tendința de oscilație pe frecvențe foarte înalte sau foarte joase sunt necesare anumite precauții.

Pentru asigurarea stabilității, în afara folosirii unui transformator de ieșire de mare calitate și a executării unui montaj deosebit de îngrijit, se utilizează și anumite rețele de corecție care modifică caracteristica de frecvență și de

fază a amplificatorului de putere sau se iau alte măsuri eficiente în același scop.

Astfel, pentru asigurarea stabilității la frecvențe joase, se caută să se reducă numărul grupurilor RC de cuplaj între etaje. De aceea, în cele mai multe amplificatoare de putere de înaltă fidelitate cuplajul între etajul de intrare și etajul inversor de fază se face direct. În același scop, valoarea constantelor RC ale grupurilor menționate trebuie să difere de la un etaj la altul. Uneori, pentru micșorarea defazajului la frecvențe joase se elimină condensatoarele de decuplare din catozi, iar rezistențele din divizorul de ecran (în cazul pentodelor) se iau de valoare redusă.

Pentru asigurarea stabilității la frecvențe înalte se folosesc, în special, două tipuri de rețele corectoare. Una dintre acestea se obține conectând în paralel cu rezistența de reacție R_2 (fig. IV.1) un condensator de valoare potrivită. Circuitul astfel obținut provoacă o rotație de fază care compensează pe cea datorită inductanței de scăpări a transformatorului de ieșire. Valoarea capacității C se determină cu ajutorul relaiei $C = \frac{1}{6,28 f R_2}$, în care f este frecvența înaltă la care se manifestă tendința de oscilație. În practică, valoarea produsului CR_2 este cuprinsă aproximativ între 0,6 și 1,8 μ s. În mod obișnuit, valoarea lui C se determină pe cale experimentală, urmărindu-se comportarea amplificatorului, cu ajutorul unui oscilograf catodic, cînd la intrarea lui se aplică un semnal de unde dreptunghiulare cu frecvență de repetiție 10 sau 20 kHz; se alege valoarea lui C pentru care forma impulsurilor este cea mai bună. Trebuie să se menționeze că o dată cu modificarea rezistenței R_2 este necesar să se adopte și pentru C o altă valoare. Astfel, dacă R_2 a crescut de două ori, de exemplu, C trebuie să scadă de același număr de ori, pentru a se păstra neschimbate condițiile de stabilitate a montajului.

Celălalt tip de rețea corectoare întîlnit în amplificatoarele de putere de înaltă fidelitate este realizat sub forma unui circuit serie RC , care, de obicei, se inserează în anodul primului tub al amplificatorului. Acest circuit este reprezentat în fig. IV.3.

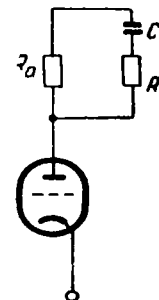


Fig. IV.3. Rețea corectoare de fază.

Aceasta produce o atenuare la frecvențe înalte, cu o mică rotație a fazei, mărind stabilitatea montajului. Frecvențele la care începe și se termină atenuarea introdusă de această rețea în curba de răspuns a amplificatorului au expresiile:

$$f_1 = \frac{1}{6,28 C (R + R_a)} \text{ și respectiv } f_2 = \frac{1}{6,28 CR}.$$

În amplificatoarele ultraliniare se iau uneori și măsuri suplimentare pentru asigurarea stabilității de funcționare. Astfel, pentru a se evita comportarea etajului final ca un oscilator Colpits (determinată de transformatorul de ieșire necorespunzător), se conectează între ecranul și anodul fiecărui tub de ieșire cîte o capacitate de 500 — 1 000 pF. Pentru stabilizarea etajului final, în unele scheme se folosesc rezistențe de aproximativ 1 k Ω , introduse în circuitul de ecran a tuburilor finale.

În unele amplificatoare ultraliniare, pentru mărirea stabilității se folosește uneori o capacitate de ordinul zecilor de picofarazi, conectată între ecranul unuia din tuburile finale și punctul în care se leagă grupul CR_2 la catodul tubului de intrare.

În sfîrșit, în unele amplificatoare ultraliniare, pentru înălțurarea oricărui risc de oscilație parazită se utilizează neutroдинarea pe ecran a tuburilor finale. În acest scop se conectează între grila unui tub și ecranul celuilalt un condensator de valoare potrivită; reglajul se face aplicînd la grilele tuburilor finale un semnal alternativ de cîțiva volți și reglînd condensatoarele pînă cînd tensiunea măsurată pe ecran este nulă, tuburile fiind neîncălzite la filament.

c. Reglarea factorului de amortizare

În primul capitol a fost subliniată necesitatea stabilirii unei valori optime pentru factorul de amortizare în legătură cu calitatea reproducerei sonore.

Ajustarea factorului de amortizare la valoarea necesară se realizează cu ajutorul reacției. Există nenumărate soluții în acest sens, după tipul de reacție și după modul de realizare constructivă. Oricare ar fi aceasta însă, se impune ca sesibilitatea amplificatorului să fie independentă de factorul de amortizare și de asemenea ca circuitul care permite reglarea acestuia să fie independent de frecvență.

Una dintre schemele care permite ajustarea factorului de amortizare în aceste condiții este cea reprezentată în fig. IV.4.

Aceasta folosește în acest scop reacția negativă de tensiune și de curent. Tensiunea de reacție negativă se aplică prin rezistența R_3 , iar reacția negativă de curent datorită lui R_2 . Rezistențele variabile R_1 și R_2 sunt astfel realizate, încât creșterea gradului de reacție de tensiune antrenează o reducere a gradului reacției de curent.

O altă schemă, care îndeplinește aceeași funcție, este reprezentată în fig. IV.5.

Amortismentul difuzorului este comandat printr-o reacție negativă de tensiune fixă și o reacție de curent variabilă ca amplitudine și fază, ambele aplicate în circuitul de intrare. Tensiunea proporțională cu curentul, care parcurge bobina mobilă a difuzorului, este adusă prin intermediul lui P_1 , C_1 , R la catodul primului tub al amplificatorului de putere, unde se adaugă la reacția negativă de tensiune globală aplicată prin rezistența R_1 . Pentru o anumită poziție a cursorului potențiometrului P_1 , tensiunea proporțională cu curentul este nulă și nu există reacție de curent. Când cursorul lui P_1 este în poziția 1, reacția de curent este pozitivă și impedanța de ieșire a amplificatorului scade. Când cursorul lui P_1 este în poziția 2, reacția de curent este negativă și ca urmare impedanța de ieșire crește, deci amortismentul scade.

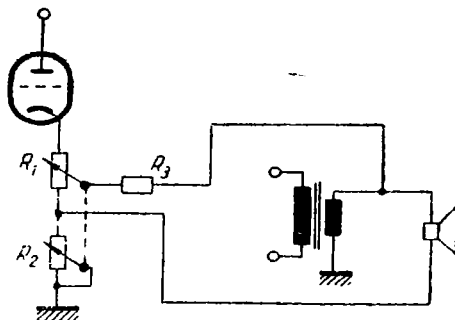


Fig. IV.4. Schemă simplă pentru ajustarea factorului de amortizare.

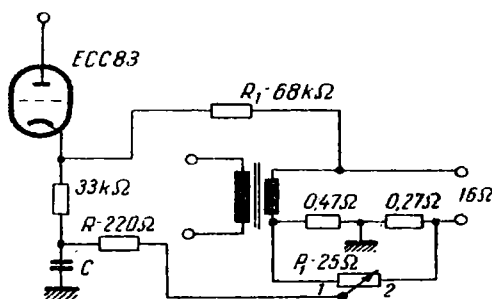


Fig. IV.5. Schemă pentru ajustarea factorului de amortizare utilizând o reacție negativă de tensiune fixă și una variabilă de curent.

Pentru limitarea factorului de amortizare la frecvențe joase se utilizează filtrul R_1C .

2. DETALII DE CONSTRUCȚIE

La realizarea amplificatoarelor de înaltă fidelitate se impun anumite măsuri constructive, în vederea obținerii unor parametri de valoare ridicată și a menținerii acestora în timp.

Măsurile care se recomandă se referă, în general, la amplasarea judicioasă a elementelor montajului, la executarea cablajului, la calitatea materialelor folosite și la toleranța admisă pentru unele elemente, la adoptarea unor soluții specifice privind alimentarea etajelor etc.

În ceea ce privește cablajul, acesta trebuie să fie cât mai scurt și îngrijit realizat, pentru a se evita cuplajele parazite dăunătoare stabilității montajului și mărirea capacitatilor parazite care provoacă îngustarea benzii de frecvență a amplificatorului. Este recomandabil ca piesele componente să fie montate pe reglete într-o ordine rațională, îndeplinind astfel cerințele de mai sus și ușurînd munca de realizare, verificare și depanare a montajului. Modul de realizare a cablajului are o influență foarte mare și asupra raportului semnal/zgomot al intrărilor de nivel mic. Pentru a nu înrăutăți acest raport, trebuie respectate anumite cerințe privind executarea conexiunilor de masă, în special în cazul preamplificatorului. Astfel, toate masele aceluiși etaj se reunesc la cheia soclului tubului respectiv, iar aceasta se leagă printr-un fir izolat de secțiune mare într-un punct al șasiului situat cât mai aproape de intrarea preamplificatorului. În acest punct al șasiului se leagă în mod asemănător și masele celorlalte etaje ale preamplificatorului, precum și masele celorlalte componente ale montajului, aşa cum se vede în fig. IV. 6. În acest fel se evită crearea unor tensiuni parazite de frecvență rețelei acționînd între grilă și catod, ca urmare a trecerii curenților de întoarcere ai alimentării prin șasiu. În cazul amplificatoarelor de putere condițiile sunt mai puțin severe; în mod obișnuit se utilizează un fir de masă comun, (de mare secțiune), legat într-un singur punct la șasiu la care se conectează eleme-tele corespunzătoare.

Protecția contra zgomotului de frecvență rețelei (brum), provenind din cablurile de alimentare a filamentelor, se realizează prin torsadarea acestora. În majoritatea cazurilor

se adoptă anumite metode speciale pentru reducerea acestui zgomot; una dintre acestea constă în utilizarea unui potențiometru entbrumer, așezat în apropierea tubului de intrare al preamplificatorului (poziția acestuia este critică și se stabilește prin încercări). Dacă acesta are o poziție necorespunzătoare, nu se poate obține minimul de zgomot al tubului de intrare, iar uneori zgomotul chiar crește.

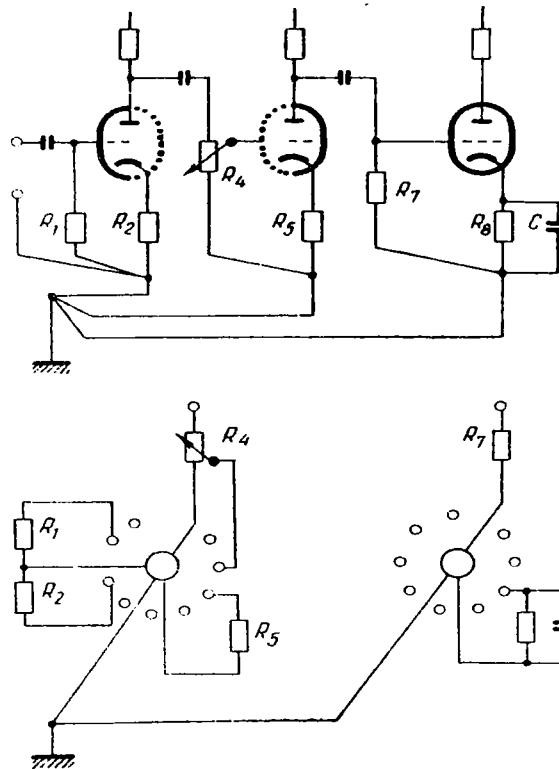


Fig.IV.6. Legarea corectă la masă a conexiunilor preamplificatorului.

Cablurile utilizate pentru conectarea surselor de program la preamplificator trebuie să fie cât mai scurte, pentru reducerea influenței cîmpurilor magnetice perturbatoare și a capacității cablului, care îngustează caracteristica de frecvență. În cazul dozelor magnetice de mare impedanță este necesar să se utilizeze un cablu de capacitate redusă, pentru ca rezonanța serie care se produce (cu inductanța dozei) să cadă la o frecvență din afara spectrului audio.

Pentru evitarea influenței acestor cîmpuri parazite se folosesc cabluri din conductoare răscuite, cabluri blindate sau cablu coaxial, atît între doză și selector cît și între acesta și tubul de intrare. În ceea ce privește cablul blindat, se recomandă folosirea acestuia numai în cazul surselor de program conectate la preamplificator prin intermediul unui transformator, adică acolo unde este vorba de un cablaj simetric. Această limitare este impusă de creșterea capacitatei cablului în cazul legării unuia dintre firele sale cu blindajul (pentru exemplificare se pot prezenta următoarele date: un cablu blindat are aproximativ 30 pF/m între fire, dar depășește 200 pF/m dacă se unește un fir cu blindajul). Cablul coaxial de tipul celui utilizat în televiziune este mai recomandabil, avînd o capacitate de aproximativ 80 pF/m în cazul cablajului asimetric.

Dacă se folosește un transformator ridicător de tensiune între sursa de program furnizînd un semnal mic (doză magnetică, microfon electrodinamic etc.) și tubul de intrare al preamplificatorului, acesta trebuie foarte bine ecranat.

Cablul de legătură între preamplificator și amplificator este asemănător celui de la intrarea preamplificatorului. Dacă etajul de ieșire al preamplificatorului este un repetor catodic, cablul de legătură între acesta și amplificator poate fi practic oricît de lung, fără a fi introduse distorsiuni de frecvență apreciabile; dacă ieșirea se face pe anod însă, cablul trebuie să aibă o lungime anumită (de exemplu, în cazul utilizării unui potențiometru de ieșire de $100 \text{ k}\Omega$, valoare întîlnită de obicei în etajul de ieșire, un cablu de 2 m lungime este acceptabil, el neprovocînd o atenuare sensibilă la 20 kHz).

Pentru reducerea nivelului de zgomot este necesară separarea preamplificatorului de amplificatorul de putere; acesta din urmă se realizează pe același șasiu cu sursa de alimentare comună și pentru preamplificator. În acest fel, primele etaje ale preamplificatorului sunt departe de transformatorul de rețea și bobina de soc de filtraj și pot fi totodată amplasate în apropierea surselor de program, fără pericolul inducerii unor tensiuni parazite în sursa de program sau în dispozitivele de comandă ale preamplificatorului. În unele montaje se utilizează ecrane metalice pentru primele tuburi și chiar pentru diversele elemente corectoare (circuite de ton etc.).

În vederea realizării unui raport semnal/zgomot corespunzător este necesar un filtraj bun al tensiunii anodice.

În același scop, dacă negativarea primului tub se realizează prin rezistență, aceasta trebuie sănătă cu un condensator de valoare mare (25—50 μ F). Dacă rezistența catodică a primului tub servește și pentru aplicarea reacției negative, se recomandă utilizarea unei rezistențe cu strat, de gabarit redus sau a uneia bobinată, sănătă de un condensator de 3 000 — 5 000 pF.

În ceea ce privește materialele folosite, acestea trebuie să fie de calitate superioară. Soclurile utilizate trebuie să fie de bună calitate (calit, steatit etc.) pentru evitarea curenților de fugă între filament și catod și a unor capacitați mari între contactele lor.

Pentru evitarea microfoniei se recomandă utilizarea în primul etaj al preamplificatorului a unor tuburi speciale antimicrofonice; în cazul unor tuburi obișnuite, se recomandă montarea soclului acestora pe un suport elastic (pentru păstrarea elasticității suportului se recomandă folosirea unor sîrme lițate pentru realizarea conexiunilor la contactele soclului).

Pentru micșorarea zgomotului de fond al tuburilor se recomandă utilizarea în primul etaj al preamplificatorului a unor triode cu pantă mare. În ultimii ani au fost realizate pentode cu rezistență echivalentă de zgomot redusă (EF86, EF804, etc) care se folosesc în majoritatea preamplificatoarelor moderne. Ca tub final se recomandă pentoda EL34, care prezintă mari garanții de funcționare atât în ceea ce privește caracteristicile inițiale cât și păstrarea lor în timp.

Rezistențele utilizate se recomandă să fie cu strat de gabarit redus și având puterea nominală superioară celei efectiv disipată în ele (de obicei dublă), pentru ca prin încălzirea acestora să nu crească nivelul de zgomot; aceasta asigură și o stabilitate în timp a valorii rezistențelor, în cursul funcționării. În vederea asigurării funcționării în timp, rezistențele utilizate trebuie să aibă o toleranță de fabricație de 2 — 5%. O mare precizie se cere rezistențelor utilizate în rețelele de egalizare și circuitele de tonalitate din preamplificator, în etajul inversor de fază, în etajul prefinal, în circuitul de negativare al etajului final, în toate circuitele de reacție. Se admite, de asemenea, o mică abatere între valorile rezistențelor care în schemă au valori egale (1 — 2%). Rezistențele folosite în catozii tuburilor finale sunt, de obicei, bobinate și cu toleranță $\pm 1\%$.

Condensatoarele utilizate trebuie să fie, de asemenea, de bună calitate. În ceea ce privește toleranțele admise, acestea sunt asemănătoare celor menționate în cazul rezistențelor. În circuitele de reacție negativă, tonalitate, filtre etc, se recomandă folosirea unor capacitați cu mică sau ceramică, pentru valori sub 10 nF. Se mai folosesc condensatoare cu hîrtie și armături metalice etc.

În legătură cu potențiometrul de volum, acesta trebuie să aibă o valoare cu atât mai mică, cu cât cablul de intrare este mai lung, în cazul conectării sale la intrarea preamplificatorului.

Cablul prin care se conectează difuzorul la etajul final influențează caracteristica de frecvență doar în cazul unei lungimi excesive. În general, efectul inducției (L) și capacitații (C) ale cablului asupra atenuării depinde de rezistența de ieșire (R_{ies}) a amplificatorului și de rezistența de sarcină (R_s) a acestuia. Dacă $R_{ies} \ll \frac{1}{\omega C}$ atenuarea frecvențelor înalte este mică.

În problema transformatorului, se recomandă bobinarea spiră lîngă spiră; în cazul unui număr mic de spire, acestea se bobinează larg pentru a ocupa un strat întreg.

În cazul utilizării unor înfășurări în paralel, acestea trebuie să aibă un număr de spire riguros identice în caz contrar creindu-se spire sau porțiuni de spire în scurtcircuit cu acțiune nedorită asupra comportării transformatorului.

3. METODE DE MĂSURĂ PRIVIND AMPLIFICATOARELE

Pentru efectuarea unui reglaj optim al amplificatoarelor de joasă frecvență este necesară măsurarea parametrilor acestora.

a. Generalități

Pentru valabilitatea măsurătorilor efectuate trebuie respectate anumite condiții generale, printre care:

— tensiunea rețelei să nu devieze cu mai mult de 1% de la valoarea nominală;

— dacă funcționarea amplificatorului este afectată sensibil de caracteristicile unuia sau a mai multor tuburi electронice, măsurătorile se fac cu tuburi selecționate, ale căror caracteristici diferă cu mai puțin de 10% din cele indicate în cataloage;

— tensiunea sinusoidală folosită pentru măsurări trebuie să aibă o distorsiune armonică mult mai mică decât cea indicată de constructorul amplificatorului pentru acesta (de circa 5 ori); frecvența acesteia poate să difere de cea indicată în datele amplificatorului cu mai puțin decât 2%;

— sarcina amplificatorului trebuie să fie o rezistență pură, în absența unor indicații speciale;

— legătura cu rețeaua trebuie făcută în aşa fel încât să apară un brum minim în cazul amplificării maxime.

— comenziile de volum și cele care au rolul de a modifica amplificarea se regleză inițial corespunzător amplificării maxime; circuitele de tonalitate și cele care au rolul de a modifica caracteristica de frecvență se regleză inițial corespunzător răspunsului celui mai uniform;

— impedanța de intrare a instrumentelor folosite (voltmetrul, oscilograful, distorsionometrul etc.) trebuie să fie mult mai mare decât impedanța existentă între punctele care se măsoară, pentru ca ele să nu afecteze măsurătoarea;

— se recomandă observarea permanentă a tensiunii de ieșire pe ecranul oscilografului, pentru a se controla dacă amplificatorul este supraîncărcat, dacă oscilează etc.

b. Metode de măsurare.

Puterea nominală de ieșire. Se încarcă amplificatorul cu sarcina nominală. Se aplică la intrarea amplificatorului un semnal de frecvență specificată, al cărui nivel se regleză pînă la valoarea pentru care factorul de distorsiune armonică are valoarea indicată. Se măsoară tensiunea eficace (U_s) la bornele rezistenței nominale de sarcină (R_s) și se calculează puterea cu ajutorul relației $P_s = \frac{U_s^2}{R_s}$.

Dacă nu se indică o anumită frecvență de măsură, se alege secvența de 1 000 Hz.

În cazul amplificatorului cu mai multe canale, frecvența de măsură este cu cel puțin două octave sub frecvența de separație pentru canalul de frecvențe joase și cu cel puțin două octave peste frecvența de separație pentru canalul de frecvențe înalte.

În mod obișnuit, se trasează graficul variației puterii în funcție de frecvență pentru o distorsiune armonică indicată.

Uneori se măsoară și puterea de vîrf a amplificatorului. Aceasta reprezintă puterea care se obține pentru tensiunea de ieșire maxim posibilă. Se mărește tensiunea de intrare pînă cînd valoarea eficace a tensiunii de la ieșirea amplificatorului nu mai crește.

De obicei, puterea nominală este jumătate din puterea de vîrf.

Sensibilitatea. Se aplică la intrare un semnal sinusoidal de 1 000 Hz și se regleză valoarea acestuia pînă cînd se obține puterea nominală de ieșire sau tensiunea nominală de ieșire.

Caracteristica de frecvență. Se aplică la intrarea amplificatorului un semnal sinusoidal de 1 000 Hz și de amplitudine dată. Se măsoară tensiunea (U_{s0}) la ieșirea amplificatorului. Se menține constantă amplitudinea semnalului de la intrare, schimbîndu-se frecvența acestuia. Se măsoară tensiunea de ieșire (U_s) corespunzătoare tuturor frecvențelor. Raportul $20 \lg \frac{U_s}{U_{s0}}$ definește caracteristica de frecvență a amplificatorului. Măsurarea se face cu un semnal de intrare căruia îl corespunde o tensiune de ieșire inferioară cu 10 dB tensiunii nominale (dar cu cel puțin 20 dB deasupra zgomotului).

Se repetă aceste măsurări pentru fiecare din caracteristicile de frecvență care trebuie evaluate: reglaj de tonalitate, egalizare etc.

Distorsiunea armonică. Se aplică la intrarea amplificatorului un semnal de frecvență specificată. Se măsoară tensiunea de ieșire U_{s0} . Cu ajutorul unui filtru, conectat la bornele rezistenței de sarcină, se elimină prima armonică a tensiunii de ieșire, măsurîndu-se doar tensiunea eficace a celor lalte armonici, U_s . Raportul celor două mărimi reprezintă factorul de distorsiune armonică, care se exprimă în procente: $d\% = \frac{U_s}{U_{s0}} \cdot 100$.

Factorul de distorsiune armonică se măsoară la 1 000 Hz cînd se utilizează o singură frecvență sau la 40, 1 000, 5 000, 15 000 Hz cînd se utilizează mai multe frecvențe.

Relativ la nivelul de măsură, cînd se utilizează unul singur, acesta este cel corespunzător condițiilor nominale de funcționare. Cînd se utilizează mai multe nivele, acestea sănt nivelul nominal, un nivel cu 3 dB sub cel nominal și altul cu 20 dB sub cel nominal.

Pentru măsurările menționate se utilizează montajul din fig. IV 7.

Distorsiunea de intermodulație. Se aplică simultan la intrarea amplificatorului două semnale sinusoidale având un anumit raport între amplitudini. La ieșire, în paralel pe

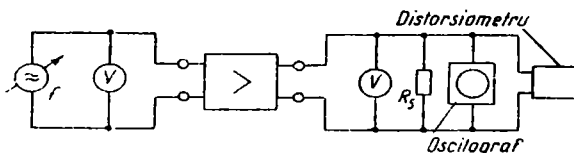


Fig. IV. 7. Montaj pentru măsurarea puterii nominale de ieșire, a sensibilității, a caracteristicii de frecvență și a distorsiunii armonice la amplificatoare.

rezistența de sarcină, se conectează un filtru trece-sus, care lasă să treacă frecvențele f_2 și combinațiile $f_2 - f_1$, $f_2 + f_1$, $f_2 - 2f_1$, $f_2 + 2f_1$ ale căror amplitudini și frecvențe sunt apreciate cu ajutorul unui analizor cu bandă de trecere suficient de îngustă.

Factorul de distorsiune de intermodulație se exprimă în procente și are expresia:

$$d_i \% = \frac{\sqrt{U_{f_2-f_1}^2 + U_{f_2+f_1}^2 + U_{f_2-2f_1}^2 + U_{f_2+2f_1}^2}}{U_{f_2}}.$$

În ceea ce privește frecvențele de măsură, acestea se aleg astfel, încât să nu aibă armonici comune în gama pînă la 15 000 Hz. Astfel, potrivit unor recomandări, frecvențele de măsură pot avea valorile din tabela IV. 1.

Tabela IV.1

f_1 , Hz	40	42	50	60	71	140	250	400
f_2 , kHz	6	5	7	12	2,5	10	8	4

În ceea ce privește amplitudinea acestora, tensiunea de frecvență inferioară are o amplitudine de patru ori mai mare decît tensiunea la frecvență înaltă.

Tensiunea totală se reglează astfel, încit să corespundă condițiilor nominale de funcționare a amplificatorului.

În fig. IV.8 este reprezentat un montaj utilizat pentru efectuarea acestei măsurări.

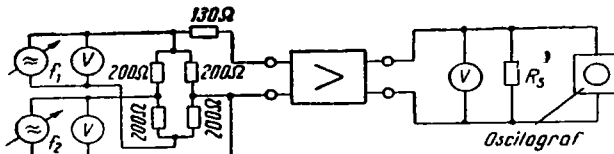


Fig. IV.8. Montaj pentru măsurarea distorsiunii de intermodulație a amplificatoarelor.

Raportul semnal/zgomot. Se aplică un semnal de frecvență 1 000 Hz corespunzător puterii nominale de ieșire (comenziile de volum sunt la maxim). Se măsoară valoarea eficace a tensiunii de ieșire U_s . Se repetă măsurătoarea de mai sus cu bornele de intrare ale amplificatorului în scurtcircuit, măsurându-se valoarea eficace a tensiunii de zgomot U_z . Raportul semnal/zgomot este dat de relația $20 \lg \frac{U_s}{U_z}$.

Uneori, tensiunea de zgomot se măsoară printr-un filtru (filtru de pondere) având o anumită caracteristică de frecvență care ține seama de unele proprietăți fiziolegice legate de auz.

Impedanța de ieșire. Există mai multe metode prin care se măsoară impedanța de ieșire a unui amplificator.

Una dintre acestea constă în următoarele: se alimentează ieșirea amplificatorului de la un generator (fig. IV.9), se măsoară tensiunea și curentul furnizate de acesta. În

aceste condiții mărimea impedanței de ieșire este dată de relația $Z_{ies} = \frac{U}{I}$. Intrarea amplificatorului este în scurt-circuit.

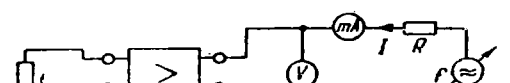


Fig. IV.9. Montaj pentru măsurarea impedanței de ieșire a amplificatoarelor.

O mare răspîndire a căpătat metoda care permite determinarea rezistenței de ieșire (în mod obișnuit partea reactivă a impedanței de ieșire este mică în comparație cu cea rezisitivă) folosind o rezistență de sarcină pentru care tensiunea

(U_s) la bornele acesteia este jumătate din tensiunea (U_g) măsurată la ieșirea amplificatorului cu sarcină deconectată (gol). În acest scop se utilizează montajul din fig. IV.10,b.

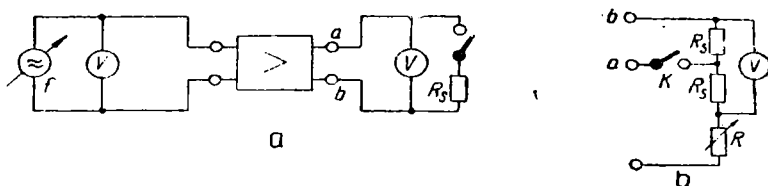


Fig. IV.10. Montaj pentru măsurarea rezistenței de ieșire a amplificatoarelor:

a — folosind tensiunea la ieșirea amplificatorului în sarcină deconectată; b — în condiții nominale de funcționare a amplificatorului.

Cu ajutorul schemei menționate se poate stabili cu ușurință expresia rezistenței de ieșire a amplificatorului:

$$R_{ies} = R_s \cdot \frac{U_s - U_s}{U_s}.$$

Pentru $U_s = \frac{1}{2} U_g$, rezultă $R_{ies} = R_s$.

Deși se utilizează în foarte mare măsură, această metodă prezintă o serie de inconveniente, care fac ca determinarea rezistenței de ieșire să nu fie riguroasă. Astfel:

— condițiile de măsură sunt departe de regimul de lucru al amplificatorului;

— în cazul amplificatorului cu transformator de ieșire sarcina se schimbă de la o inductanță pură (gol) la o rezistență activă de valoare redusă (regimul $R_s = R_i$), încât nu se păstrează constanța tensiunii de la ieșire și apar distorsiuni ale acestieia;

— în cazul unei reacții negative puternice, cînd rezistența de ieșire scade la fracțiuni de ohm, se introduc erori la citirea tensiunii pe jumătate, deoarece intervin rezistența conductoarelor etc.

Măsurarea rezistenței de ieșire în condiții nominale de funcționare a amplificatorului se poate efectua folosind montajul din fig. IV.10, a, la care între punctele a și b se introduce rețeaua dintre fig. IV.10, b.

Operația de măsurare constă în varierea rezistenței R pînă cînd indicațiile voltmetrului sunt aceleasi și cu comutatorul k deschis și închis. În aceste condiții, $R_i = R$.

Cînd $R_i \ll R_s$, este necesar să se utilizeze voltmetre de precizie, care permit măsurarea unor schimbări mici ale tensiunii de ieșire.

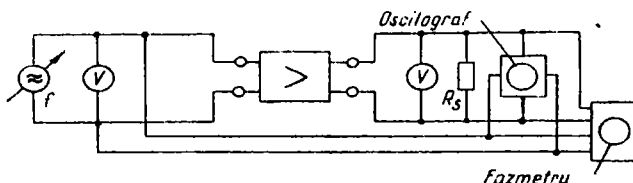


Fig. IV.11. Montaj pentru aprecierea caracteristicii de fază a amplificatoarelor.

Relativ la frecvența de măsurare se utilizează cel puțin trei frecvențe corespunzătoare mijlocului și celor două extremități ale benzii de frecvență a amplificatorului.

Caracteristica de fază. Se măsoară diferența de fază între tensiunea de ieșire și intrare în condiții nominale de funcționare a amplificatorului. Aceasta se exprimă în grade și se reprezintă în funcție de frecvență. Se măsoară cu ajutorul unui fazmetru sau cu ajutorul oscilografului (fig. IV.11).

Încercarea amplificatorului în impulsuri. În mod obișnuit se folosește această încercare pentru a aprecia comportarea amplificatorului din punctele de vedere al distorsiunii de anzitorii, al distorsiunii de frecvență și al stabilității de funcționare. La intrarea amplificatorului se aplică impulski dreptunghiulare avînd frecvență de repetiție variabilă, iar la

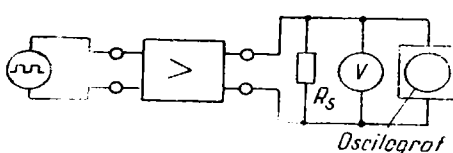


Fig. IV.12. Montaj pentru încercarea amplificatorului în impulsuri.

ieșire se urmărește pe ecranul unui oscilograf semnalul care rezultă (fig. IV.12).

Distorsiunea de frecvență se apreciază în domeniul frecvențelor joase după abaterea de la linia dreaptă a palierului impulsurilor, iar în domeniul frecvențelor înalte după înclinarea față de verticală a frontului impulsului, în fig. IV.13

sunt reprezentate impulsurile dreptunghiulare aplicate unui amplificator și cele reproduse de acesta la diverse frecvențe.

Stabilitatea amplificatorului se poate aprecia în funcție de forma impulsurilor de la ieșirea amplificatorului. Dacă

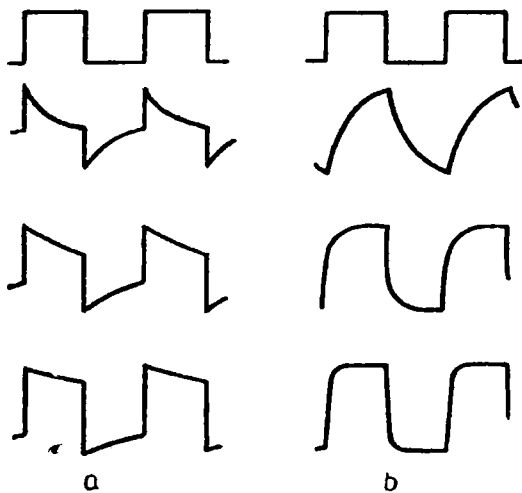


Fig. IV.13. Răspunsul amplificatoarelor la impulsuri dreptunghiulare:
a – la frecvențe joase; b – la frecvențe înalte.

pe palierul impulsurilor apar oscilații amortizate cu mai multe perioade, ca în fig. IV.14, aceasta înseamnă că amplificatorul este instabil. Cu ajutorul imaginii de pe ecran se poate determina frecvența oscilațiilor proprii ale amplificatorului: $f_{oscil} = f_d \cdot \frac{b}{a}$, în care f_d este frecvența de repetiție a impulsurilor dreptunghiulare, iar b și a au semnificațiile din fig. IV. 14.

Încercarea la stabilitate a amplificatorului se poate efectua și cu ajutorul unui semnal sinusoidal aplicat la intrarea acestuia. Instabilitatea se manifestă prin apariția unor oscilații pe sinusoidă, ca în fig. IV.15. Fenomenul este mai frecvent la frecvențe joase unde situația amplificatorului se schimbă lent și este timp pentru apariția oscilațiilor.

Măsurarea transformatoarelor de ieșire. Transformatorul de ieșire trebuie să fie măsurat înainte de a fi utilizat între un amplificator de putere, mai ales cind acesta este de calitate superioară.

La un transformator de ieșire se pot măsura multe mărimi: rezistența în curent continuu a înfășurărilor, raportul de transformare, inductanța înfășurării primare, inductanța de scăpări, capacitatea proprie, caracteristica de frecvență, caracteristica de fază, distorsiunea neliniară, răspunsul la semnale dreptunghiulare etc.

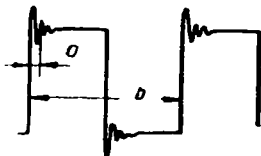


Fig. IV.14. Aprecierea stabilității amplificatoarelor cu ajutorul impulsurilor dreptunghiulare.

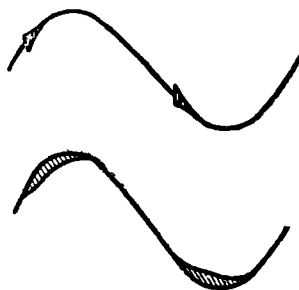


Fig. IV.15. Aprecierea stabilității amplificatoarelor cu ajutorul unei tensiuni sinusoidale.

Rezistența în curent continuu a înfășurărilor. Se măsoară cu ajutorul unei punți. Valorile obținute oferă date în legătură cu randamentul și caracteristica de frecvență a transformatorului.

Raportul de transformare. Se aplică uneia din înfășurările transformatorului (neîncărcat) o tensiune de frecvență situată în banda de trecere a acestuia (1 000 Hz). Se măsoară tensiunile din înfășurările primară și secundară ale transformatorului cu ajutorul unui voltmetru electronic. Cu suficientă precizie pentru practică, raportul celor două tensiuni măsurate poate fi considerat egal cu raportul de transformare:

$$n = \frac{n_1}{n_2} = \frac{U_1}{U_2} \quad (\text{în care } n_1 \text{ este numărul de spire din înfășurarea primară, } U_1 \text{ tensiunea măsurată în înfășurarea primară etc.})$$

În cazul transformatoarelor cu prize de ecran, valoarea acestora se verifică aplicând o tensiune alternativă pe o jumătate a înfășurării primare și măsurând tensiunea între borna de plus a acestuia și priză: raportul acestora este chiar valoarea prizei.

Inductanța înfășurării primare. Se conectează bornele înfășurării primare la o punte, secundarul transformatorului fiind în gol. Frecvența la care se realizează măsurarea nu trebuie să fie egală cu 50 Hz și nici să fie un multiplu al ei, pentru

a se evita erorile produse prin inducția și paraziții din rețea. Se folosește totuși o frecvență joasă, la care permeabilitatea miezului și deci inductanța înfășurării primare sunt de valoare mică. În ceea ce privește tensiunea la care se măsoară, aceasta este, de asemenea, de valoare redusă din aceleasi motive ca mai sus. Dacă la o tensiune scăzută și o frecvență apropiată de frecvență limită inferioară a transformatorului inductanța măsurată are o valoare acceptabilă, ea va fi cu atât mai corespunzătoare la tensiuni și frecvențe mari.

Inductanța de scăpări. Se măsoară, de asemenea, cu ajutorul unei punți. Se conectează bornele înfășurării primare la intrarea unei punți, secundarul fiind în scurtcircuit. În acest fel se măsoară inductanța de scăpări totală, considerată în întregime în înfășurarea primară. Frecvența de măsură se alege de aproximativ 1 000 Hz, la care eroarea de măsură provocată de rezistența înfășurărilor și capacitatea transformatorului este cea mai mică.

Capacitatea proprie. Se aplică înfășurării primare a transformatorului tensiunea furnizată de un generator cu rezistență internă mică, de frecvență variabilă. La bornele înfășurării secundare se conectează un voltmetru electronic cu rezistență de intrare mare și capacitate de intrare mică. Se variază frecvența generatorului menținând constantă tensiunea măsurată în primarul transformatorului de ieșire. Se determină frecvența pentru care tensiunea are valoarea maximă. Frecvența corespunzătoare acestui maxim este aproximativ egală cu frecvența de rezonanță a transformatorului datorită inductanței de scăpări și capacitatei sale proprii, dacă circuitul este slab amortizat. Cunoscind această frecvență și valoarea inductanței de scăpări a transformatorului, raportată la înfășurarea primară (L_s), se poate determina capacitatea proprie a transformatorului utilizând relația

$$C = \frac{1}{\omega^2 \cdot n^2 \cdot L_s}.$$

Caracteristicile de frecvență și de fază. Se măsoară punând transformatorul de ieșire în condițiile de funcționare în care lucrează în montajul real.

Capitolul V

ALIMENTAREA AMPLIFICATOARELOR DE ÎNALȚĂ FIDELITATE

Sursele de alimentare utilizate în amplificatoarele de înaltă fidelitate nu diferă de cele folosite în același scop în amplificatoarele obișnuite, încât acestea se realizează după scheme cunoscute.

Tensiunea continuă necesară pentru polarizarea anodilor și ecranelor tuburilor amplificatorului se obține în mod obișnuit cu ajutorul unei scheme de redresare a ambelor alternanțe, de tipul celei reprezentante în fig. V.1.

Tuburile redresoare utilizate se aleg în mod obișnuit în funcție de curentul și tensiunea redresată. În cazul redresării unor tensiuni moderate ca valoare, este avantajos să se folosească tuburi redresoare mici, conectate în paralel (6×4

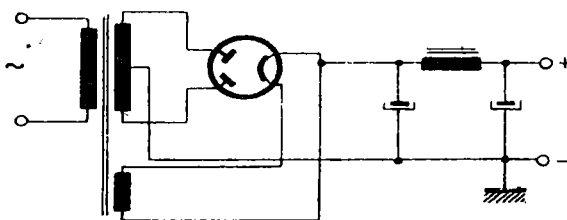


Fig.V.1. Schema de redresare a ambelor alternanțe, cu filtru.

EZ 80 etc.) în locul tuburilor mari (5U4, 5Z3, etc.), în scopul reducerii rezistenței interne a redresorului; soluția aceasta este și mai economică.

În mod obișnuit, însă, se folosește cîte un singur tub redresor dublu. Astfel, în cazul amplificatoarelor care furnizează o putere de 20—30W se folosește adesea tubul redresor GZ32; pentru puteri mai mari se utilizează un tub redresor mai puternic, GZ34 etc.

În ceea ce privește filtrarea tensiunii redresate, în amplificatoarele de înaltă fidelitate se impun condiții mai severe decât în cazul montajelor obișnuite. În acest scop, celu-

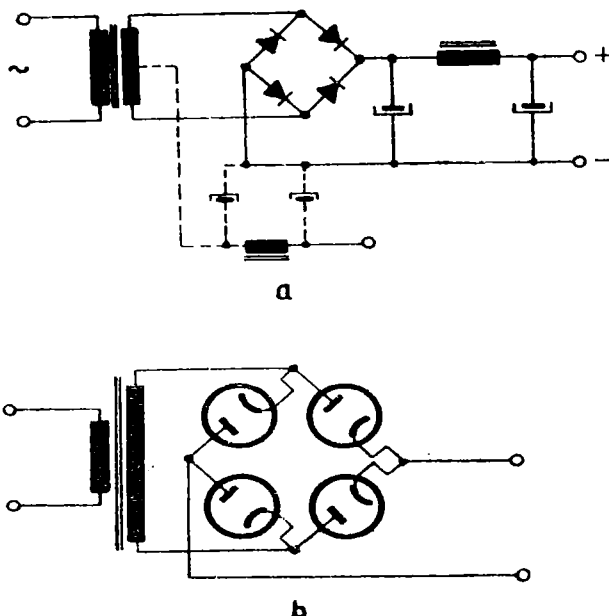


Fig. V.2. Schema în punte a unui redresor cu filtru:

a — cu redresor cu seleniu sau cuproxid; b — cu tuburi electronice.

lele de filtraj sunt constituite din condensatoare electrolitice de capacitate mare și din bobine de șoc avînd inducță de valoare mare. În majoritatea cazurilor, celulele de filtraj sunt de tipul cu intrare pe capacitate, cum se vede în fig. V.1. Uneori se folosesc și filtre cu intrare pe bobina de șoc pentru a se asigura constanța tensiunii redresate cînd variază curentul consumat de amplificator; nu se recomandă totuși, utilizarea unui asemenea filtru deoarece bobina de șoc radiază un puternic cîmp magnetic, care deranjează funcționarea amplificatorului.

De multe ori, pentru redresare, se folosește o schemă în punte, care ușurează condițiile de lucru pentru tuburi și permite reducerea dimensiunilor transformatorului de rețea. Un asemenea montaj, reprezentat în fig. V.2,a este deosebit

de comod atunci cînd el este realizat cu redresoare cu seleniu sau cuproxid deoarece acestia nu necesită circuite de încălzire. El se poate realiza, totuși, și cu tuburi electronice; un asemenea montaj este cel reprezentat în fig. V.2,b.

În ceea ce privește modalitatea de alimentare a preamplificatorului și a amplificatorului de putere, se recomandă ca aceasta să se realizeze de la două surse diferite, pentru a se evita oscilația amplificatorului pe frecvențe foarte joase, ca urmare a cuplajului prin rezistență internă a redresorului între preamplificator și amplificatorul de putere.

Fig. V.3. Schemă pentru micșorarea brumului:

a — realizând un punct de potențial nul în circuitul de încălzire cu ajutorul a două rezistențe egale; b — realizând un punct de potențial nul în circuitul de încălzire cu ajutorul unui potențiometru.

Din motive economice, acest lucru se realizează totuși foarte rar. De altfel nici nu este necesar să se procedeze în acest fel dacă sursa de alimentare are rezistență internă mică.

În ceea ce privește încălzirea filamentelor tuburilor amplificatorului, aceasta diferă întrucîtva de schemele realizate în acest scop în cazul amplificatoarelor obișnuite.

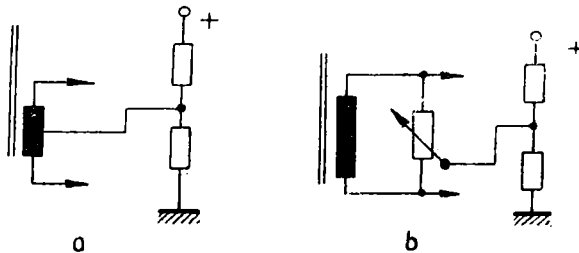


Fig. V.4. Schemă pentru micșorarea brumului:

a — prin aplicarea unei tensiuni pozitive la mijlocul înfășurării de filament; b — prin aplicarea unei tensiuni pozitive între cursor și masă.

Deosebirea este determinată de necesitatea de a reduce la minimum posibil influența tensiunii de frecvență rețelei asupra raportului semnal/zgomot al amplificatorului.

Acest lucru se realizează prin adoptarea unor măsuri speciale în cazul filamentelor în curent alternativ sau prin încălzirea filamentelor în curent continuu.

Una din măsurile adoptate în primul caz constă în crearea unui punct de potențial nul în circuitul de încălzire, folosind schemele din fig. V.3

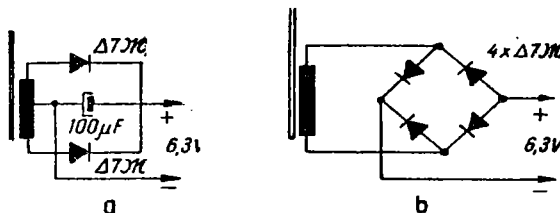


Fig. V.5. Schemă de redresare a tensiunii de încălzire a filamentelor:
a — schemă de redresare a ambelor alternanțe;
b — schemă de redresare în punte.

În cazul soluției din fig. V.3,b, cursorul potențiometrului dispus în paralel pe îmfășurarea de filament a transformatorului de rețea se regleză în poziția pentru care zgometul măsurat la ieșirea amplificatorului este minim.

O altă metodă, mult folosită în amplificatoarele de înaltă fidelitate, constă în aplicarea unei tensiuni pozitive, de ordinul zecilor de volți, între cursorul potențiometrului care șuntează îmfășurarea de filament și masă, sau între mijlocul îmfășurării de filament și masă. Reducerea zgometului, în acest caz se datorează micșorării amplitudinii tensiunii care acționează între catod și filament. Această metodă este ilustrată în fig. V.4.

În cazul încălzirii filamentelor tuburilor în curent continuu se folosesc scheme de redresare a ambelor alternanțe sau în punte, utilizând în acest scop diode cu germaniu, redresoare cu seleniu sau cu cuproxid. În fig. V.5 sunt reprezentate două scheme de redresare a tensiunii de încălzire a filamentelor. În cazul amplificatoarelor cu tranzistoare, pentru micșorarea rezistenței interne a redresorului se utilizează scheme de stabilizare cu ajutorul diodelor Zener sau al tranzistoarelor. Montajul cu diodă, deși are performanțe mai slabe, este mai economic și mai sigur în exploatare.

Capitolul VI

SCHEME DE AMPLIFICATOARE DE ÎNALTĂ FIDELITATE

În cele ce urmează vor fi descrise câteva dintre numeroasele scheme de amplificatoare existente. Unele dintre acestea au fost realizate în laboratoarele Comitetul de Radiodifuziune cu rezultate satisfăcătoare.

Tinind seama că schemele de preamplificatoare prezintă o uniformitate mai mare (din cauza etajelor componente cu funcțiuni obligatorii, realizabile doar în câteva variante de montaj) decât amplificatoarele de putere, vor fi prezentate mai multe scheme ale acestora din urmă.

I. AMPLIFICATOR DE PUTERE ULTRALINIAR DE 25 W

Schema acestui amplificator este reprezentată în fig. VI.1.

Etajul de intrare, realizat cu ajutorul unei triode ECC83, nu prezintă nici o particularitate de montaj. Cuplajul cu etajul următor se face direct.

Etajul următor realizat, de asemenea, cu o triodă ECC83 este inversor de fază de tip catodină.

Etajul prefinal este realizat cu o dublă triodă ECC83, fiecare dintre triode lucrând separat în montaj de amplificare obișnuit.

Etajul final este realizat cu două pentode EL34 în montaj contratimp ultraliniar ($x = 0,43$). Tuburile lucrează în clasă AB fără curenti de grilă. Pentru stabilizarea etajului final, tuburile se negativează prin rezistențe separate, iar în ecranele și grilele acestora se introduc rezistențe.

Amplificatorul este prevăzut cu o reacție negativă globală de 22 dB, aplicată pe rezistența R_3 prin grupul R_2C_1 .

Este de menționat că se poate aplica o reacție cu 10 dB mai mare fără a fi periclitată stabilitatea montajului. Valoarea rezistenței de reacție se determină folosind relația $R_2 \approx 800\sqrt{R_s}$.

Transformatorul de ieșire se realizează conform fig. III.41, b și are parametrii indicați în tabela III. 10, coloana 1.

Pentru alimentarea amplificatorului se folosește un montaj de redresare în puncte. Transformatorul de rețea se realizează cu tole E-20, secțiunea miezului fiind de 20 cm². Alte date: numărul de spire din înfășurarea primară 550, din sîrmă emailată cu diametrul de 0,69 mm; 1 300 spire în secundar, din sîrmă cu diametrul de 0,41 mm: 18 spire pentru înfășurările de filament din sîrmă cu diametrul de 1,08 mm pentru tuburile redresoare și respectiv tuburile finale, și 0,55 mm pentru tuburile ECC83.

Performanțele amplificatorului de putere sunt următoarele:

- sensibilitatea, 0,41 V;
- caracteristica de frecvență, măsurată corespunzător rezistenței nominale de sarcină (15Ω), conform tabelei VI.1

Tabela VI.1

dB	Hz	15	30	1 000	10^4	$2 \cdot 10^4$	$5 \cdot 10^4$	$9 \cdot 10^4$
P_s : 5W (reacție 22 dB)	0	0	0	0	0	0	0	0
P_s (fără reacție)	-5	-1,2	0	+0,8	+0,5	-5	-11	
25 W (cu reacție 22 dB)	-0,4	0	0	0	0	0	-2,5	

— factorul de distorsiune armonică, conform abelei VI.2;
— factorul de distorsiune de intermodulație are valoarea 0,58% la puterea de 25 W; pentru măsurare s-au folosit două tensiuni având raportul amplitudinilor 4: și frecvențele 60 și 7 000 Hz;

— raportul semnal/zgomot, — 80 dB față de putere nominală;

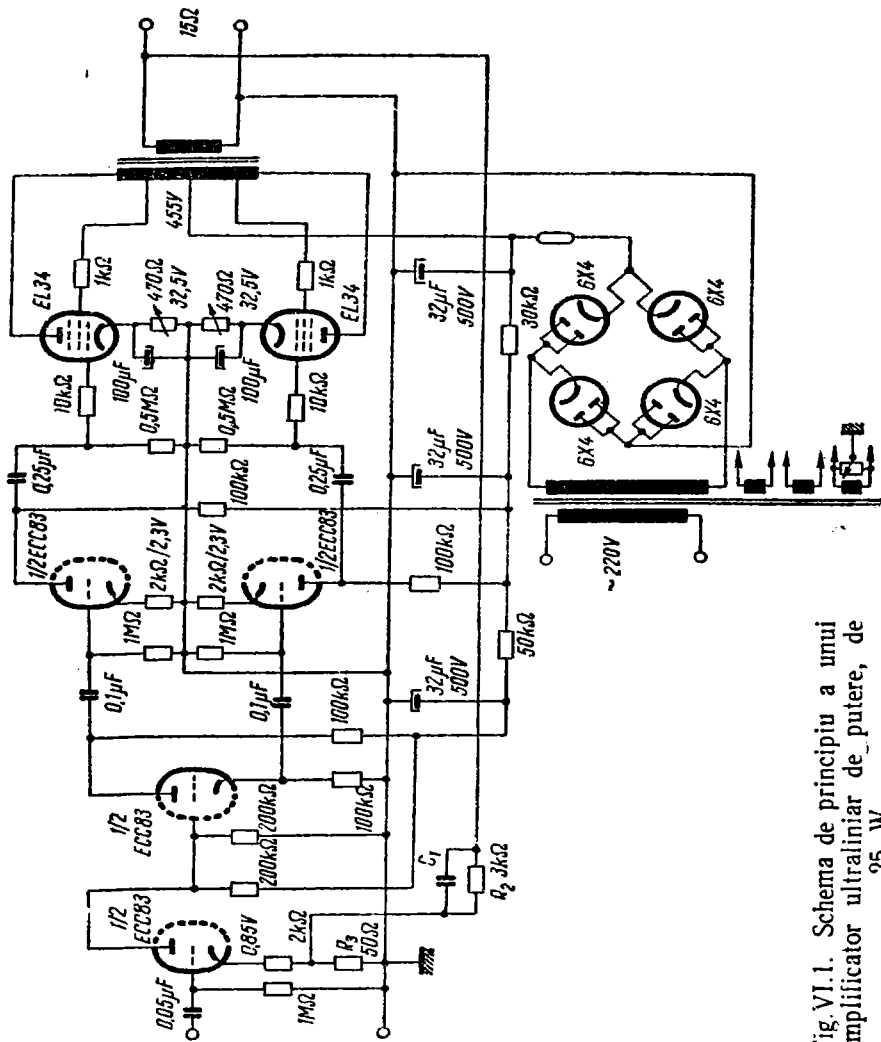


Fig.VI.1. Schema de principiu a unui amplificator ultraliniar de putere, de 25 W.

Tabelă VI.2

d%	Hz	30	60	1 000	5 000	10 000	15 000
Reacție 22 dB		0,22	0,18	0,12	0,2	0,21	0,2
Reacție 26 dB		0,17	0,13	0,08	0,12	0,11	0,1

— rezistența de ieșire a amplificatorului corespunzătoare rezistenței de sarcină de 15Ω , mai mică decit $0,8\Omega$ la toate frecvențele din gama audio; aceasta înseamnă un factor de amortizare aproximativ egal cu 19;

— comportarea amplificatorului la semnale dreptunghiulare este reprezentată în fig. VI.2.



2. AMPLIFICATORUL DE PUTERE CABASSE

În fig. VI.3 este reprezentată schema amplificatorului de putere Cabasse, care poate furniza o putere de 25 W sau 50 W în funcție de tipul tuburilor finale utilizate.

Etajul de intrare funcționează ca inversor de fază utilizând o fracțiune din tensiunea de reacție negativă. El este realizat cu ajutorul secțiunii triodă a tuburilor ECF80.

Etajul prefinal, realizat cu parțea pentodă a tuburilor ECF80, funcționează în montaj simetric.

Etajul final funcționează în montaj contratimp ultraliniar, utilizând pentode EL34 pentru puterea de ieșire de 25 W și KT 88 pentru 50 W. În cazul utilizării tuburilor KT 88, montajul suferă unele modificări: capacitatea care șuntează

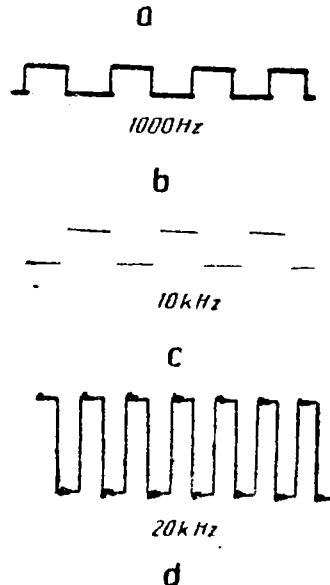


Fig. VI.2. Răspunsul amplificatorului la semnale dreptunghiulare.

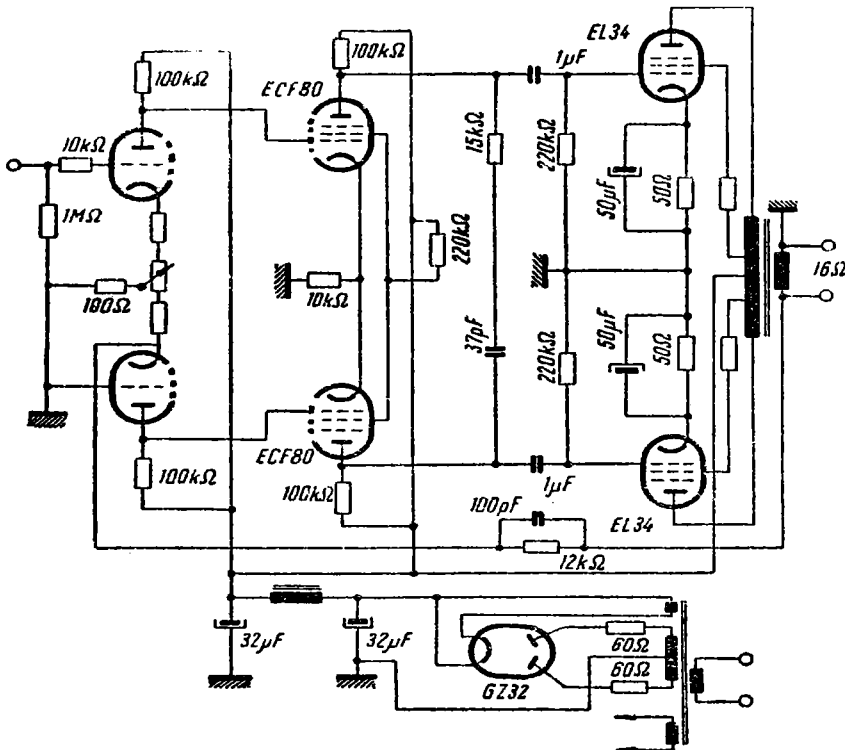


Fig. VI.3. Schema de principiu a amplificatorului de putere Cabasse.

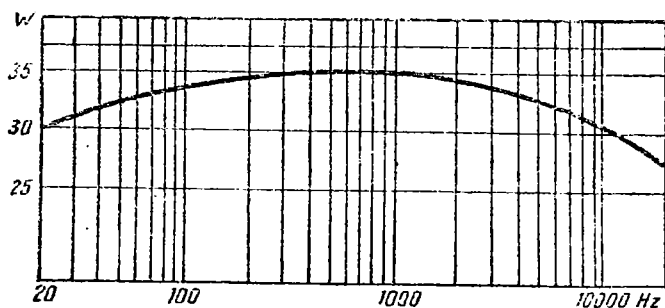


Fig. VI.4. Caracteristica de frecvență a amplificatorului Cabasse.

rezistență de reacție se reduce la 70 pF, se elimină rețeaua corectoare de fază conectată între anozii pentodelor ECF80, iar în grilele tuburilor finale se introduc rezistențe de $2 \text{ k}\Omega$.

Amplificatorul este prevăzut cu o reacție negativă de 30 dB. Performanțele amplificatorului sunt următoarele:

— variația puterii cu frecvența, pentru o distorsiune armonică de 1%, conform curbei din fig. VI.4.

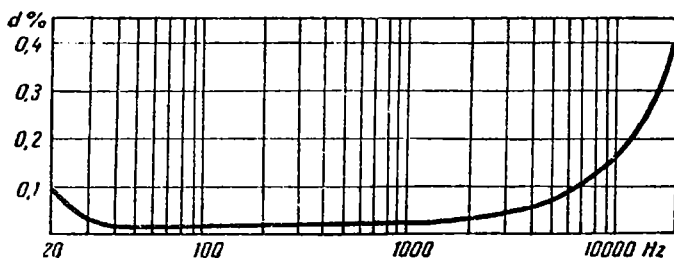


Fig. VI.5. Variația distorsioniunii armonice cu frecvența la amplificatorul Cabasse.

— distorsiunea armonică la puterea nominală, conform curbei din fig. VI.5.

— distorsiunea de intermodulație este foarte redusă, datorită etajului inversor de fază care asigură simetria perfectă a montajului în timpul funcționării, precum și folosirii unor materiale corespunzătoare. Aceasta are o valoare de 0,08% la puterea de 25 W, măsurată cu ajutorul a două semnale de frecvențe 50 Hz și 5 000 Hz, având raportul amplitudinilor 4 : 1.

3. AMPLIFICATOR DE PUTERE ULTRALINIAR DE 10 W

În fig. VI.6 este reprezentată schema unui amplificator de putere, care deși este simplă permite obținerea unor rezultate de valoare ridicată.

Etajul de intrare este realizat cu dubla triodă ECC82 în montaj special, în scopul reducerii zgromotului.

Etajul următor realizat cu dubla triodă ECC83 funcționează cu inversor de fază cu cuplaj catodic.

Etajul final este realizat cu pentodele EL84 care funcționează în montaj contratimp ultraliniar, clasă AB, fără curenți de grilă. Pentru echilibrarea curenților celor două tu-

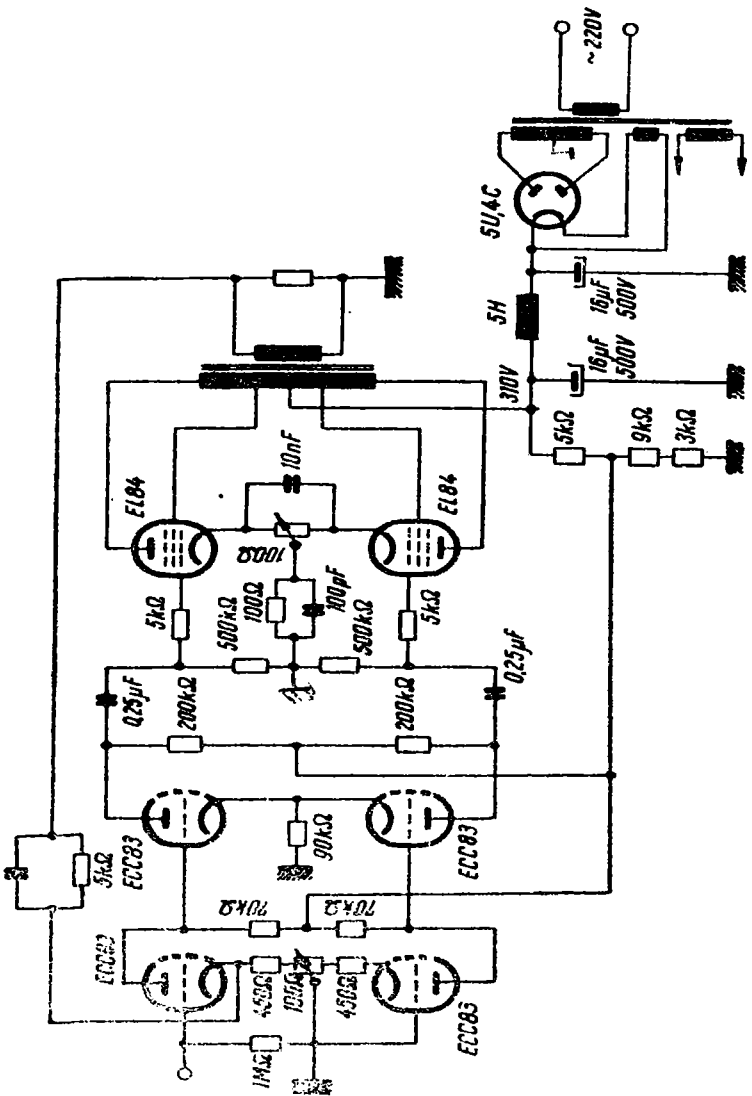


Fig. VI.6. Schema de principiu a unui amplificator de putere ultraliniar de 10 W.

buri în punctul de funcționare, în catozii acestora se conectează un potențiometru.

Amplificatorul este prevăzut cu o reacție negativă globală de 26 dB.

Transformatorul de ieșire se realizează conform datelor din tabela III.10, coloana 3.

Pentru redresarea înaltei tensiuni se folosește tubul 5U₃C. Transformatorul de rețea se realizează cu tole E-16 având secțiunea mizeului 15 cm^2 .

Alte date: 800 spire din sîrmă emailată de 0,41 mm diametrul, în înșăsurarea primară: 1 250 de spire din sîrmă emailată de 0,21 mm în înșăsurarea secundară: 21 spire din sîrmă emailată de 0,93 mm diametrul, pentru înșăsurarea de filament a tubului redresor și 27 spire din sîrmă emailată de 1 mm diametrul, pentru înșăsurarea de filament a celorlalte tuburi.

Performanțele realizate sunt următoarele:

- sensibilitatea, 1,2 V;
- caracteristica de frecvență corespunzătoare puterii nominale, 20 — 20 000 Hz cu o abatere de 0,1 dB;
- factorul de distorsiune armonică: 0,28% la 30 Hz; 0,2% la 1 000 și la 15 000 Hz;
- raportul semnal/zgomot, —86 dB față de puterea nominală;
- comportarea în impulsuri a amplificatorului, conform oscilogramelor din fig. VI.7.

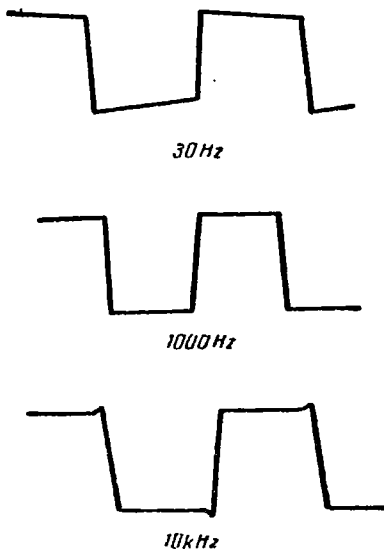


Fig. VI.7. Răspunsul amplificatorului de 10 W la semnale dreptunghiulare.

4. AMPLIFICATOR DE PUTERE FĂRĂ TRANSFORMATOR DE IEȘIRE

Schema unui asemenea amplificator de putere este reprezentată în fig. VI.8.

Etajul de intrare, care furnizează în același timp și cele două tensiuni în antifază necesare pentru excitarea etajului

final, este realizat cu dubla triodă ECC83. Trioda T_1 funcționează ca amplificator de tensiune furnizând tensiunea de excitație pentru trioda T_2 și în același timp pentru tubul final T_3 . În anodul tubului T_2 apare o tensiune alternativă în opoziție de fază cu cea din anodul tubului T_1 , care este folosită pentru excitarea tubului T_4 din etajul final.

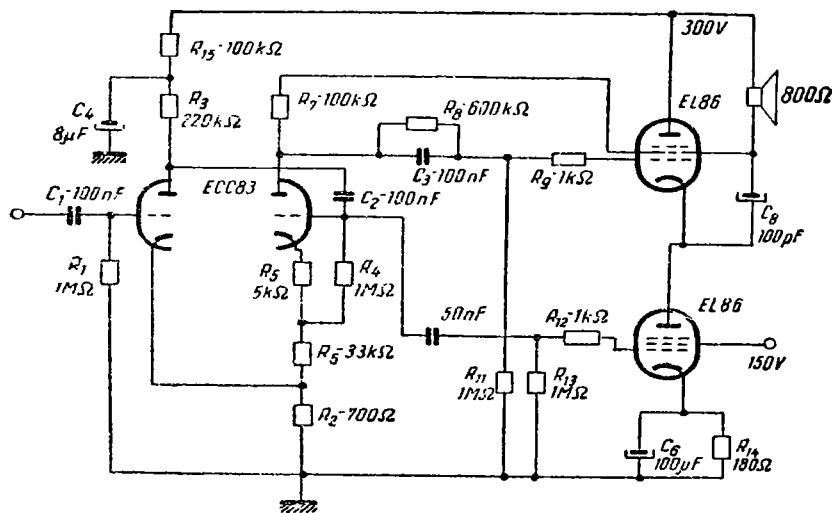


Fig. VI.8. Schema de principiu a unui amplificator de putere fără transformator de ieșire.

Etajul final este realizat cu tuburile EL86, în montaj contratimp-serie.

Amplificatorul este prevăzut cu o reacție negativă realizată prin intermediul divizorului R_{10} , R_2 . În același timp, acesta este supus și unei reacții pozitive realizată prin rezistența R_2 , comună celor două circuite catodice ale tuburilor T_1 și T_2 . Combinarea celor două reacții are un efect favorabil asupra distorsiunii armonice. Se demonstrează că dacă reacția pozitivă duce etajul de intrare la pragul de oscilație, iar reacția negativă este mai puternică decât cea pozitivă, distorsiunea armonică a întregului amplificator este independentă de etajul final, fiind doar o fracțiune din distorsiunea armonică a etajului de intrare în absența reacției. Se remarcă, de asemenea, etajul folosind tubul T_2 , realizat conform montajului din fig. III.17.

Redresarea se realizează cu ajutorul unui montaj în punte. Transformatorul de rețea este realizat cu tole E-16 și are secțiunea miezului de 16 mm^2 . Înfășurarea primară conține 665 spire din sîrmă emailată cu diametrul de 0,41 mm, înfășurarea secundară 1 100 spire (cu priză după 550 spire) din sîrmă emailată cu diametrul de 0,25 mm, iar înfășurările de filament au cîte 21 de spire din sîrmă emailată de 0,35 mm pentru tubul ECC83, 1 mm pentru redresoarele 6×4 și 0,8 mm pentru tuburile EL86.

Performanțele amplificatorului sunt următoarele:

- sensibilitatea, 0,53 V pentru o putere de 10 W la ieșire;
- caracteristica de frecvență corespunzătoare puterii nominale, 10—40 000 Hz — cu o abatere mai mică decît 0,7 dB;
- defazajul între tensiunea de ieșire și cea de intrare este sub 10 grade la frecvențele 20—20 000 Hz;
- factorul de distorsiune armonică este mai mic decît 0,5% la puterea de 10 W și în gama de frecvențe 30—10 000 Hz;
- factorul de distorsiune de intermodulație, măsurat la puterea de 10 W pentru 60 și 7 000 Hz în raportul 4 : 1 este egal cu 0,6%;
- raportul semnal/zgomot, — 90 dB față de puterea nominală;
- rezistența de ieșire a amplificatorului este de aproximativ 20Ω , ceea ce înseamnă un factor de amortizare foarte mare ($D = 40$);
- comportarea amplificatorului în impulsuri se apreciază cu ajutorul curbelor din fig. VI.9.

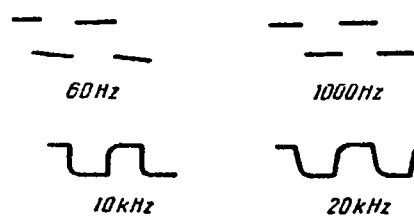


Fig. VI.9. Răspunsul amplificatorului de putere fără transformator de ieșire la impulsuri dreptunghiulare.

6. AMPLIFICATOR DE PUTERE CU SARCINA DISTRIBUITĂ IN ANOD ȘI CATOD

Schema unui asemenea amplificator este reprezentată în fig. VI.10.

Etajul inversor de fază este de tip parafază; realizarea acestuia cu pentode se explică prin necesitatea de a obține

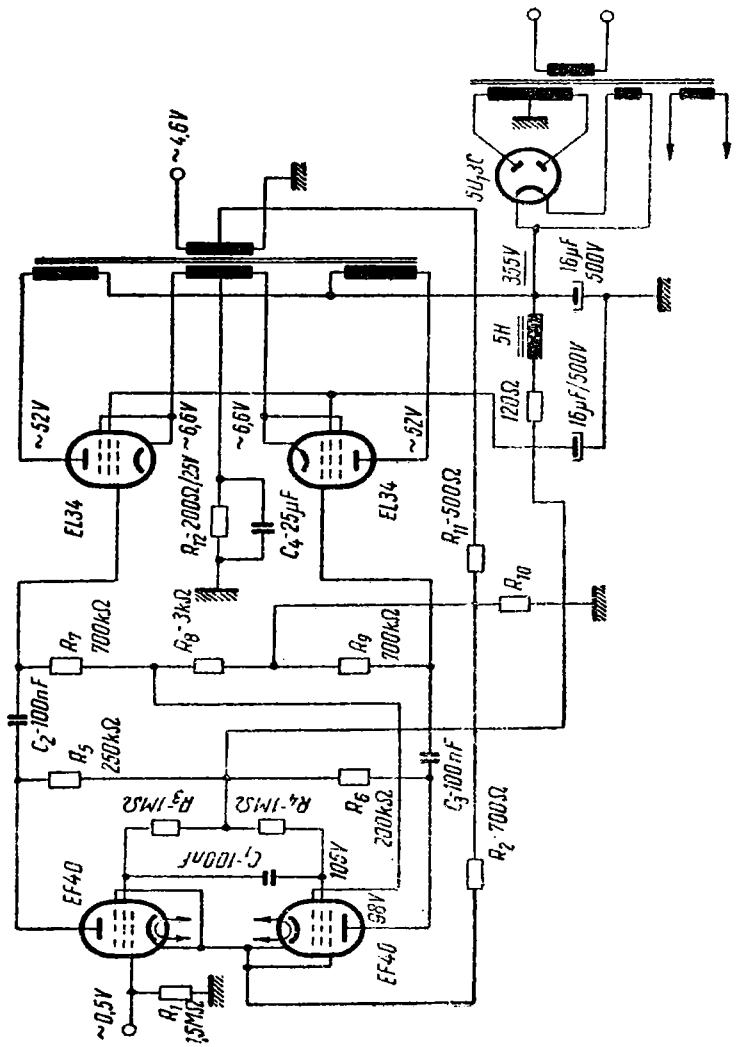


Fig. VI.10. Schema de principiu a unui amplificator de putere cu sarcină distribuită în anod și catod.

tensiuni de amplitudine suficient de mari pentru excitarea tuburilor finale.

Etajul final este realizat cu tuburile EL34 în montaj cu sarcină distribuită.

Amplificatorul este prevăzut cu o reacție negativă globală realizată prin intermediul divizorului rezistiv $R_{10}R_{11}$.

Transformatorul de ieșire este realizat conform datelor din tabela III.10, coloana 4.

Redresorul este realizat cu tubul 5U₃C. Transformatorul de rețea se realizează cu tole E-20, având secțiunea miezului de 13 cm². Numărul de spire al înfășurării primare, 800, din sîrmă emailată de 0,41 mm; în înfășurarea secundară se bobinează 1 200 spire din sîrmă emailată de 0,2 mm diametrul; înfășurarea de filament a tubului redresor conține 21 de spire din sîrmă emailată cu diametrul de 0,93 mm, iar cea a celor-lalte tuburi, 27 spire din sîrmă emailată de 1,2 mm diametrul.

Performanțele amplificatorului sunt următoarele:

- sensibilitatea, 1,6 V pentru puterea nominală de 15 W;
- factorul de distorsiune armonică, 0,15% la 1 000 Hz și mai mic de 0,5% la frecvențele de 45 Hz și 15 000 Hz;
- caracteristica de frecvență liniară, între 20—20 000 Hz, cu o abatere mai mică decât 0,5 dB.
- rezistența de ieșire, mai mică decât 2Ω în gama de frecvență 20—20 000 Hz.
- raportul semnal/zgomot, — 75 dB.

6. PREAMPLIFICATOR PENTRU REPRODUCERE SONORĂ MONOFONICĂ

În fig. VI.11 este reprezentată schema unui preamplificator utilizat pentru reproducerea de înaltă fidelitate.

Acesta se compune din următoarele părți: etajul de intrare, realizat cu tubul EF86 și care este prevăzut cu borne de intrare pentru microfon, picup, radio; etajul corector de tonalitate, realizat cu tubul ECC83; filtrul trece-jos și filtrul trece-sus.

Performanțele preamplificatorului sunt următoarele:

- sensibilitatea (pentru o tensiune de ieșire de 0,7 V): 2,5 mV pentru intrarea de microfon;
- 7 mV pentru intrarea de picup;
- 70 mV pentru intrarea radio;

— factorul de distorsiune armonică inferior lui 0,1% în toată gama de frecvențe, pentru o tensiune de ieșire mai mică decât 0,7 V;

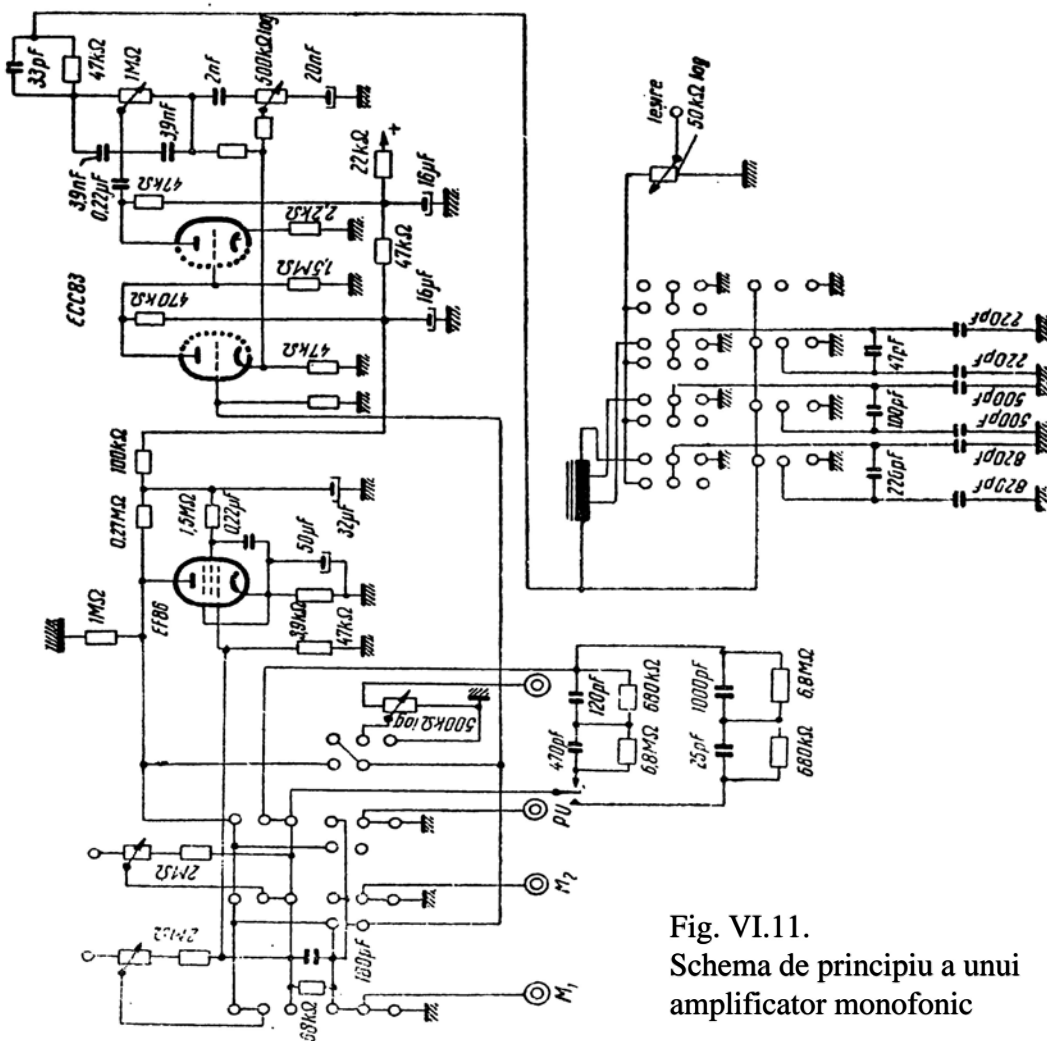


Fig. VI.11.
Schema de principiu a unui amplificator monofonic

— caracteristica de frecvență (reglaj liniar de tonalitate): 10—20 000 Hz cu o abatere de ± 1 dB pentru intrarea de microfon;

10—50 000 Hz, cu o abatere de \pm 1 dB pentru intrarea radio;

— caracteristicile de egalizare RIAA și 78 rot/min, realizate cu o abatere de \pm 1 dB;

— răspunsul filtrelor:

trece-sus, frecvență de tăiere 30 Hz, panta de atenuare 10 dB/octavă;

filtrul trece-jos, frecvență de tăiere 10 kHz, pantă de atenuare 50 dB/octavă;

— reglaj de tonalitate, — 20...+17 dB la 20 Hz și —22...+15 dB la 20 kHz;

— impedanța de intrare, 68 k Ω pentru intrările de picup și microfon și 500 k Ω pentru intrarea radio;

— impedanța de ieșire, 1—12 k Ω , în funcție de reglajul potențiometrului de la ieșire.

— raportul semnal/zgomot, \approx — 60 dB.

7. AMPLIFICATOARE UTILIZATE PENTRU REPRODUCEREA SONORĂ STEREOFONICĂ

Echipamentul destinat reproducерii sonore stereofonice este constituit, în principiu, din două canale de amplificare, care transmit separat cele două semnale stereofonice la două difuzeoare sau la două grupuri de difuzeoare.

Amplificatoarele folosite în cele două canale sunt constituite dintr-un preamplificator având elemente pentru ambele canale și din două amplificatoare de putere diferite.

Amplificatoarele de putere se realizează după scheme obișnuite, folosite pentru reproducerea sonoră monofonică. Cele două amplificatoare de putere trebuie să fie identice: să furnizeze aceeași putere, să aibă aceeași caracteristică de frecvență etc.

Preamplificatorul se realizează, de asemenea, după scheme obișnuite, însă este prevăzut cu o serie de reglaje care-l fac utilizabil în stereofonie. Printre acestea sunt: reglajul de echilibru (balans), inversarea fazelor tensiunii de la ieșirea unui canal etc.

Reglajul de balans este o comandă suplimentară a volumului, care are rolul de a echilibra cele două canale în sensul obținerii unor sunete de tărie egală (echilibru sonor) corespunzător celor două canale. Ea se folosește chiar în cazul în care amplificatoarele sunt identice, pentru a înlătura efectul provocat de diferențele existente între difuzeoare, dozele de redare stereofonică etc.

Comanda de balans permite realizarea echilibrului sonor în toată gama frecvențelor transmise sau numai la frecvențe medii și înalte.

În mod obișnuit, comanda de balans se realizează cu ajutorul a două potențiometre acționate, simultan, în aşa fel, încât creșterii amplificării pe un canal să corespundă o scădere a acesteia pe celălalt canal. Cele două potențiometre se conectează la intrarea unuia dintre etajele preamplificatorului. Unul dintre potențiometre este legat normal, extremitatea lui de rezistență minimă fiind la masă, în timp ce celălalt este branșat invers, extremitatea lui de rezistență maximă fiind la masă. Dacă potențiometrele utilizate sunt liniare, în serie cu ele se introduc rezistențe fixe de aceeași valoare, în scopul micșorării atenuării semnalului în poziția corespunzătoare echilibrului sonor. Un astfel de sistem este cel reprezentat în fig. VI.12, a;

Cea mai mică atenuare la echilibru se obține utilizând potențiometre speciale, conectate în mod corespunzător: potențiometru logaritmic branșat invers și antilogaritmic branșat normal.

Există și scheme mai simple de realizare a comenzi de balans, care folosesc un singur potențiometru liniar, de valoare mare, cum se vede în fig. VI.12, b. Acest montaj prezintă inconvenientul de a provoca dezechilibrul impedanțelor dintre grilă și masă ale etajelor la intrarea cărora sunt conectate, ceea ce are ca urmare modificarea curbei de răspuns a celor două canale. Pentru a reducedezechilibrul, se folosește un potențiometru cu priză mediană la masă, ca în fig. VI. 12, c.

În ceea ce privește inversiunea de fază, aceasta este necesară în vederea obținerii fazei corecte a tensiunilor de la ieșirea celor două canale.

În mod obișnuit, inversiunea de fază se realizează cu ajutorul unui comutator conectat în secundarul transformatorului de ieșire, aşa cum se vede în fig. VI.13 sau în alt mod, într-unul din etajele amplificatorului.

Circuitele de tonalitate se aseamănă cu cele întâlnite la amplificatoarele destinate reproducării sonore monofonice. Reglajul de tonalitate trebuie însă efectuat simultan pe cele două canale; în acest scop, potențiometrele folosite sunt duble și se comandă concomitent.

În ceea ce privește realizarea practică a unui amplificator stereofonic, pentru obținerea unor performanțe superioare se

recomandă respectarea restricțiilor constructive indicate într-un capitol anterior. În afara acestora, însă, se recomandă o atenție deosebită în ceeace privește realizarea cablajului,

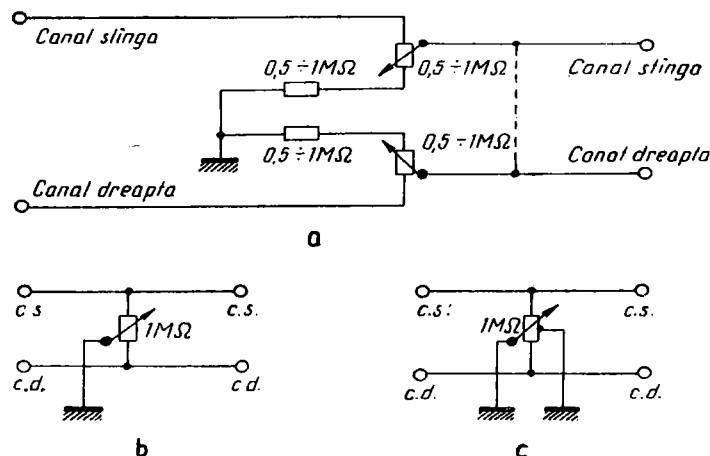


Fig. VI.12. Scheme pentru realizarea comenzi de balans la amplificatoarele stereofonice:

a — realizarea comenzi de balans cu ajutorul a două potențiometre comandate simultan; b — realizarea comenzi de balans cu ajutorul unui singur potențiometru; c — realizarea comenzi de volum utilizând un potențiometru cu priză mediană la masă.

pentru a se evita mărirea diafoniei între cele două canale. În acest scop, cablurile provenind de la doza de redare trebuie să fie scurte, pentru a se evita apariția, între ele, a unor capacitați parazite de valoare mare; se recomandă folosirea

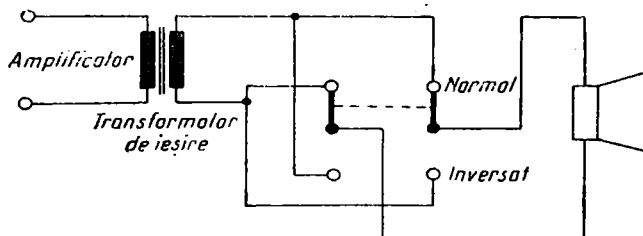


Fig. VI.13. Schemă pentru inversarea fazelor difuzoarelor.

unui cablu coaxial de înaltă frecvență (folosit pentru coborârea de antenă în televiziune) care are o capacitate mică și un blindaj eficace. Tot în scopul micșorării diafoniei se re-

comandă o atenție deosebită la realizarea cablajului celor două canale, la amplasarea comutatoarelor, potențiometrelor etc.

În continuare sînt prezentate schemele unui preamplificator stereofonic și ale unui amplificator de putere monofonic, care poate fi utilizat într-un echipament stereofonic.

Preamplificator stereofonic. În fig.VI.14 este reprezentată schema preamplificatorului (canalul stînga). Porțiunea din figură cuprinsă între liniile punctate se dublează pentru a obține schema completă. Intrarea și ieșirea sînt comune celor două canale.

Preamplificatorul are mai multe borne de intrare, corespunzătoare unor surse de program diferite: radio, magnetofon doză de redare, care se conectează la etajul de intrare cu ajutorul comutatorului K_1 .

Comutatorul K_2 permite alegerea modului de lucru. Pe poziția a funcționează doar canalul dreapta, canalul stînga fiind scurt-circuitat la masă; pe poziția b funcționează ambele canale (aceasta este poziția normală de funcționare), iar pe poziția c , doar canalul stîng.

Comutatorul K_3 leagă cele două canale, pentru reproducerea stereofonică normală (poziția b) sau inversă (poziția a) sau leagă cele două canale în paralel, în scopul reproducării monofonice (poziția c).

Valorile pieselor corespund surselor de program celor mai curente, dar pot fi modificate pentru cazul în care sursa de program prezintă anumite particularități.

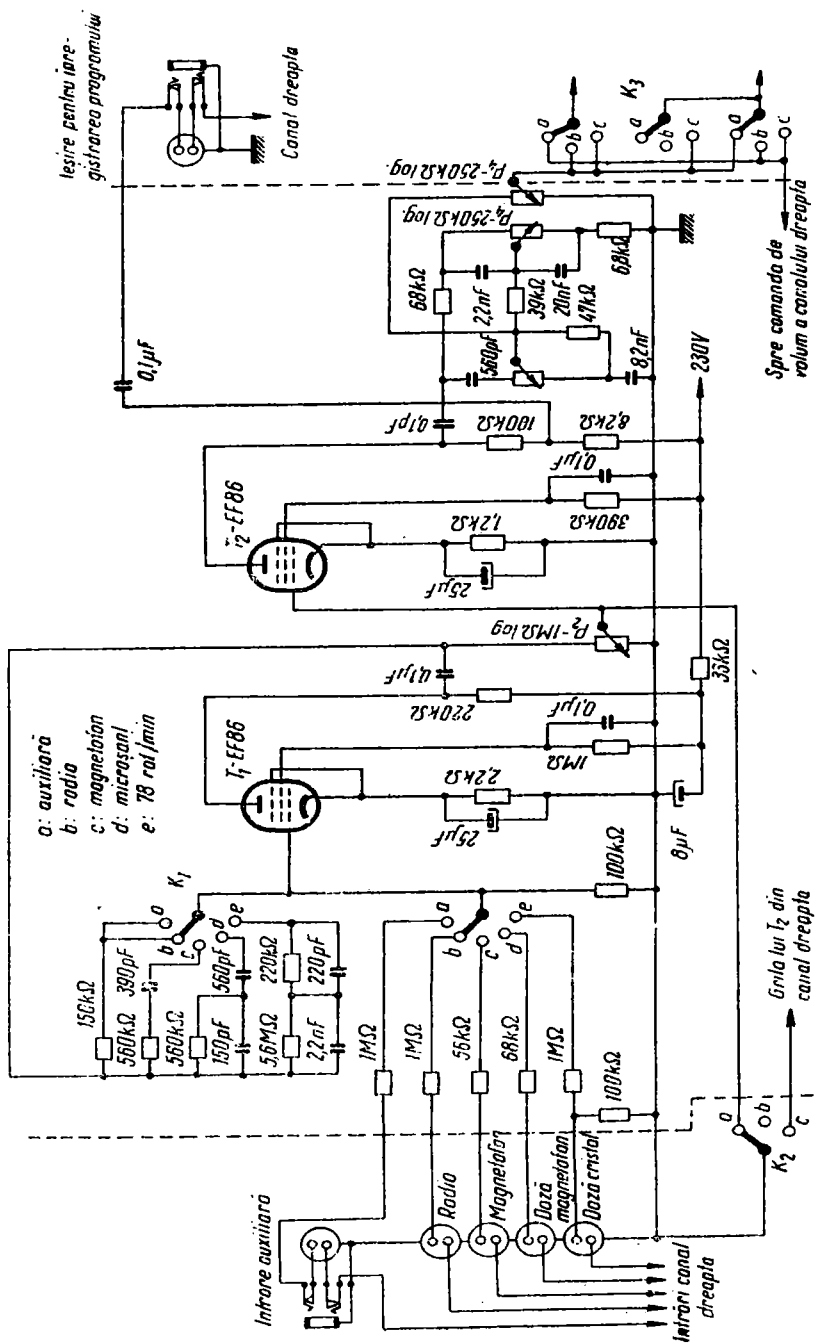
Comanda de balans este realizată cu un potențiometru antilogaritmice legat normal și cu unul logaritmice legat invers (P_2). Cele două potențiometre au ax comun.

Comanda de volum se realizează cu ajutorul a două potențiometre logaritmice cuplate pe același ax (P_3 în canalul dreapta și P_4 în celălalt), conectate la ieșirea preamplificatorului.

Alimentarea este asigurată de amplificatorul de putere corespunzător fiecărui canal.

Performanțele preamplificatorului sînt următoarele:

- impedanță de intrare:
- $100 \text{ k}\Omega$ la borna de doză;
- $80 \text{ k}\Omega$ la borna de magnetofon;
- $1 \text{ M}\Omega$ la borna de radio;
- sensibilitatea la 1 kHz (pentru o tensiune de ieșire de 250 mV):



- 5 mV pentru borna de doză magnetică (disc microșanț, respectiv 78 rot/min);
- 70 mV și 210 mV pentru borna de doză piezoelectrică

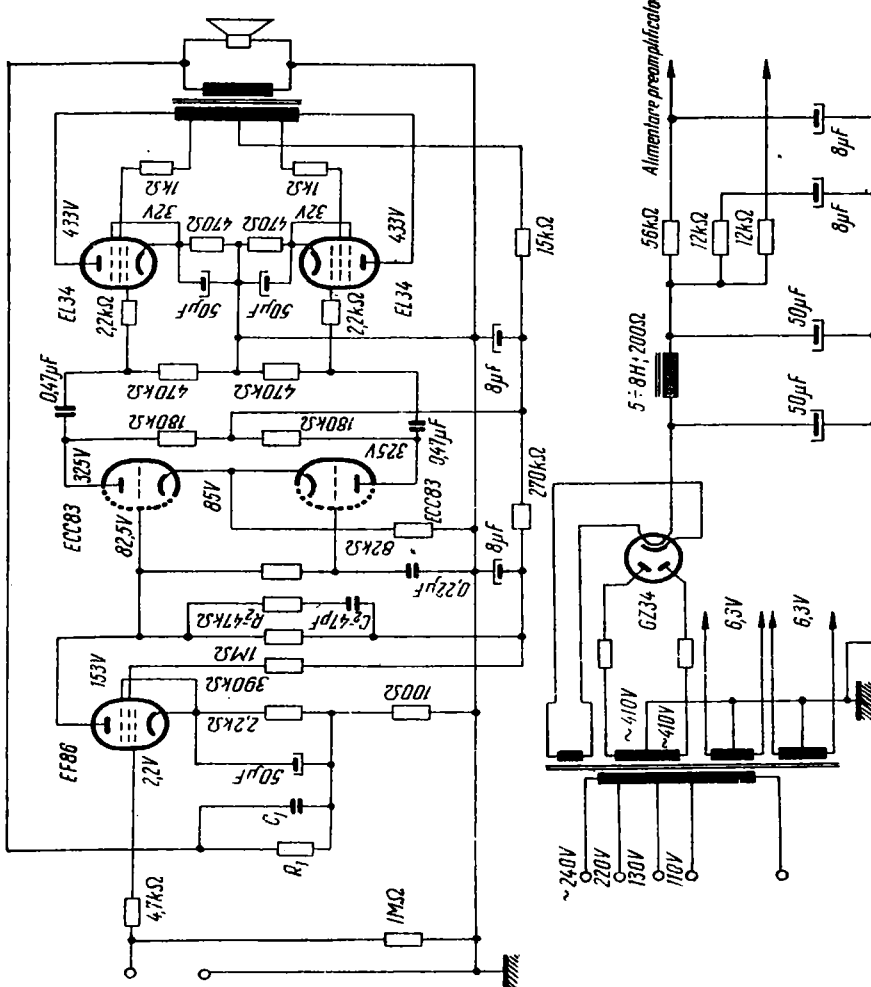


Fig.VI.15. Schema de principiu a unui amplificator monofonic de 20 W.

(disc microșanț, respectiv 78 rot/min):

- 4 mV pentru borna de magnetofon (cap de redare), 330 mV pentru borna de radio;
- raportul semnal/zgomot :

- 55 dB pentru borna de picup;
- 52 dB pentru borna de magnetofon;
- reglajul de tonalitate, — 12...18 dB, la 30 Hz: — 15...
...17 dB, la 10 kHz;
- factorul de distorsiune armonică inferior lui 0,15%
pentru 250 mV la ieșire, în toată gama de frecvențe;
- caracteristica de frecvență, 20 Hz — 50 kHz, cu o
abatere de 3 dB pentru intrarea radio.

Intrarea auxiliară are aceleasi caracteristici ca și intrarea radio. Ea poate fi utilizată pentru doze cu cristal cu mare tensiune de ieșire sau pentru preamplificator de magnetofon.

Preamplificatorul este prevăzut cu o bornă de ieșire, la care se obține tensiunea de ieșire fără distorsiuni de frecvență, necesară pentru înregistrarea pe magnetofon.

Amplificator monofonic de 20 W. Acest amplificator poate fi utilizat separat sau în combinație cu preamplificatorul stereofonic descris mai sus. Schema acestuia este reprezentată în fig. IV.15.

Etajul de intrare este realizat cu pentoda EF86. Circuitul R_2C_2 conectat în paralel pe sarcina anodică, servește pentru mărirea stabilității amplificatorului.

Etajul inversor este realizat cu dubla triodă ECC83, în schema cu cuplaj catodic.

Etajul final este realizat în montaj ultraliniar folosind pentode EL34. Sarcina optimă este 6 600 Ω , iar priza optimă, 40%.

Transformatorul de ieșire se realizează conform datelor din tabela III.10, coloana 5.

Elementele circuitului de reacție negativă au următoarele valori: $R_1 = 310$ k Ω ; $C_1 = 330$ pF, în cazul utilizării unei sarcini de 6—8 Ω și: $R_1 = 8,2$ k Ω , $C_1 \equiv 220$ pF, în cazul folosirii unei sarcini de 12—16 Ω .

Performanțele amplificatorului de putere sunt următoarele:

- sensibilitatea, 0,22 V pentru 20 W la ieșire;
- caracteristica de frecvență 30 Hz — 20 kHz, cu o abatere de $\pm 0,5$ dB, la puterea nominală;
- factorul de distorsiune armonică, 0,05% la puterea nominală și 0,1% la puterea de 27 W;
- factorul de distorsiune de intermodulație, 0,7% la puterea nominală;
- impedanța de ieșire, 0,3 Ω la 40 Hz, 1 kHz și 20 kHz;
- raportul semnal/zgomot, — 80 dB, față de puterea nominală.

TABLA DE MATERIE

<i>Introducere</i>	3
Cap. I. Parametrii amplificatoarelor de joasă frecvență	
1. Parametrii fundamentali ai amplificatoarelor de joasă frecvență	5
2. Parametrii fundamentali ai amplificatoarelor de înaltă fidelitate	7
Cap. II. Preamplificatoare de înaltă fidelitate	
1. Elemente componente	12
2. Etajul de intrare	13
3. Etajul corector de tonalitate	22
4. Etajul de ieșire	30
5. Filtrul trece-sus	30
6. Filtrul trece-jos	32
7. Reglajul de volum	33
8. Preamplificatoare de înaltă fidelitate cu tranzistoare	33
Cap. III. Amplificatoare de putere de înaltă fidelitate	
1. Elemente componente	37
2. Etajul de intrare	37
3. Etajul inversor de fază	33
4. Etajul prefinal	53
5. Etajul final	55
6. Filtre separatoare de canale	80
7. Transformatoare de ieșire pentru amplificatoarele de înaltă fidelitate	86
8. Amplificatoare de putere de înaltă fidelitate cu tranzistoare	99
Cap. IV. Îmbunătățirea posibilităților de exploatare a amplificatoarelor de înaltă fidelitate	
1. Reacția în amplificatoarele de înaltă fidelitate	105
2. Detalii de construcție	112
3. Metode de măsură privind amplificatoarele	116
Cap. V. Alimentarea amplificatoarelor de înaltă fidelitate	126
Cap. VI. Scheme de amplificatoare de înaltă fidelitate	
1. Amplificator de putere ultraliniar de 25 W	130
2. Amplificator de putere Cabasse	133
3. Amplificator de putere ultraliniar de 10 W	135
4. Amplificator de putere fără transformator de ieșire	137
5. Amplificator de putere cu sarcină distribuită între anod și catod	139
6. Preamplificator pentru reproducerea sonoră monofonică	141
7. Amplificatoare utilizate pentru reproducerea sonoră stereofonică	143
Bibliografie	150